



ESCUELA UNIVERSITARIA POLITÉCNICA

Grado en Ingeniería Electrónica Industrial y Automática

TRABAJO DE FIN DE GRADO

TFG Nº: **770G01A123**

TÍTULO: **CONTROL REMOTO SOBRE LA PLANTA PEQUEÑA
DE CONTROL DE NIVEL DEL LABORATORIO**

AUTOR: **DANIEL MÉNDEZ BUSTO**

TUTOR: **JOSÉ LUIS CALVO ROLLE
OSCAR FONTENLA ROMERO**

FECHA: **JUNIO DE 2017**

Fdo.: EL AUTOR

Fdo.: EL TUTOR

TÍTULO:

**CONTROL REMOTO SOBRE LA PLANTA PEQUEÑA
DE CONTROL DE NIVEL DEL LABORATORIO**

ÍNDICE GENERAL

PETICIONARIO: **ESCUELA UNIVERSITARIA POLITÉCNICA**

AVDA. 19 DE FEBREIRO, S/N

15405 - FERROL

FECHA: **JUNIO DE 2017**

AUTOR: **EL ALUMNO**

Fdo.: **DANIEL MÉNDEZ BUSTO**

I	ÍNDICE GENERAL	3
	Contenidos del TFG	5
	Índice de figuras	9
	Índice de tablas	13
	Listado de códigos de programación	15
II	MEMORIA	17
	Índice del documento Memoria	19
1	Objeto	21
2	Alcance	23
3	Antecedentes	25
3.1	Planta de nivel del laboratorio	25
3.1.1	Bomba centrífuga	26
3.1.2	Variador de velocidad	27
3.1.3	Tarjeta de Adquisición de datos	27
3.1.4	Sensor de ultrasonidos	28
4	Normas y referencias	31
4.1	Disposiciones legales y normas aplicadas	31
4.2	Bibliografía	31
4.3	Programas utilizados	31
4.4	Otras referencias	32
5	Definiciones y abreviaturas	33
6	Requisitos de diseño	35
7	Análisis de las soluciones	37
7.1	EASY JAVA SIMULATIONS	37
7.1.1	Consola de Easy Java Simulations	38
7.1.2	Interface de desarrollo de Easy Java Simulations	38
7.2	Regulación de la planta de nivel	56
7.2.1	Reguladores	56
7.2.2	Implementación de los reguladores	57
7.2.3	Método <i>Relay - Feedback</i>	61
7.2.4	Obtención de los parámetros K_p , T_i y T_d mediante la aplicación de fórmulas	62
8	Resultados finales	65
8.1	Comunicación entre Easy Java Simulations y Matlab	65
8.2	Declaración de variables en EJS	68
8.3	Programación del cuerpo de la aplicación	70
8.3.1	Código de la implementación y representación de los reguladores	70
8.3.2	Código de la implementación del método de Relay - Feedback	76
8.3.3	Adquisición de variables de Matlab	77
8.3.4	Almacenamiento de datos	77

8.3.5	Código completo de la página Evolución	79
8.4	Interface de la aplicación	82
8.4.1	Pantalla principal	82
8.4.2	Ventana inserción parámetros del Regulador	92
8.4.3	Ventana de inserción de parámetros de Relay - Feedback	95
8.4.4	Pantalla de gráficos	96
8.5	Funcionamiento de Remote EUP	101
8.5.1	Respuesta de los Reguladores sin corrección	108
8.5.2	Respuesta de los reguladores con corrección	113
8.6	Base de datos	118
8.7	Tiempo de muestreo	118
8.8	Gestión de Usuarios en Remote EUP	119
III	ANEXOS	121
	Índice del documento Anexos	123
9	Documentación de partida	125
10	Cálculos	129
11	Otros Anexos	131
11.1	DAQ.Start [5]	131
11.2	DAQ.Write [5]	131
11.3	DAQ.Read [5]	132
11.4	DAQ.Stop [5]	132
IV	PLANOS	135
	Índice del documento Planos	137
	Esquema eléctrico de la planta de nivel [3]	139
V	PLIEGO DE CONDICIONES	141
	Índice del documento Pliego de condiciones	143
12	Condiciones de Trabajo	145
VI	ESTADO DE MEDICIONES	147
	Índice del documento Estado de mediciones	149
13	Mano de Obra	151
VII	PRESUPUESTO	153
	Índice del documento Presupuesto	155
14	Mano de Obra	157
15	Licencias software	159
16	Presupuesto	161

VIII	ESTUDIOS CON ENTIDAD PROPIA	163
	Índice del documento Estudios con entidad propia	165

Índice de figuras

3.1.0.1	Planta de nivel del laboratorio	25
3.1.1.1	Bomba Centrífuga	26
3.1.2.1	Variador de Velocidad	27
3.1.3.1	Tarjeta de adquisición de datos	28
3.1.4.1	Sensor de ultrasonidos	29
7.1.1.1	Consola de Easy Java Simulations.	38
7.1.2.1	<i>Interface</i> de usuario de Easy Java Simulations.	39
7.1.2.2	Selector de panel de trabajo: Modelo	40
7.1.2.3	Página de Modelo: Variables	41
7.1.2.4	Página de Modelo: Inicialización	42
7.1.2.5	Página de Modelo: Evolución	43
7.1.2.6	Página de Modelo: Relaciones fijas	44
7.1.2.7	Página de Modelo: Propio	45
7.1.2.8	Página de Modelo: Elementos	46
7.1.2.9	Página de Vista	47
7.1.2.10	Ejemplo área de mensajes	54
7.1.2.11	Panel de información: Introducción de datos	55
7.2.2.1	Diagrama de bloques del regulador proporcional.	59
7.2.2.2	Diagrama de bloques del regulador PI.	59
7.2.2.3	Diagrama de bloques del regulador PD.	60
7.2.2.4	Diagrama de bloques del regulador PID.	60
7.2.3.1	Esquema realización Relay - Feedback.	61
7.2.3.2	Características del relé en el método de Relay - Feedback.	61
7.2.3.3	Señal obtenida con el método de Relay - Feedback.	62
8.1.0.1	Iniciar servidor a través de comandos de Windows.	66
8.1.0.2	Introducir elemento Matlab.	66
8.1.0.3	Propiedades del elemento Matlab.	67
8.4.1.1	Pantalla principal de la aplicación de control.	83
8.4.1.2	Sub-menú Conexión.	83
8.4.1.3	Sub-menú Regulador.	84
8.4.1.4	Sub-menú Parámetros.	87
8.4.1.5	Sub-menú Gráfica.	88

8.4.1.6	Sub-menú Visualización.	88
8.4.1.7	Sub-menú Diseño.	89
8.4.1.8	Sub-menú Ejemplos.	89
8.4.1.9	Panel de Mando: Marcha.	91
8.4.1.10	Panel de Mando: Paro.	91
8.4.2.1	Ventana de inserción de parámetros del Regulador.	93
8.4.2.2	Ventana configuración campo numérico.	93
8.4.3.1	Ventana inserción parámetros Relay - Feedback.	95
8.4.4.1	Ventana de Gráficos.	96
8.4.4.2	Ventana de propiedades de panel con ejes.	97
8.4.4.3	Ventana de propiedades del elemento traza.	98
8.4.4.4	Ventana de propiedades de la casilla de verificación.	99
8.5.0.1	Inicio de sesión de Matlab.	101
8.5.0.2	Selección del método de Relay - Feedback.	102
8.5.0.3	Selección de los parámetros del Método Relay - Feedback.	102
8.5.0.4	Parámetros del método de Relay - Feedback.	103
8.5.0.5	Respuesta del método de Relay - Feedback en Matlab.	103
8.5.0.6	Respuesta del método de Relay - Feedback en Remote EUP.	104
8.5.0.7	Selección de regulador a implementar.	106
8.5.0.8	Introducción de parámetros del regulador.	106
8.5.0.9	Imagen de la planta en tiempo real.	107
8.5.0.10	Abrir gráfica.	108
8.5.1.1	Respuesta regulador Ziegler - Nichols en Remote EUP.	109
8.5.1.2	Respuesta regulador Ziegler - Nichols en Matlab.	109
8.5.1.3	Respuesta regulador Ziegler - Nichols No Overshoot en Remote EUP.	110
8.5.1.4	Respuesta regulador Ziegler - Nichols No Overshoot en Matlab.	110
8.5.1.5	Respuesta regulador Ziegler - Nichols Some Overshoot en Remote EUP.	111
8.5.1.6	Respuesta regulador Ziegler - Nichols Some Overshoot en Matlab.	111
8.5.1.7	Respuesta regulador Tydeus - Luyben en Remote EUP.	112
8.5.1.8	Respuesta regulador Tydeus - Luyben en Matlab.	112
8.5.2.1	Respuesta regulador Ziegler - Nichols con corrección en Remote EUP.	114
8.5.2.2	Respuesta regulador Ziegler - Nichols con corrección en Matlab.	114
8.5.2.3	Respuesta regulador Ziegler - Nichols No Overshoot con corrección en Remote EUP.	115
8.5.2.4	Respuesta regulador Ziegler - Nichols No Overshoot con corrección en Matlab.	115
8.5.2.5	Respuesta regulador Ziegler - Nichols Some Overshoot con corrección en Remote EUP.	116
8.5.2.6	Respuesta regulador Ziegler - Nichols Some Overshoot con corrección en Matlab.	116
8.5.2.7	Respuesta regulador Tydeus - Luyben con corrección en Remote EUP.	117
8.5.2.8	Respuesta regulador Tydeus - Luyben con corrección en Matlab.	117

8.6.0.1	Respuesta regulador Ziegler - Nichols en Excel.	118
8.7.0.1	Tiempo de muestreo de 1 segundo.	119

Índice de tablas

7.1.2.1	Elementos de <i>interface</i>	53
7.1.2.2	Elementos de la barra de tareas.	56
7.2.4.1	Primera aproximación Ziegler - Nichols	62
7.2.4.2	Fórmulas Ziegler - Nichols con poca sobreoscilación	63
7.2.4.3	Fórmulas Ziegler - Nichols sin sobreoscilación	63
7.2.4.4	Fórmulas Tyreus - Lubin	63
8.2.0.1	Variables de la aplicación de control	69
8.5.0.1	Parámetros obtenidos con el método de Relay - Feedback	104
8.5.0.2	Valor de los parámetros del regulador mediante Ziegler - Nichols	104
8.5.0.3	Valor de los parámetros del regulador mediante Ziegler - Nichols No Overshoot	105
8.5.0.4	Valor de los parámetros del regulador mediante Ziegler - Nichols Some Overshoot	105
8.5.0.5	Valor de los parámetros del regulador mediante Tyreus - Luyben	105
10.0.0.1	Parámetros obtenidos con el método de Relay - Feedback	129
10.0.0.2	Valor de los parámetros del regulador mediante Ziegler - Nichols	129
10.0.0.3	Valor de los parámetros del regulador mediante Ziegler - Nichols No Overshoot	130
10.0.0.4	Valor de los parámetros del regulador mediante Ziegler - Nichols Some Overshoot	130
10.0.0.5	Valor de los parámetros del regulador mediante Tyreus - Luyben	130
13.0.0.1	Horas de programación para el desarrollo de Remote EUP	151
14.0.0.1	Coste de Mano de Obra.	157
15.0.0.1	Coste de Licencias Software.	159
16.0.0.1	Coste de Remote EUP.	161

Listado de códigos de programación

8.1	Inicialización de los reguladores	70
8.2	Primera iteración de los reguladores sin corrección	71
8.3	Regulador P sin corrección	71
8.4	Regulador PI sin corrección	72
8.5	Regulador PD sin corrección	72
8.6	Regulador PID sin corrección	73
8.7	Primera iteración reguladores con corrección	74
8.8	Regulador PI con corrección	74
8.9	Regulador PD con corrección	75
8.10	Regulador PID con corrección	75
8.11	Método Relay - Feedback	76
8.12	Adquisición variable nivel	77
8.13	Adquisición variable error	77
8.14	Adquisición variable señal de control	77
8.15	Base de datos en el ordenador remoto	78
8.16	Base de datos en el ordenador local	78
8.17	Función de matlab de almacenamiento de datos	78
8.18	Desarrollo completo de la página Evolución	79
8.19	Botón Conectar	83
8.20	Botón desconectar	84
8.21	Botón regulador P sin N	85
8.22	Botón regulador PI sin N	85
8.23	Botón regulador PD sin N	85
8.24	Botón regulador PID sin N	85
8.25	Botón regulador P con N	86
8.26	Botón regulador PI con N	86
8.27	Botón regulador PD con N	86
8.28	Botón regulador PID con N	87
8.29	Botón parámetros	87
8.30	Botón parámetros Relay - Feedback	87
8.31	Botón mostrar gráfica	88
8.32	Botón Visualización	88
8.33	Botón Relay - Feedback	89

8.34	Botón Ziegler - Nichols	89
8.35	Botón Z&N No Overshoot	90
8.36	Botón Z&N Some Overshoot	90
8.37	Botón Tyreus - Luyben	90
8.38	Botón marcha	91
8.39	Botón Paro	91
8.40	Campo de inserción del parámetro K	93
8.41	Campo de inserción del parámetro Td	94
8.42	Campo de inserción del parámetro Ti	94
8.43	Campo de inserción de la consigna	94
8.44	Campo de inserción del parámetro N	94
8.45	Campo de inserción del ancho de ventana	95
11.1	DAQ_Start	131
11.2	DAQ_Write	131
11.3	DAQ_Read	132
11.4	DAQ_Stop	132

TÍTULO:

CONTROL REMOTO SOBRE LA PLANTA PEQUEÑA

DE CONTROL DE NIVEL DEL LABORATORIO

MEMORIA

PETICIONARIO: **ESCUELA UNIVERSITARIA POLITÉCNICA**

AVDA. 19 DE FEBREIRO, S/N

15405 - FERROL

FECHA: **JUNIO DE 2017**

AUTOR: **EL ALUMNO**

Fdo.: **DANIEL MÉNDEZ BUSTO**

Índice del documento MEMORIA

1	Objeto	21
2	Alcance	23
3	Antecedentes	25
3.1	Planta de nivel del laboratorio	25
3.1.1	Bomba centrífuga	26
3.1.2	Variador de velocidad	27
3.1.3	Tarjeta de Adquisición de datos	27
3.1.4	Sensor de ultrasonidos	28
4	Normas y referencias	31
4.1	Disposiciones legales y normas aplicadas	31
4.2	Bibliografía	31
4.3	Programas utilizados	31
4.4	Otras referencias	32
5	Definiciones y abreviaturas	33
6	Requisitos de diseño	35
7	Análisis de las soluciones	37
7.1	EASY JAVA SIMULATIONS	37
7.1.1	Consola de Easy Java Simulations	38
7.1.2	Interface de desarrollo de Easy Java Simulations	38
7.1.2.1	Selector de panel de trabajo	40
7.1.2.2	Panel de trabajo	54
7.1.2.3	Área de mensajes	54
7.1.2.4	Panel de información	54
7.1.2.5	Barra de tareas	55
7.2	Regulación de la planta de nivel	56
7.2.1	Reguladores	56
7.2.1.1	Acción proporcional	57
7.2.1.2	Acción integral	57
7.2.1.3	Acción derivativa	57
7.2.2	Implementación de los reguladores	57
7.2.2.1	Regulador P	58
7.2.2.2	Regulador PI	59
7.2.2.3	Regulador PD	60
7.2.2.4	Regulador PID	60

7.2.3	Método <i>Relay - Feedback</i>	61
7.2.4	Obtención de los parámetros K_p , T_i y T_d mediante la aplicación de fórmulas	62
7.2.4.1	Ziegler - Nichols [2]	62
7.2.4.2	Tyreus - Luyben [2]	63
8	Resultados finales	65
8.1	Comunicación entre Easy Java Simulations y Matlab	65
8.2	Declaración de variables en EJS	68
8.3	Programación del cuerpo de la aplicación	70
8.3.1	Código de la implementación y representación de los reguladores	70
8.3.1.1	Código del instante inicial de los reguladores sin corrección . .	71
8.3.1.2	Código del regulador P sin corrección	71
8.3.1.3	Código del regulador PI sin corrección	72
8.3.1.4	Código del regulador PD sin corrección	72
8.3.1.5	Código del regulador PID sin corrección	73

1 Objeto

El objetivo principal del presente trabajo de fin de grado es llevar a cabo el control remoto de la planta de nivel del laboratorio de optimización y control de la Escuela Universitaria Politécnica de Ferrol haciendo uso del entorno EASY JAVA SIMULATIONS y MATLAB para su posterior aplicación en docencia. Un usuario puede realizar el control de esta planta desde cualquier parte del mundo a través de internet.

2 Alcance

Los pasos que se llevan a cabo para la realización de este proyecto son los siguientes:

- Pruebas simples con la planta de nivel pequeña del laboratorio de optimización y control.
- Enlazar vía internet el programa de desarrollo EASY JAVA SIMULATIONS y el programa de cálculo MATLAB.
- Realizar la programación de la interface en EASY JAVA SIMULATIONS.
- Pruebas y validación de la propuesta sobre la planta pequeña de nivel del laboratorio.
- Análisis de resultados obtenidos.
- Elaboración de presupuesto de la aplicación desarrollada.

3 Antecedentes

En los últimos años, el campo de control y de automatización industrial experimenta un rápido crecimiento para favorecer el desarrollo de las actividades industriales. El sistema industrial tiende a una descentralización de sus elementos y toma gran importancia el mundo de las comunicaciones industriales y del control remoto. Esta evolución también afecta al mundo educativo, ya que gracias al control remoto en los laboratorios, el alumno no tienen que asistir *insitu* a las prácticas llevadas a cabo en estos laboratorios.

El laboratorio de optimización y control de la Escuela Universitaria Politécnica de Ferrol está dotado con una planta de nivel, en donde los alumnos diseñan y prueban diferentes tipos de reguladores. En la actualidad, los alumnos deben desplazarse al laboratorio para proceder al manejo de la planta, ya que ésta no cuenta con control remoto.

3.1. Planta de nivel del laboratorio

El funcionamiento de esta planta se basa en mantener un nivel de agua determinado en un depósito a partir de otro.

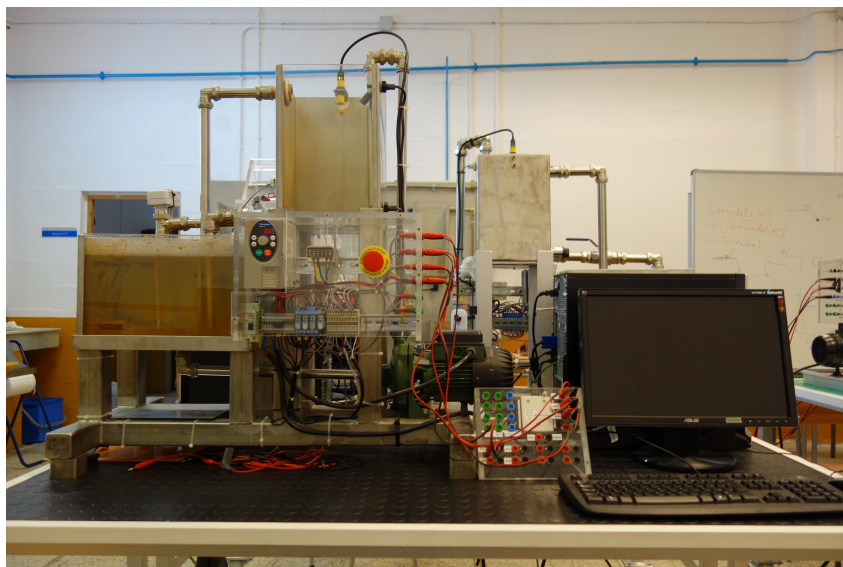


Figura 3.1.0.1 – Planta de nivel del laboratorio

Cómo se muestra en la imagen **3.1.0.1**, la planta de nivel de laboratorio consta de dos depósitos, uno situado en la parte superior y en la parte inferior. El depósito de la parte superior es dónde se mantiene un determinado nivel de líquido, mientras que el depósito inferior es el

que lo alimenta. Para proteger la bomba centrífuga y para evitar que el depósito inferior se quede sin agua, éste es de mayor tamaño que el depósito superior.

Para alimentar el depósito superior, se cuenta de una bomba centrífuga. El vaciado del mismo se puede realizar por tres métodos. A través del tubo superior si el nivel del líquido es igual a la capacidad del depósito. A través de las válvulas que tiene el sistema, una válvula manual y una electro-válvula y mediante la propia bomba.

El régimen de giro de la bomba lo determina un variador de velocidad situado bajo del depósito superior. Este variador de velocidad es controlado mediante el sistema de control desarrollado en el software Matlab. Para poder comunicar el variador de velocidad con el ordenador es necesario hacer uso de una tarjeta de adquisición de datos. Gracias a ella, el ordenador obtiene el valor del nivel aportado por el sensor para medir el nivel (situado en la parte alta del depósito superior) y emite las órdenes de control al variador de velocidad.

En las siguientes subsecciones se detallan los elementos principales que forman la planta de nivel.

3.1.1. Bomba centrífuga

La bomba centrífuga que se encarga de elevar el líquido hacia el depósito superior es el modelo KST de SACI (figura 3.1.1.1).

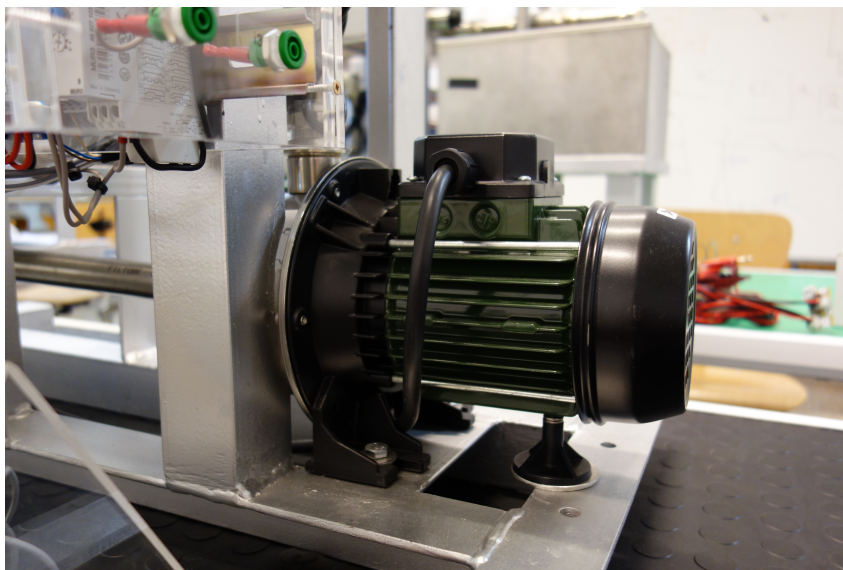


Figura 3.1.1.1 – Bomba Centrífuga

Las características más representativas de esta bomba son las siguientes:

- Tensión de alimentación trifásica entre 230 y 400 V.
- Frecuencia de alimentación de 50 Hz.
- Potencia nominal de 370 W.
- Caudal máximo de $6 \text{ m}^3/\text{h}$.

- Altura máxima de aspiración de 21,5 m.
- Régimen de trabajo de 2800 rpm.

3.1.2. Variador de velocidad

El control de la bomba se realiza mediante el variador de velocidad Altivar 31 de la casa Telemecanique Schneider Electric.

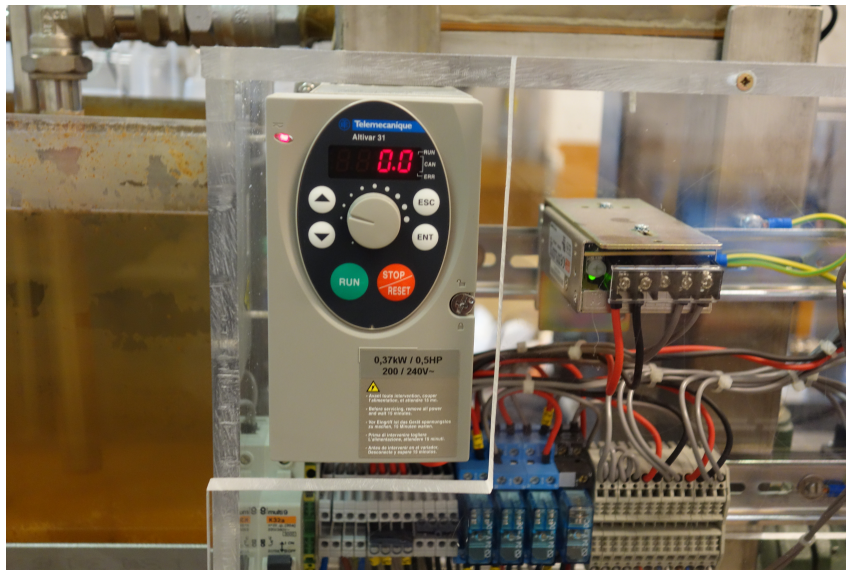


Figura 3.1.2.1 – Variador de Velocidad

Las características más representativas que presenta este variador son las siguientes:

- Tensión de entrada de 0 a 10 V.
- Salida trifásica con una tensión de 0 a 230 V.
- Una frecuencia de salida de 0 a 50 Hz.

El enlace entre el variador de velocidad y la bomba centrífuga es directo, ya que las características de salida del variador de velocidad y los parámetros de alimentación de la bomba centrífuga son compatibles

3.1.3. Tarjeta de Adquisición de datos

La tarjeta de adquisición de datos (DAQ NI USB-6008) es la encargada de transmitir las órdenes de control emitidas desde el ordenador al variador de velocidad. También, envía las medidas tomadas por el sensor de ultrasonidos al ordenador. La comunicación entre la tarjeta de adquisición de datos y el ordenador se realiza mediante cable USB. La tarjeta de adquisición de datos se muestra en la figura 3.1.3.1.

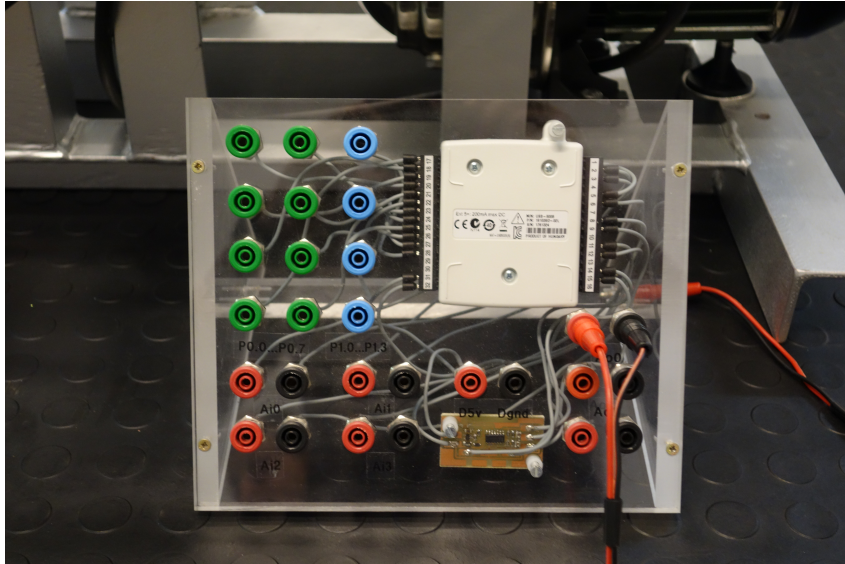


Figura 3.1.3.1 – Tarjeta de adquisición de datos

El modelo DAQ NI USB-6008 utiliza el siguiente protocolo de comunicación para enlazarse con el ordenador.

- **Inicialización de la DAQ:** Para comenzar la transferencia de datos, se debe de inicializar la tarjeta de adquisición. Se hace uso del Script *DAQ_START* (11.1).
- **Orden de escritura a la DAQ:** La escritura de un dato en la tarjeta de adquisición se realiza mediante el Script *DAQ_Write()* (11.2).
- **Orden de lectura de la DAQ:** La lectura de un dato de la tarjeta de adquisición se realiza con el Script *DAQ_Read()* (11.3).
- **Desconexión de la DAQ:** Para cesar las comunicaciones entre la tarjeta de adquisición y el ordenador se hace uso del Script *DAQ_Stop* (11.4).

3.1.4. Sensor de ultrasonidos

El sensor de ultrasonidos es el encargado de realizar la medición del nivel de líquido en el depósito superior en tiempo real. El sensor que se utiliza es el modelo S18UAA de la casa Banner Engineering (3.1.4.1).

Este sensor emite ondas de ultrasonidos que son recibidas por él mismo al rebotar contra el líquido a medir. Para conocer el nivel de líquido, mide el tiempo transcurrido entre la emisión y la recepción de la onda.

Se configura el mínimo rango de salida del sensor en la parte inferior del depósito (depósito vacío) y el máximo rango de salida en la parte superior del depósito (depósito lleno). La medida del nivel en el depósito superior se realiza porcentualmente.



Figura 3.1.4.1 – Sensor de ultrasonidos

Las características más representativas de este sensor son las siguientes:

- Tensión de entrada entre 10 y 30 V.
- Tensión de salida entre 0 y 10 V.

4 Normas y referencias

4.1. Disposiciones legales y normas aplicadas

En la ejecución del presente trabajo se cumple con la normativa de Trabajos Fin de Grado de la Escuela Universitaria Politécnica de Ferrol, aplicable a las titulaciones de Grado en Ingeniería Electrónica Industrial Y Automática y Grado en Ingeniería Eléctrica.

4.2. Bibliografía

- [1] BASIL M., AL-HADITHI; *Análisis y Diseño de sistemas discretos de control*, Visión Net.
- [2] CALVO ROLLE, JOSÉ LUIS; *Ajuste empírico de reguladores PID*.
- [3] GARCÍA NOVO, FRANCISCO; *Estudio de métodos de detección de fallos para sistemas SISO*.
- [4] CALVO ROLLE, JOSÉ LUIS; *Discretización de Sistemas Continuos*.
- [5] CASTELEIRO ROCA, JOSÉ LUIS; *Scripts de comunicación de la tarjeta de adquisición de datos NI USB-6008 en Matlab*.

4.3. Programas utilizados

Los programas utilizados para la realización del presente trabajo son los siguientes:

- Matlab R2016b 32 bits
- Easy Java Simulations
- Microsoft Excel 2016
- TeXstudio
- MiKTeX
- YawCam

4.4. Otras referencias

- [i] *EjsWiki: Todo sobre Easy Java Simulations*. Disponible en: <http://www.um.es/fem/EjsWiki/Es/HomePage>

5 Definiciones y abreviaturas

- **EJS:** Easy Java Simulation
- **Z&N:** Ziegler - Nichols
- **Z&N NO:** Ziegler - Nichols No Overshoot
- **Z&N SO:** Ziegler - Nichols Some Overshoot
- **T&L:** Tyreus - Luyben
- **Regulador P:** Regulador proporcional
- **Regulador PI:** Regulador proporcional - integral
- **Regulador PD:** Regulador proporcional - derivativo
- **Regulador PID:** Regulador proporcional - integral - derivativo
- **DAQ:** Tarjeta adquisición de datos
- **SP:** Set point
- **N:** Parámetro de ajuste

6 Requisitos de diseño

Los requisitos que debe de cumplir el presente Trabajo Fin de Grado son:

- Poder implementar un control sobre la planta de nivel desde cualquier parte del mundo a través de internet.
- Poder visualizar en tiempo real el estado de la planta.
- Graficar en tiempo real el nivel, el error, la señal de control y la consigna.
- Permitir la realización del método de Relay - Feedback.
- El tiempo de muestreo ha de ser constante.
- Se deben de almacenar los datos de las variables nivel, error, señal de control y consigna en una base de datos. Esta base de datos se debe de poder visualizar desde el ordenador local y desde el ordenador remoto.

7 Análisis de las soluciones

Con el objetivo de dotar la planta de nivel con control remoto se estudia la posibilidad de implementar un **escritorio remoto** o desarrollar una **aplicación de control** desarrollada con el software *Easy Java Simulations*.

El escritorio remoto permite la utilización de una sesión en un ordenador local desde un equipo remoto ubicado en otro lugar. Para lograr la comunicación entre los dos equipos es necesario conexión a internet. Cuando se inicia la sesión remota, el usuario puede ejecutar Matlab y por lo tanto realizar un control sobre la planta de nivel.

Una aplicación de control desarrollada con *Easy Java Simulations* permite la conexión a un ordenador local desde un equipo remoto. La comunicación entre estos dos equipos se realiza mediante internet haciendo uso del protocolo *http*. Cuando se inicia la aplicación, el usuario está ante una *interface* que se enlaza con el software Matlab del ordenador local. A través del Matlab puede realizarse el control de la planta de nivel.

La ventaja que ofrece el escritorio remoto es que el usuario se encuentra con la *interface* original de Matlab por lo que obtiene un control total y absoluto sobre la planta de nivel. A la vez, esto es una desventaja, ya que no se puede controlar la programación realizada por el usuario y por lo tanto se pueden dar problemas como el deterioro o la ruptura de la propia planta, borrado de archivos ajenos al usuario o cambios indeseados en la configuración del equipo.

La aplicación de control tiene la ventaja que actúa como intermediaria entre el ordenador remoto y el ordenador local. De esta manera, se filtran las acciones que el usuario desea realizar sobre la planta de laboratorio, protegiéndola así contra ordenes perjudiciales para su integridad. La desventaja que ofrece es que el usuario no se encuentra con la *interface* original de Matlab, si no que trabaja a través de la aplicación de control.

Tras realizar el estudio de ambas alternativas se ha decidido hacer uso de la aplicación de control creada con *Easy Java Simulations*. A continuación se describe como es el funcionamiento de este software gratuito de desarrollo de aplicaciones Java.

7.1. EASY JAVA SIMULATIONS

Easy Java Simulations (*EJS*) es un entorno de programación que permite realizar simulaciones. Una simulación intenta reproducir gráficamente un fenómeno natural que fluye por distintos estados. Cada uno de estos estados se puede definir por variables [1].

En *EJS* se pueden crear simulaciones de alto nivel con un nivel medio de programación. El

lenguaje utilizado para el desarrollo en esta plataforma es Java. Se pueden crear aplicaciones Java independientes, aplicaciones Java multiplataforma o *applets*. Esta variedad de exportación, permite que una aplicación que se genera con Easy Java Simulations se puede ejecutar en distintas plataformas e incluso en un navegador web [i].

Es compatible con programas de software como Matlab, Simulink o Labview y con elementos hardware como puede ser arduino. La comunicación entre los elementos software y el *EJS* se realiza a través de protocolo *http* o *tcp*. Esto dota a Easy Java Simulations de una gran potencia, ya que permite aprovechar todos los recursos de los software compatibles y con el añadido de poder realizarlo de forma remota haciendo uso de uno de los protocolos de comunicación mencionados anteriormente.

Se compone de dos ventanas principales: La consola de *EJS* y la interfaz de desarrollo de *EJS*.

7.1.1. Consola de Easy Java Simulations

La consola de *EJS* es el punto de partida para ejecutar el entorno de desarrollo. En ella se muestran mensajes de salida y posibles mensajes de error de las simulaciones creadas con *EJS* y, ocasionalmente, mensajes de error del propio Easy Java Simulations. Esta consola también permite configurar opciones básicas y avanzadas.

Desde la consola de *EJS* se pueden ejecutar varias ventanas de interface. Si se cierra la consola se detiene la total ejecución de Easy Java Simulations.

La consola de *EJS* se puede visualizar en la imagen 7.1.1.1:

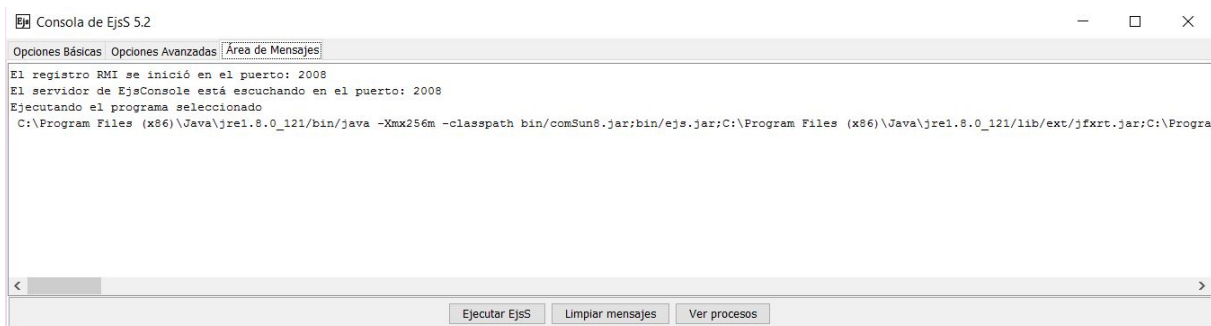


Figura 7.1.1.1 – Consola de Easy Java Simulations.

7.1.2. Interface de desarrollo de Easy Java Simulations

La *interface* de usuario de *EJS* es el entorno de programación de las aplicaciones. En la imagen 7.1.2.1 se observa la composición de la ventana principal.

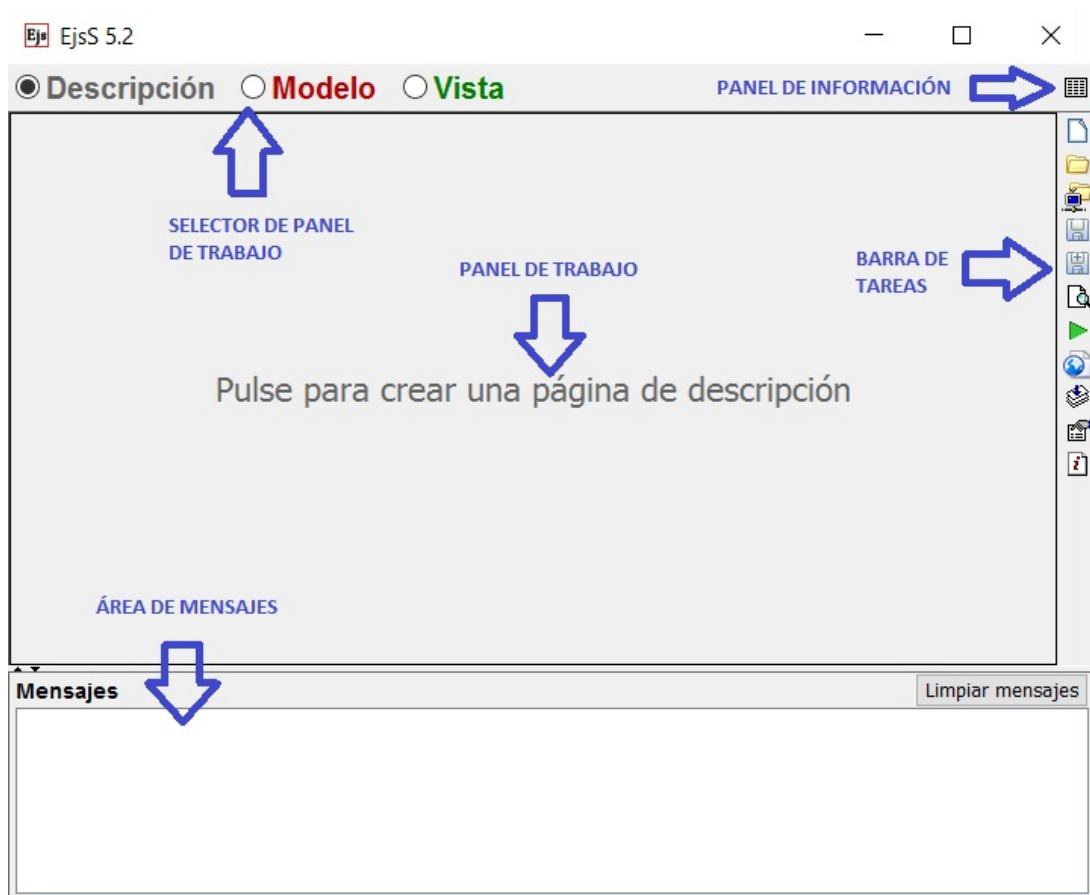


Figura 7.1.2.1 – Interface de usuario de Easy Java Simulations.

En las siguientes subsecciones se detallan los elementos que componen la *interface* de desarrollo de *Easy Java Simulations*.

7.1.2.1. Selector de panel de trabajo

En el selector de panel de trabajo se permite navegar entre las pantallas de descripción, modelo y vista.

La pantalla de **descripción** (seleccionada en la figura 7.1.2.1) está destinada para realizar un resumen de la funcionalidad de la aplicación desarrollada.

La pantalla de **modelo** (figura 7.1.2.2) está destinada para realizar el desarrollo de código. Esta pantalla se subdivide a su vez en las siguientes pantallas: variables, inicialización, evolución, relaciones fijas, propio y elementos.

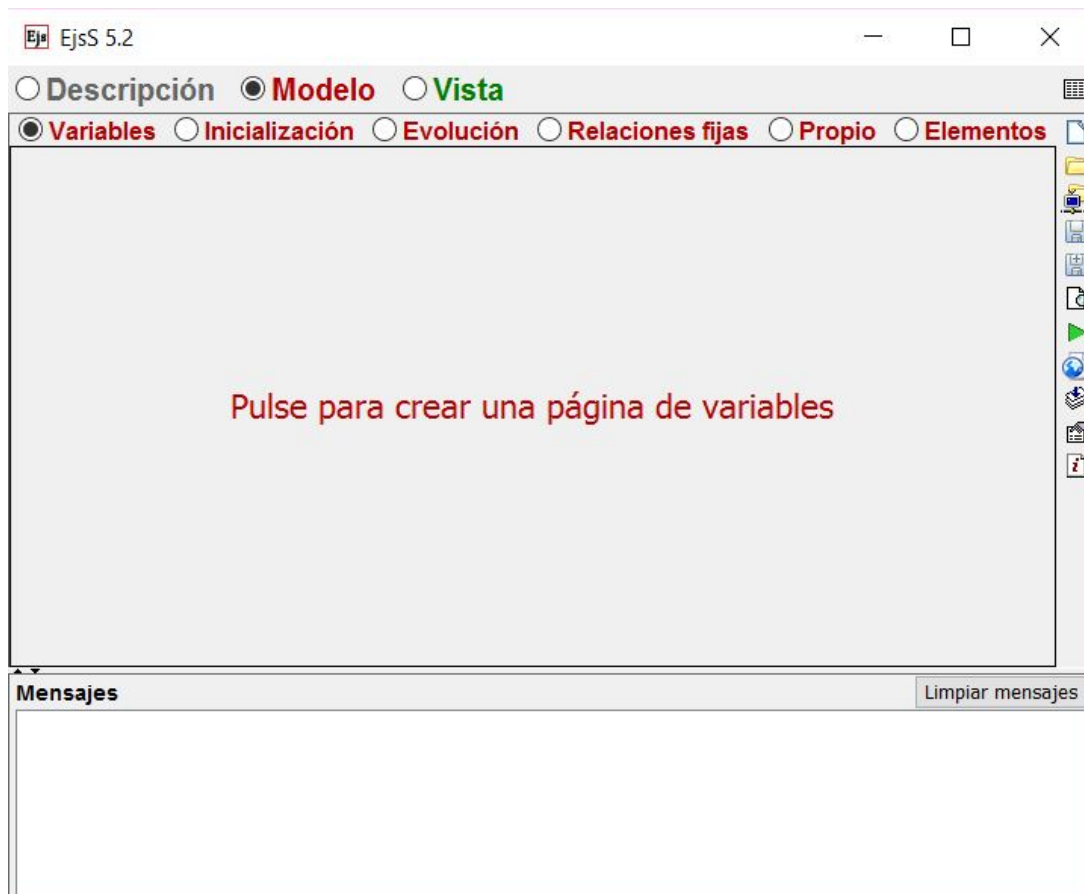


Figura 7.1.2.2 – Selector de panel de trabajo: Modelo

En la figura 7.1.2.2 se observa como está seleccionado el panel de variables. Si se realiza *click* sobre la pantalla central, aparece el cuadro mostrado en la figura 7.1.2.3.

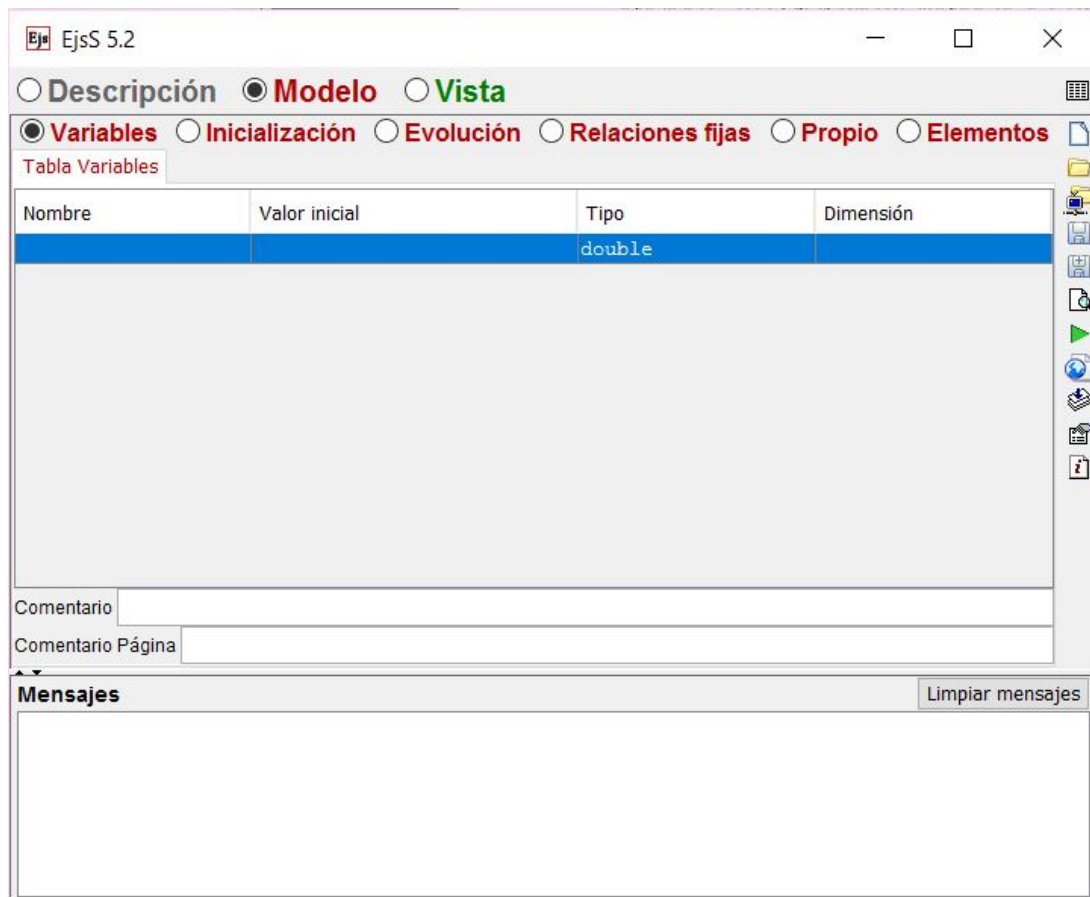


Figura 7.1.2.3 – Página de Modelo: Variables

Este cuadro está designado para la declaración de las variables de la aplicación. Para declarar una variable, se le designa un nombre, un valor inicial, un tipo (doble, entero, booleano o string) y una dimensión (único elemento o vector).

La pantalla de inicialización, representada en la figura 7.1.2.4, está destinada para programar aquellas instancias que se ejecutan al iniciar la aplicación. Estas sentencias se programan en lenguaje Java.

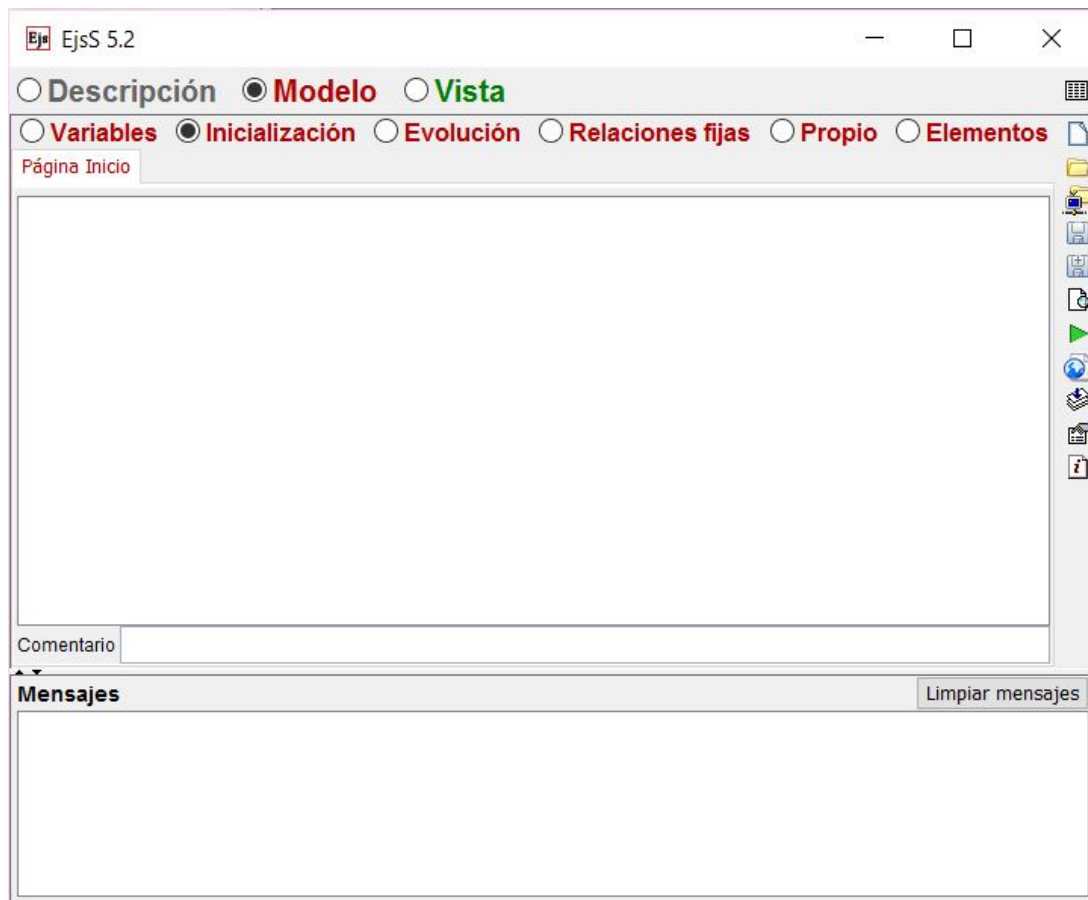


Figura 7.1.2.4 – Página de Modelo: Inicialización

La pantalla de evolución, representada en la figura 7.1.2.5, está destinada para desarrollar aquellas sentencias que muestran una evolución en el tiempo. Se puede elegir entre crear una página de código o crear una página de ecuaciones diferenciales ordinarias (EDO). En Easy Java Simulations, se pueden crear simulaciones de sistemas discretos o de sistemas continuos. Si se desea crear una simulación de un sistema discreto, se debe de seleccionar la opción de crear una página de código. Si por el contrario se desea realizar una simulación continua se puede seleccionar la opción de desarrollar el sistema mediante código Java (página de código) o la opción de introducir la ecuación en diferencias que describe el comportamiento del sistema (página de EDO) [i].

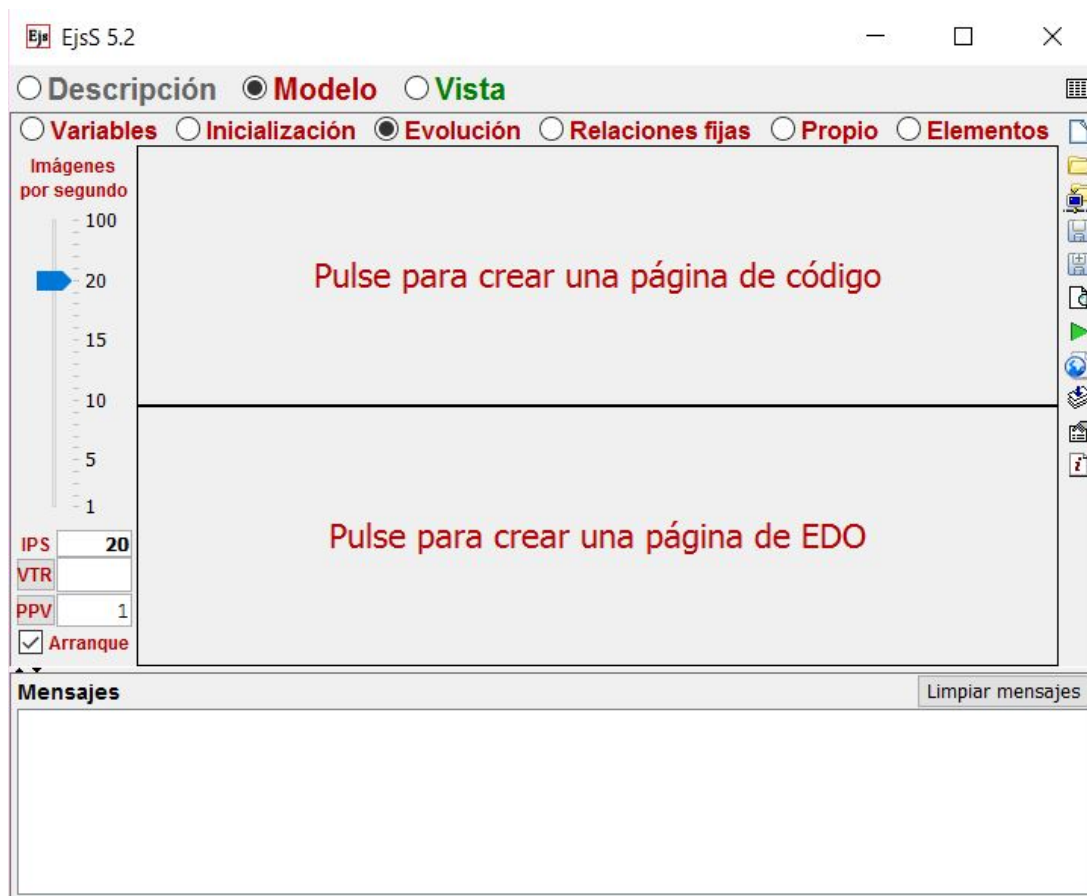


Figura 7.1.2.5 – Página de Modelo: Evolución

En la parte izquierda de la figura 7.1.2.5, se encuentra un menú en donde se puede modificar el número de imágenes por segundo (IPS), seleccionar una variable de tiempo real (VTR), modificar los pasos por visualización (PPV) y seleccionar el arranque.

El número de imágenes por segundo indica el número de veces que se representa la simulación por segundo. Se puede modificar deslizando el cursor por el deslizador, introduciendo un valor numérico en el cuadro *IPS* o asignando una variable o un valor en el campo *VTR*.

Los pasos por visualización especifican cuantas veces avanza el modelo entre representación y representación de la simulación.

La casilla de selección de arranque permite seleccionar si se desea que el apartado de

evolución comience con el inicio de la aplicación (seleccionado) o que se le dará la orden de inicio mediante código de programación (no seleccionado).

La pantalla de relaciones fijas, representada en la imagen 7.1.2.6, está destinada para programar la relación directa que presentan dos o más variables.

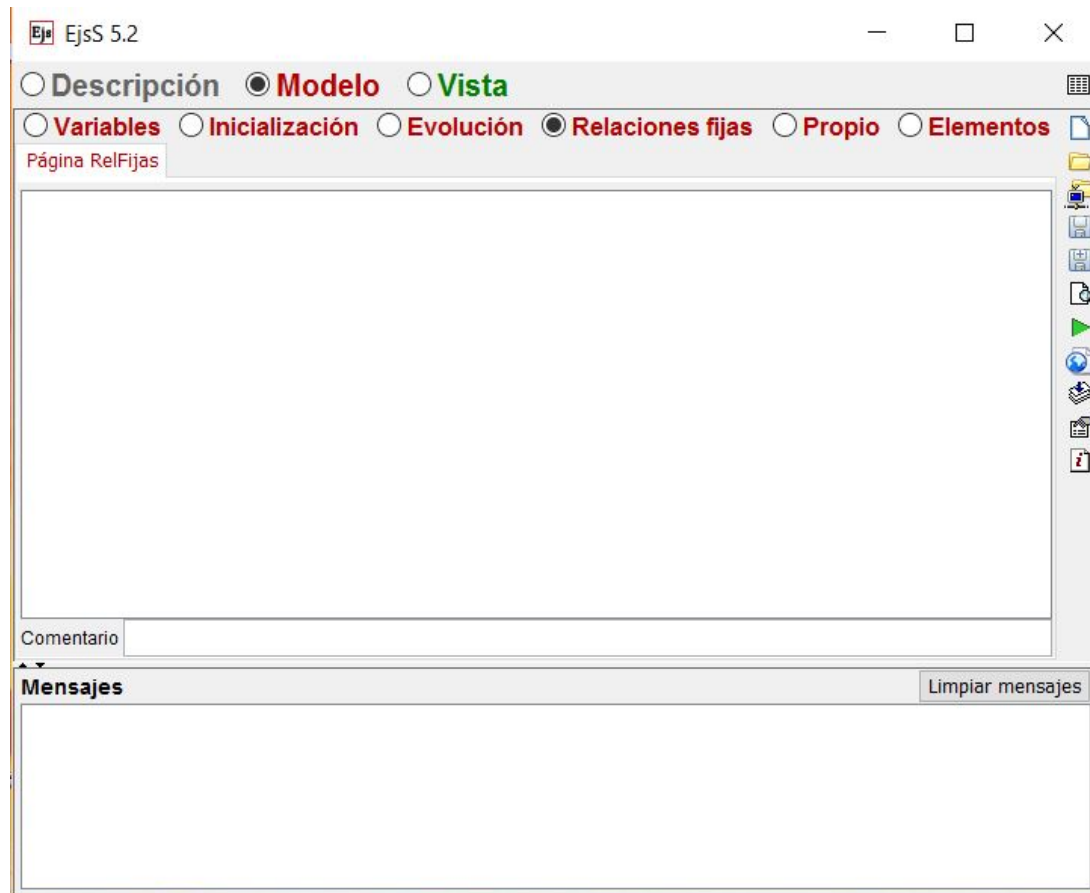


Figura 7.1.2.6 – Página de Modelo: Relaciones fijas

La pantalla de propio, representada en la figura 7.1.2.7, está destinada para la programación de funciones en Java. Los parámetros que definen estas funciones son el nombre, las variables de entrada y las variables de salida. El nombre será el identificador para proceder a la llamada de la función. Las variables de entrada, que puede haberlas o no, son parámetros que utiliza la función en su ejecución y son transferidas en el momento de la llamada. Las variables de salida, que puede haberlas o no, son aquellas variables en las que la función vuelca un resultado al finalizar su ejecución [i].

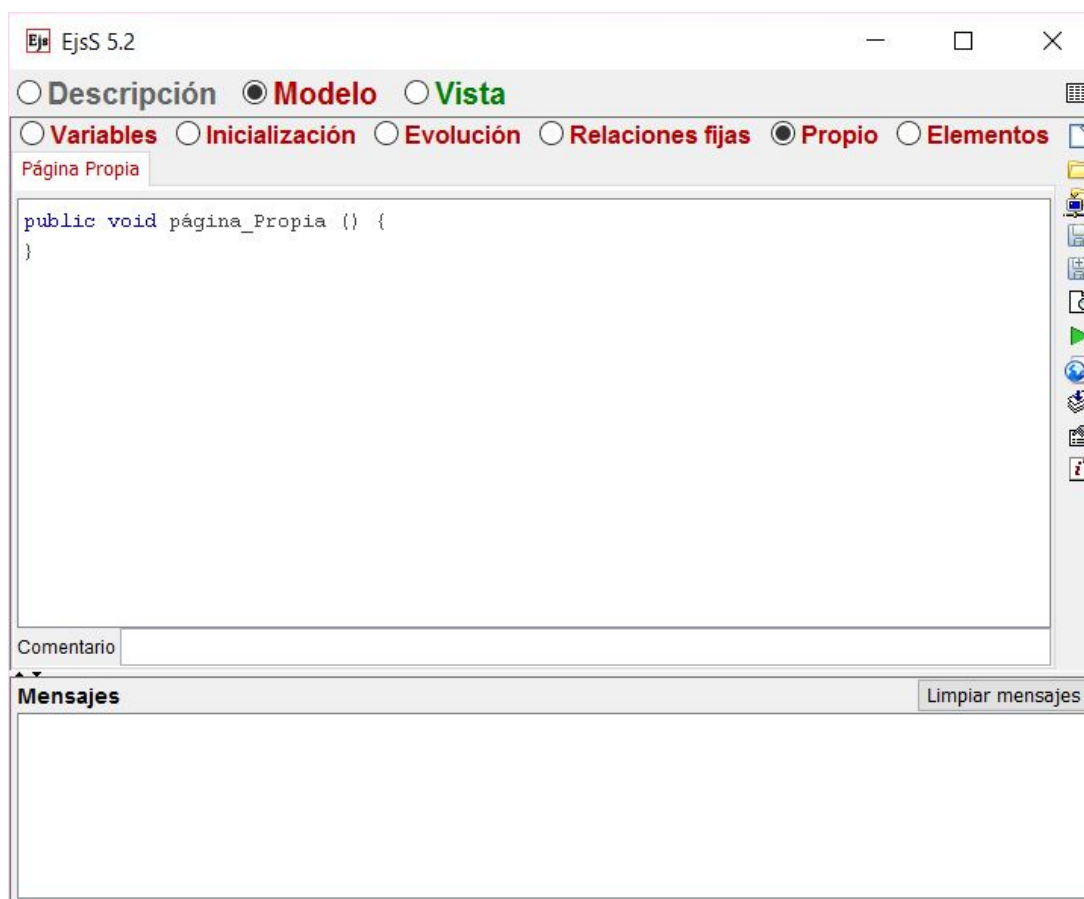


Figura 7.1.2.7 – Página de Modelo: Propio

La pantalla de elementos, representada en la figura 7.1.2.8, está destinada para configurar los elementos software y/o hardware que se pueden vincular con Easy Java Simulations.

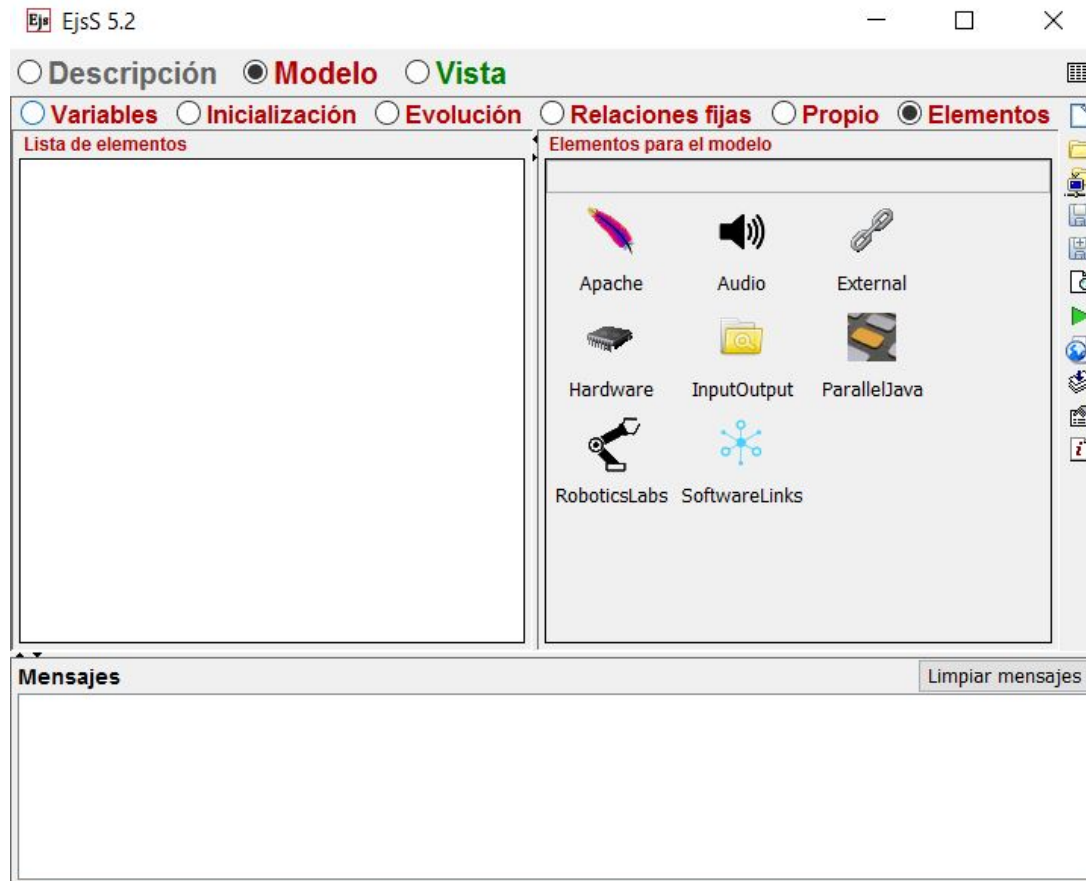


Figura 7.1.2.8 – Página de Modelo: Elementos

En la pantalla de **vista** se diseña el aspecto gráfico de la aplicación. La programación de esta ventana consiste en vincular objetos a variables propias del proceso.

La ventana principal de diseño se compone del árbol de elementos y de los elementos para la vista.

En el interior del árbol de elementos, se encuentra la vista de la simulación. Todos los elementos de la *interface* gráfica se cuelgan de ella y se estructuran en forma de árbol. En los elementos de la vista se encuentran los elementos de *interface*, los elementos de dibujo 2D y los elementos de dibujo 3D. En estos menús se seleccionan los objetos gráficos de la visualización.

En la parte inferior se puede observar una casilla de selección que permite ver la vista previa de la simulación [1].

En la imagen 7.1.2.9 se muestra el aspecto de la ventana de vista.

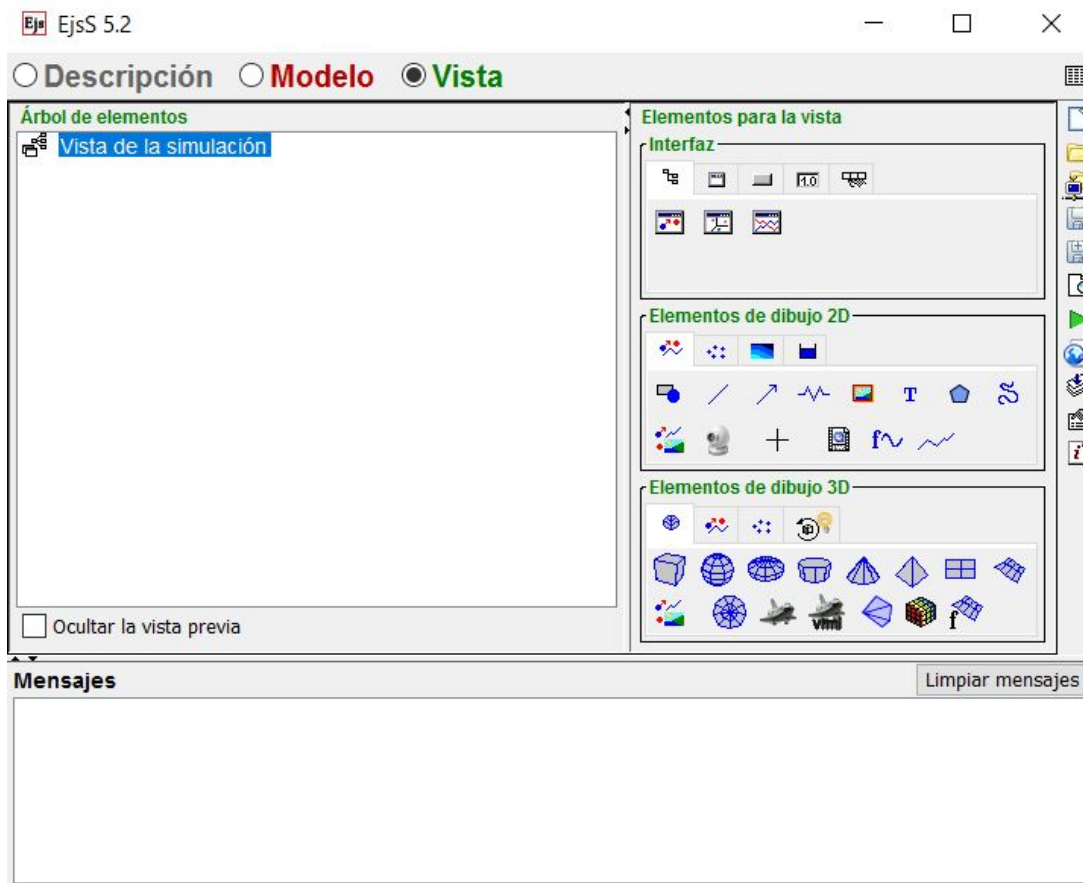






























Figura 7.1.2.9 – Página de Vista

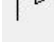
En la siguiente tabla se muestran los elementos de interface [i].

Símbolo	Nombre	Descripción
	Drawing Frame	Ventana de ejemplo compuesta por elementos 2D
	Drawing Frame 3D	Ventana de ejemplo compuesta por elementos 3D
	Plotting Frame	Ventana de ejemplo de gráficos
	Ventana	Ventana vacía para elementos 2D
	Ventana de diálogo	Ventana vacía y fija para elementos 2D
	Panel	Panel contenedor básico
	Panel desplazable	Panel contenedor con propiedades de desplazamiento

Símbolo	Nombre	Descripción
	Panel dividido	Panel contenedor con dos áreas separadas
	Panel separador	Panel contenedor con separadores
	Barra de herramientas	Un contenedor en forma de barra de herramientas
	Panel de dibujo	Un contenedor 2D para elementos de dibujo
	Panel con ejes	Un contenedor 2D con ejes
	Panel de dibujo 3D	Un contenedor 3D
	Etiqueta	Una etiqueta decorativa
	Ecuación	Campo destinado para una ecuación matemática
	Botón	Un botón para acciones
	Botón dos estados	Un botón para acciones de dos estados
	Selector	Un selector para varios booleanos
	Botón radio	Un botón para varios booleanos
	Selector con sonido	Un selector con sonido
	Separador	Una línea de separación
	Barra	Una barra que visualiza un valor
	Deslizador	Una barra que visualiza o modifica un valor
	Mando	Mando circular para modificar un valor
	Tabla de datos	Una tabla de datos
	Lista	Lista desplegable para selección de texto
	Campo numérico	Se visualiza o se modifica un dato numérico
	Campo de texto	Se visualiza o se modifica un texto

Símbolo	Nombre	Descripción
	Campo clave	Campo para introducir una palabra secreta
	Función	Campo de texto para evaluar una función
	Área de texto	Área que imprime un texto
	Panel matriz	Panel para editar una matriz
	Barra menú	Una barra de menú
	Menú	Un menú desplegable
	Botón menú	Un botón para menús
	Selector menú	Un selector para menús
	Botón radio menú	Un botón radio para menús
	Separador menú	Un separador para menús
	Forma	Una forma 2D (elipse, cuadrado)
	Segmento	Un segmento 2D
	Flecha	Una flecha 2D
	Muelle	Un muelle 2D
	Imagen	Una imagen 2D
	Texto	Un texto 2D
	Polígono	Un polígono 2D
	Rastro	Un rastro 2D
	Grupo	Un grupo 2D
	Basic Web Cam	Una imagen básica de Web Cam
	Cursor	Un cursor para un panel 2D
	Video	Un clip de video

Símbolo	Nombre	Descripción
	Curva analítica	Una curva en 2D dada por expresiones analíticas
	Traza	Una secuencia de puntos
	Conjunto de formas	Un conjunto de formas 2D
	Conjunto de segmentos	Un conjunto de segmentos 2D
	Conjunto de flechas	Un conjunto de flechas 2D
	Conjunto de muelles	Un conjunto de muelles 2D
	Conjunto de imágenes	Un conjunto de imágenes 2D
	Conjunto de textos	Un conjunto de textos 2D
	Conjunto de polígonos	Un conjunto de polígonos 2D
	Conjunto de rastros	Un conjunto de rastros 2D
	Conjunto de trazas	Un conjunto de trazas 2D
	Retícula	Visualización de un conjunto de 0 y 1
	Retícula Células	Visualización tipo tablero de un campo escalar
	Retícula puntos	Visualización de un conjunto de bytes
	Nube	Una nube de puntos
	Histograma	Un histograma para datos
	Barrido datos	Una visualización 2D de puntos con color
	Barrido bytes	Una visualización 2D de bytes con color
	Datos Complejos	Un conjunto de números complejos
	Retícula triangular Bytes	Visualización triangular para conjunto de 0 y 1
	Retícula triangular Bytes	Visualización triangular para conjunto de enteros

Símbolo	Nombre	Descripción
	Campo vectores	Un campo vectores 2D
	Campo vectores analítico	Un campo vectores analíticos 2D
	Campo escalar	Un campo escalar 2D
	Campo escalar analítico	Un campo escalar analítico 2D
	Campo escalar complejo	Un campo escalar complejo 2D
	Malla	Un campo sobre una malla delimitada
	Tanque	Un tanque para líquido
	Tubería	Una tubería interactiva
	Válvula	Una válvula para líquidos
	Bomba	Una bomba para líquidos
	Símbolo	Un símbolo de control
	Línea	Una línea de control
	Caja 3D	Una caja 3D
	Esfera 3D	Una esfera 3D
	Elipsoide 3D	Una elipsoide 3D
	Cilindro 3D	Un cilindro 3D
	Cono 3D	Un cono 3D
	Tetraedro 3D	Un tetraedro 3D
	Plano 3D	Un plano 3D
	Superficie 3D	Una superficie 3D
	Grupo 3D	Un grupo 3D

Símbolo	Nombre	Descripción
	Disco 3D	Un disco 3D
	Objeto 3D	Un objeto 3D descrito por un fichero
	Objeto VRML	Un objeto 3D descrito por un fichero VRML
	Elosado 3D	Una superficie en 3D compuesta de losas poligonales
	Malla 3D	Un campo sobre una malla en 3D delimitada
	Superficie analítica 3D	Una superficie en 3D dada por expresiones analíticas
	Partícula 3D	Una partícula en 3D
	Segmento 3D	Un segmento en 3D
	Flecha 3D	Una flecha en 3D
	Muelle 3D	Un muelle en 3D
	Imagen 3D	Una imagen en 3D
	Texto 3D	Un texto en 3D
	Polígono 3D	Un polígono en 3D
	Traza 3D	Una secuencia de puntos en 3D
	Curva analítica 3D	Una curva en 3D dada por una expresión analítica
	Puntos 3D	Una nube de puntos 3D
	Campo de vectores 3D	Un campo de vectores 3D
	Campo vectorial analítico 3D	Un campo de vectores 3D de expresión analítica
	Panel 2D en 3D	Un panel de dibujo 2D para una escena 3D
	Conjunto cajas 3D	Un conjunto de cajas 3D
	Conjunto esferas 3D	Un conjunto de esferas 3D
	Conjunto elipsoides 3D	Un conjunto de elipsoides 3D
	Conjunto cilindros 3D	Un conjunto de cilindros 3D

Símbolo	Nombre	Descripción
	Conjunto conos 3D	Un conjunto de conos en 3D
	Conjunto tetraedros 3D	Un conjunto de tetraedros en 3D
	Conjunto planos 3D	Un conjunto de planos en 3D
	Conjunto superficies 3D	Un conjunto de superficies en 3D
	Conjunto partículas 3D	Un conjunto de partículas en 3D
	Conjunto segmentos 3D	Un conjunto de segmentos en 3D
	Conjunto flechas 3D	Un conjunto de flechas en 3D
	Conjunto muelles 3D	Un conjunto de muelles en 3D
	Conjunto imágenes 3D	Un conjunto de imágenes en 3D
	Conjunto textos 3D	Un conjunto de textos en 3D
	Conjunto polígonos 3D	Un conjunto de polígonos en 3D
	Conjunto trazas 3D	Un conjunto de trazas en 3D
	Rotación 3D	Una rotación para elementos 3D
	Rotación X 3D	Una rotación alrededor del eje X en 3D
	Rotación Y 3D	Una rotación alrededor del eje Y en 3D
	Rotación Z 3D	Una rotación alrededor del eje Z en 3D
	Cuaternión 3D	Una transformación 3D por cuaternión
	Alineamiento 3D	Una rotación que alinea dos vectores 3D
	Matriz 3D	Una transformación 3D basada en una matriz
	Luz 3D	Una luz para una escena 3D

Tabla 7.1.2.1 – Elementos de *interface*.

7.1.2.2. Panel de trabajo

El panel de trabajo es la zona en dónde se realiza la programación de la aplicación. Para añadir una ventana de programación se debe de realizar click en cualquier punto del panel de trabajo. Al realizar esta acción aparece una ventana emergente pidiendo el nombre de la ventana a crear. Este panel se encuentra en todos los campos disponibles en el selector de panel de trabajo.

7.1.2.3. Área de mensajes

El área de mensajes es la utilizada por Easy Java Simulations para transmitir errores o estados de la aplicación que se esta a desarrollar. Estos mensajes ayudan al usuario a corregir errores de compilación, informan si la aplicación se ha guardado correctamente, muestran el estado de la simulación ...

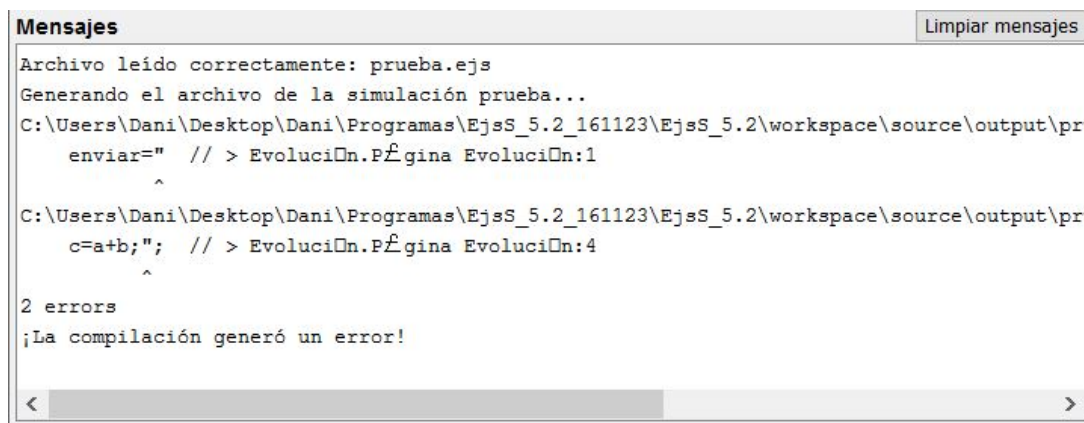


Figura 7.1.2.10 – Ejemplo área de mensajes

El área de mensajes presenta un botón nombrado como "Limpiar mensajes"(se puede ver en la figura 7.1.2.10) y permite borrar los mensajes existentes en dicho área.

7.1.2.4. Panel de información

El panel de información permite la configuración de la aplicación Easy Java Simulations. Cuando se accede a este menú se muestra la ventana mostrada en la figura 7.1.2.11.

Información acerca de prueba.ejs

Metadatos | Opciones de ejecución | Opciones de edición

Título:

Autor: Author name

Author name

Click to choose PNG image file, recommended size: (50 x 50)

Copyright:

Palabras Clave:

Nivel:

Idiomas:

Comentarios:

Simulation Logo:

Click to choose PNG image file, recommended size: (320 x 180)

Aceptar

Figura 7.1.2.11 – Panel de información: Introducción de datos

En este panel se pueden configurar datos del autor e insertar una imagen para la aplicación a desarrollar.

Como se observa en la figura 7.1.2.11, en la parte superior se puede seleccionar las opciones de ejecución o las opciones de edición. Estos ajustes vienen por defecto configurados y sólo sería necesarios ajustarlos en el caso de desarrollar aplicaciones muy complejas.

7.1.2.5. Barra de tareas

La barra de tareas contiene accesos directos para facilitar al usuario la programación de la aplicación. Desde ella se puede abrir un nuevo proyecto, guardar una aplicación en desarrollo, cambiarle el nombre a la aplicación que se está a desarrollar, ejecutar simulaciones o crear la aplicación en formato .jar.

Cómo se observa en la figura 7.1.2.1, la barra de tareas está situada en el lateral derecho.

En la siguiente tabla se muestran los componentes de este menú y se explica la función de cada uno.










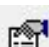

Símbolo	Descripción
	Permite crear una aplicación nueva
	Permite abrir una aplicación desarrollada en EJS
	Permite añadir librerías de EJS
	Guarda la aplicación que se está a desarrollar en la actualidad
	Se puede renombrar la aplicación cuando se guarda
	Permite la búsqueda de palabras
	Ejecuta la aplicación en modo simulación
	Traduce la aplicación a otro idioma
	Crea la aplicación en formato .jar
	Permite modificar opciones de la simulación
	Abre la ayuda de EJS

Tabla 7.1.2.2 – Elementos de la barra de tareas.

7.2. Regulación de la planta de nivel

El objetivo es que a través de la aplicación de control el usuario pueda realizar una regulación sobre el nivel del depósito superior de la planta de nivel.

En este proyecto se dota a la aplicación de control con reguladores PID y de sus simplificaciones. Se ha optado por esta opción, ya que los reguladores PID y sus simplificaciones se estudian en la materia de Ingeniería de Control en el tercer curso de Ingeniería Electrónica Industrial y Automática.

7.2.1. Reguladores

Un regulador es un algoritmo programado en un computador que se utiliza para corregir comportamientos no ideales de sistemas reales que están sometidos a perturbaciones, errores o características no lineales en su funcionamiento.

Las acciones que definen el tipo de regulador son la acción proporcional, la acción integral y la acción derivativa.

El regulador P está compuesto por la acción proporcional, el regulador PI por las acciones proporcional e integral, el regulador PD por las acciones proporcional y derivativa y el regulador PID por las tres acciones.

El regulador PID es el más utilizado en la actualidad, ya que su respuesta se adapta a la mayoría de los sistemas.

7.2.1.1. Acción proporcional

Se encarga de modificar principalmente la ganancia del sistema. Se emplea para disminuir el error, sin embargo esto puede aumentar las oscilaciones. Esta acción modifica el régimen transitorio y permanente [1].

7.2.1.2. Acción integral

Se encarga de anular el error en régimen permanente. El uso de esta acción aumenta en 1 el tipo del sistema, por lo que aumentará la precisión del mismo con el riesgo de inestabilizarlo. Esta acción introduce un polo en el origen, eliminando el error de posición. Modifica principalmente el régimen permanente [1].

7.2.1.3. Acción derivativa

Se encarga de modificar el comportamiento transitorio con el fin de modificar la velocidad de respuesta del sistema y las oscilaciones del transitorio. Esta acción introduce un cero en el sistema. Sin embargo, presenta grandes inconvenientes, amplifica la señales de alta frecuencia (ruido) que pueda presentar la señal, además de producir saturaciones en los actuadores cuando la señal de error varía bruscamente [1].

7.2.2. Implementación de los reguladores

Las acciones características de los reguladores pueden presentar distintas morfologías. En el presente trabajo se resalta un regulador sin corrección y un regulador con corrección (parámetro N).

El **regulador sin corrección** discretizado se obtiene analíticamente mediante la resolución de la ecuación diferencial PID estándar [1].

$$u(t) = K_p \left(e(t) + \frac{1}{T_i} \int e(t) dt + T_d \frac{de(t)}{dt} \right) \quad (7.2.2.1)$$

Donde $u(t)$ es la señal de control expresada en tanto por ciento, K_p es la constante proporcional, $e(t)$ es el error, T_i el tiempo integral y T_d el tiempo derivativo.

La ecuación en diferencias del algoritmo PID tomará la siguiente forma [1]:

$$u(k) = K_p \left(e(k) + \frac{T}{T_i} \sum_{k=1}^{\infty} \frac{e(k-1) + e(k)}{2} + \frac{T_d}{T} (e(k) - e(k-1)) \right) \quad (7.2.2.2)$$

Donde $u(k)$ es la señal de control expresada en tanto por ciento, K_p es la constante proporcional, $e(k)$ es el error en el instante k , $e(k-1)$ es el error en el instante $k-1$, T_i el tiempo integral y T_d el tiempo derivativo [4].

El **regulador con corrección** rige su funcionamiento por las siguientes fórmulas:

$$e(k) = r(k) - y(k) \quad (7.2.2.3)$$

$$i(k) = C_1 (e(k) + e(k-1)) + i(k-1) \quad (7.2.2.4)$$

$$d(k) = C_2 (e(k) - e(k-1)) + C_3 d(k-1) \quad (7.2.2.5)$$

$$u(k) = K * (e(k) + i(k) + d(k)) \quad (7.2.2.6)$$

Siendo C_1 , C_2 y C_3 :

$$C_1 = \frac{T_s}{2T_i} \quad (7.2.2.7)$$

$$C_2 = \frac{2T_d}{\frac{2T_d}{N} + T_s} \quad (7.2.2.8)$$

$$C_3 = \frac{\frac{2T_d}{N} - T_s}{\frac{2T_d}{N} + T_s} \quad (7.2.2.9)$$

Donde N es un parámetro de ajuste de la acción derivativa.

7.2.2.1. Regulador P

El regulador P es el controlador más sencillo que se puede implementar, ya que únicamente tiene parte proporcional y busca la regulación mediante la variación del parámetro K. El diagrama de bloques de este regulador se muestra en la siguiente imagen.

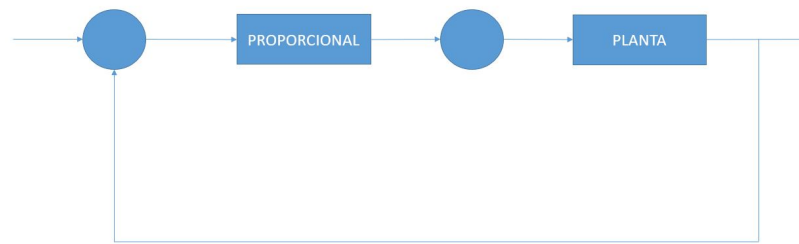


Figura 7.2.2.1 – Diagrama de bloques del regulador proporcional.

La ecuación que rige el funcionamiento de este regulador es la siguiente. Esta ecuación es común para el **regulador sin corrección** y para el **regulador con corrección** [1].

$$u(k) = K_p(e(k)) \quad (7.2.2.10)$$

7.2.2.2. Regulador PI

El regulador PI está compuesto por la acción proporcional y por la acción integral. La acción integral corrige el error de posición que se tiene con un regulador tipo P. A su vez, este introduce sobreoscilación y acerca el sistema a la inestabilidad. El diagrama de bloques de este regulador se muestra en la siguiente figura:

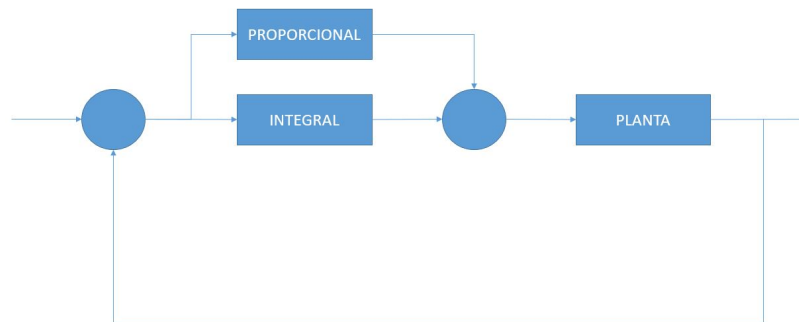


Figura 7.2.2.2 – Diagrama de bloques del regulador PI.

La ecuación que define el **regulador PI sin corrección** es la siguiente [1]:

$$u(k) = K_p \left(e(k) + \frac{T}{T_i} \sum_{k=1}^{\infty} \frac{e(k-1) + e(k)}{2} \right) \quad (7.2.2.11)$$

La ecuación que define el **regulador PI con corrección** es la siguiente [4]:

$$u(k) = K * (e(k) + i(k)) \quad (7.2.2.12)$$

7.2.2.3. Regulador PD

El regulador PD está compuesto por la acción proporcional y la acción derivativa. El uso de este regulador no es muy habitual, ya que la acción derivativa es la más difícil de controlar. El diagrama de bloques de este regulador se muestra en la siguiente imagen:

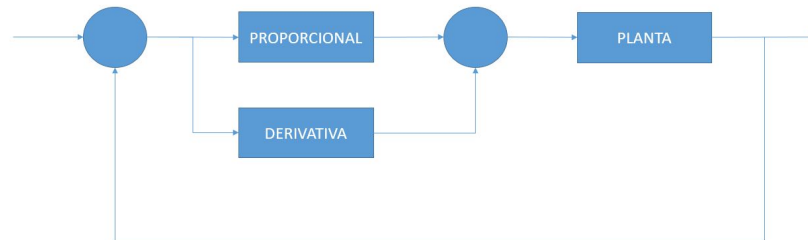


Figura 7.2.2.3 – Diagrama de bloques del regulador PD.

La ecuación que define el **regulador PD sin corrección** es la siguiente [1]:

$$u(k) = K_p \left(e(k) + \frac{T_d}{T} (e(k) - e(k-1)) \right) \quad (7.2.2.13)$$

La ecuación que define el **regulador PD con corrección** es la siguiente [4]:

$$u(k) = K * (e(k) + d(k)) \quad (7.2.2.14)$$

7.2.2.4. Regulador PID

El regulador PID está compuesto por la acción proporcional, la acción integral y la acción derivativa. La acción integral corrige el error de posición cometido por la acción proporcional, a su vez introduce sobreoscilación y acerca al sistema a la inestabilidad. La acción derivativa se encarga de mejorar los defectos introducidos por la acción integral. El diagrama de bloques de este regulador se muestra en la siguiente imagen:

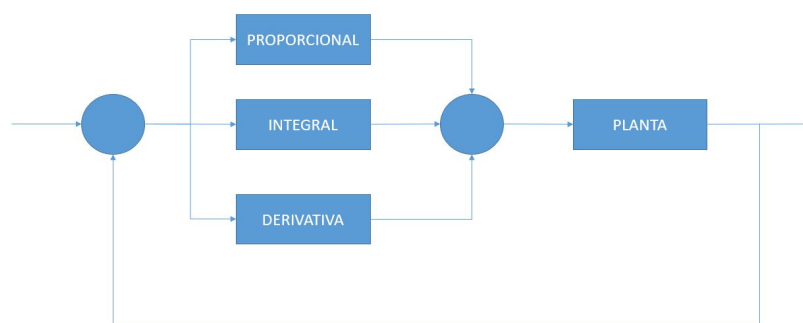


Figura 7.2.2.4 – Diagrama de bloques del regulador PID.

La ecuación 7.2.2.2 rige el funcionamiento del **regulador PID sin corrección** [1]. En el caso del **regulador PID con corrección** se hace uso de la ecuación 7.2.2.6 [4].

7.2.3. Método *Relay - Feedback*

Para hacer posible la implantación de un regulador es necesario calcular los parámetros propios del regulador K_p , T_i y T_d . Estos parámetros se calculan a partir de las características del sistema a regular. El método del relay - feedback permite hallar la ganancia crítica (K_c) y el periodo de oscilación sostenida (T_c) del sistema [2].

El método del *relay - feedback* es un método empírico que consiste en llevar al sistema al estado de oscilación mediante el uso de un relé [2].

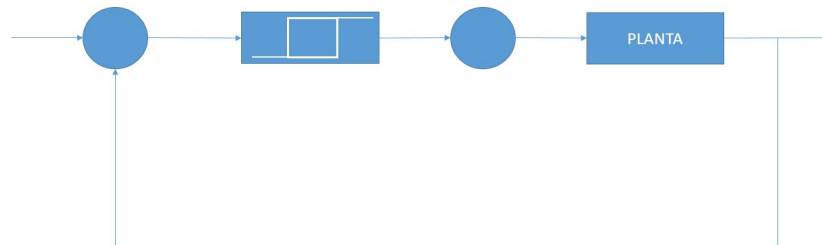


Figura 7.2.3.1 – Esquema realización Relay - Feedback.

El relé que se utiliza en el método empírico del *Relay - Feedback* ha de tener un parámetro de histéresis (h) y una amplitud (d) determinada [2].

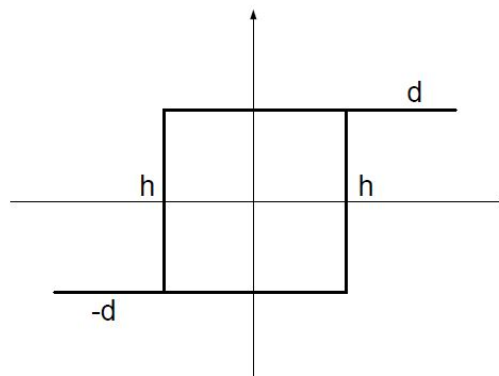


Figura 7.2.3.2 – Características del relé en el método de Relay - Feedback.

Tras realizar el método del *relay - feedback* se obtiene una señal oscilante periódica. De esta señal se hallan los parámetros T_c y a , como se muestra en la siguiente imagen:

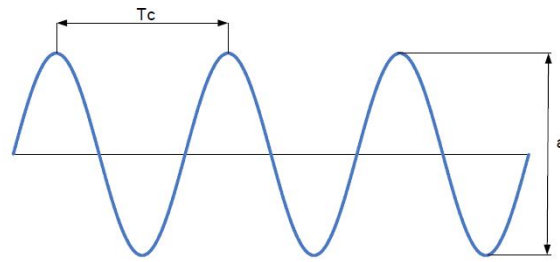


Figura 7.2.3.3 – Señal obtenida con el método de Relay - Feedback.

Para obtener el parámetro K_c se hace uso de la siguiente ecuación, en la cual aparece el término a recién calculado [2].

$$K_c = \frac{4 * d}{\pi * \sqrt{a^2 - h^2}} \quad (7.2.3.1)$$

7.2.4. Obtención de los parámetros K_p , T_i y T_d mediante la aplicación de fórmulas

Los parámetros característicos de un regulador K_p , T_i y T_d se obtienen a partir de la ganancia crítica del sistema (K_c) y del periodo de oscilación sostenida (T_c) mediante la resolución de fórmulas matemáticas. Los métodos utilizados en el presente proyecto son las *Fórmulas de Ziegler - Nichols en cadena cerrada* y las *Fórmulas de Tyreus - Luyben*.

7.2.4.1. Ziegler - Nichols [2]

A continuación se muestran las ecuaciones de la **primera aproximación del método de Ziegler - Nichols**.

Parámetro	Ecuación
K	$0,6xK_c$
T_i	$0,5xT_c$
T_d	$0,125xT_c$

Tabla 7.2.4.1 – Primera aproximación Ziegler - Nichols

La aplicación de estas fórmulas se aprueba como válida cuando se cumple la siguiente relación:

$$2 < kxK_c < 20 \quad (7.2.4.1)$$

La primera aproximación del método de Zieggler - Nichols es un buen punto de partida para diseñar un regulador, pero en la mayoría de los casos la respuesta del sistema obtenida por este método es mejorable. Con el objetivo de mejorar la respuesta del sistema nacen las fórmulas modificadas de Ziegler Nichols. Estas modificaciones intentan reducir la sobreoscilación obtenida con el método original.

Las **fórmulas de Ziegler - Nichols con poca sobreoscilación** se muestran en la siguiente tabla:

Parámetro	Ecuación
K	$0,33xK_c$
T_i	$T_c/2$
T_d	$T_c/3$

Tabla 7.2.4.2 – Fórmulas Ziegler - Nichols con poca sobreoscilación

Las **fórmulas de Ziegler - Nichols sin sobreoscilación** se muestran a continuación.

Parámetro	Ecuación
K	$0,2xK_c$
T_i	T_c
T_d	$T_c/3$

Tabla 7.2.4.3 – Fórmulas Ziegler - Nichols sin sobreoscilación

7.2.4.2. Tyreus - Luyben [2]

A continuación se muestran las ecuaciones del método de Tyreus - Luyben.

Parámetro	Ecuación
K	$0,45xK_c$
T_i	$2,2xT_c$
T_d	$T_c/6,3$

Tabla 7.2.4.4 – Fórmulas Tyreus - Lubin

8 Resultados finales

8.1. Comunicación entre Easy Java Simulations y Matlab

El primer paso para lograr el control remoto de la planta de nivel de laboratorio es realizar la comunicación entre Easy Java Simulations y Matlab.

Esta comunicación se realiza a través de un servidor creado por la Universidad Nacional de Educación a Distancia (UNED). Este servidor se denomina *RpcMatlabServer* y traduce las órdenes enviadas desde la aplicación de control a Matlab. Las órdenes son enviadas por protocolo *http*.

Las órdenes que pueden ser enviadas a través de este servidor son:

- **matlab.connect():** Con esta orden se inicia una sesión de Matlab en el ordenador local.
- **matlab.set("nombre variable","valor inicial"):** Esta orden permite declarar e inicializar variables en la sesión abierta de Matlab.
- **matlab.eval(comandos):** Permite enviar comandos para que sean ejecutados en la sesión de Matlab iniciada.
- **matlab.get("variable de Matlab"):** Permite recoger el valor de una variable utilizada en la sesión activa de Matlab.
- **matlab.disconnect():** Esta orden finaliza la sesión activa de Matlab.

La carpeta contenedora con el servidor puede estar guardada en cualquier directorio, ya que se accede a ella mediante la ventana de comandos de Windows. En este caso, el servidor se encuentra guardado en el directorio C:Es de gran importancia incluir el tipo de comunicación y el puerto empleados en la ejecución del ejecutable *RpcMatlabServer.jar*. La instrucción que inicia el servidor es la siguiente:

`java -jarRpcMatlabServer.jar -thttp -p2055`

Para lograr una conexión correcta, se debe de tener en cuenta que la dirección IP del ordenador local debe de ser pública y que el puerto utilizado (en este caso 2055) debe de estar abierto y libre.



```

C:\TFG_Daniel\jin-server-master\jin-server-master\bin\RpcMatlabServer>java -jar
RpcMtalabServer.jar -t http -p 2055
Error: Unable to access jarfile RpcMtalabServer.jar
C:\TFG_Daniel\jin-server-master\jin-server-master\bin\RpcMatlabServer>java -jar
RpcMatlabServer.jar -t http -p 2055
Server listening to http://localhost:2055

```

Figura 8.1.0.1 – Iniciar servidor a través de comandos de Windows.

Se desarrolla un *script* en un archivo de texto que permite iniciar el servidor sin necesidad de escribir la orden comentada anteriormente. Se introduce el siguiente código en el archivo de texto y se guarda con una extensión *.bat*.

```
ECHOjava -jarRpcMatlabServer.jar -thttp -p2055
```

Una vez, iniciado el servidor se debe de configurar el software de desarrollo Easy Java Simulations. Se inicia el programa y se accede a la pantalla de Elementos, situada dentro de la pestaña Modelo. Se debe de abrir la ventana de la figura 7.1.2.8. Se selecciona *SoftwareLinks* y se añade el elemento Matlab.

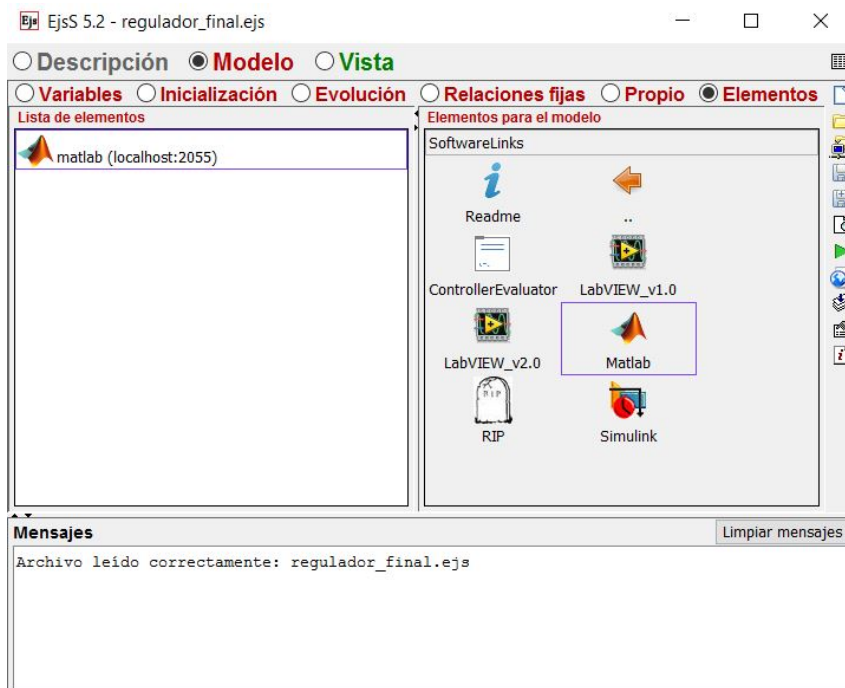


Figura 8.1.0.2 – Introducir elemento Matlab.

Para configurar el elemento Matlab se debe de realizar doble click sobre él. Tras realizar esta acción se muestra una ventana de configuración. En ella, aparece por defecto *localhost*,

puerto 2055 y comunicación *http*. En lugar de *localhost* se debe de introducir la dirección IP del ordenador local que tiene instalado el software Matlab, en este caso 193,147,32,125. El puerto que se utiliza para este proyecto es el configurado por defecto y se debe de cambiar el modo de comunicación a *http*.

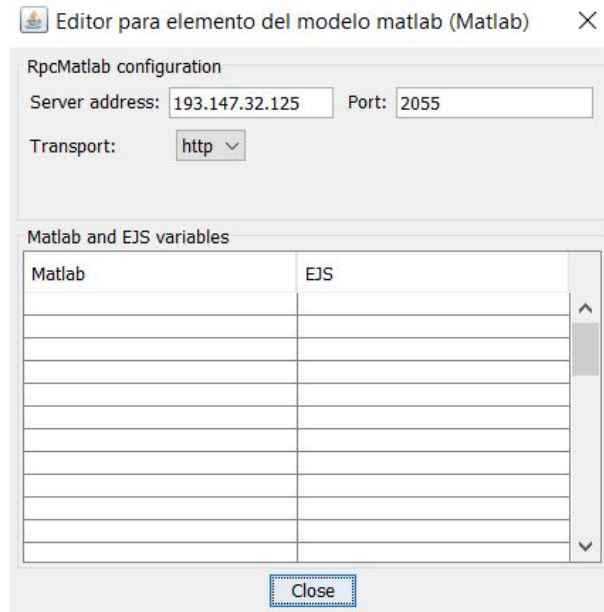


Figura 8.1.0.3 – Propiedades del elemento Matlab.

8.2. Declaración de variables en EJS

Las variables utilizadas en el proyecto se declaran en el apartado de variables en la pestaña de modelo. Cuando se accede a esta sección se muestra la pantalla de la figura 7.1.2.3.

Para el desarrollo de la aplicación de control de la planta de nivel se hace uso de las siguientes variables:

Nombre	Valor inicial	Tipo	Descripción
<i>sp</i>	50	double	Set point
<i>k</i>	0	double	Constante proporcional
<i>T_d</i>	0	double	Constante derivativa
<i>T_i</i>	0	double	Constante integral
<i>cont_aux</i>	cont_aux	string	Contador de Matlab
<i>cont</i>	0	double	Contador de Matlab
<i>reguladorP</i>	0	double	Bandera para regulador P
<i>reguladorPI</i>	0	double	Bandera para regulador PI
<i>reguladorPD</i>	0	double	Bandera para regulador PD
<i>reguladorPID</i>	0	double	Bandera para regulador PID
<i>reguladorPN</i>	0	double	Bandera para regulador P con N
<i>reguladorPIN</i>	0	double	Bandera para regulador PI con N
<i>reguladorPDN</i>	0	double	Bandera para regulador PD con N
<i>reguladorPIDN</i>	0	double	Bandera para regulador PID con N
<i>reguladorSinN</i>	0	double	Bandera para reguladores sin N
<i>reguladorConN</i>	0	double	Bandera para reguladores con N
<i>parametros_visible</i>	false	boolean	Bandera visibilidad parámetros
<i>graficas_visible</i>	false	boolean	Bandera para gráficas
<i>nivel_ejs</i>	0	double	Nivel en EJS
<i>k_string</i>	k	string	Nombre constante proporcional Matlab

Nombre	Valor inicial	Tipo	Descripción
<i>sp_string</i>	sp	string	Nombre set point Matlab
<i>T_i_string</i>	Ti	string	Nombre constante integral Matlab
<i>T_d_string</i>	Td	string	Nombre constante derivativa Matlab
<i>limpiar_grafica</i>	false	boolean	Bandera borrar gráfica
<i>min</i>	0	double	Límite inferior eje X de la gráfica
<i>max</i>	350	double	Límite superior eje X de la gráfica
<i>autoescale_x</i>	false	boolean	Bandera autoescale de la gráfica
<i>nivel_visible</i>	true	boolean	Bandera visibilidad graficar nivel
<i>sp_visible</i>	false	boolean	Bandera visibilidad graficar set point
<i>senal_control_visible</i>	false	boolean	Bandera visibilidad graficar señal de control
<i>error_visible</i>	false	boolean	Bandera visibilidad graficar error
<i>C1</i>	0	double	Parámetro C1
<i>C2</i>	0	double	Parámetro C2
<i>C3</i>	0	double	Parámetro C3
<i>C1_string</i>	C1	string	Nombre parámetro C1 Matlab
<i>C2_string</i>	C2	string	Nombre parámetro C2 Matlab
<i>C3_string</i>	C3	string	Nombre parámetro C3 Matlab
<i>N</i>	0	double	Parámetro N
<i>N_string</i>	N	string	Nombre parámetro N Matlab
<i>error_ejs</i>	0	double	Error en EJS
<i>senal_control_ejs</i>	0	double	Señal de control en EJS
<i>error_ejs</i>	0	double	Error en EJS
<i>relay_feedback</i>	false	boolean	Bandera método relay feedback
<i>ancho_ventana</i>	0	double	Parámetro ancho de ventana

Tabla 8.2.0.1 – Variables de la aplicación de control

El campo correspondiente a dimensión se deja en blanco, ya que en este proyecto no se hace uso de *arrays*.

8.3. Programación del cuerpo de la aplicación

El cuerpo del programa se desarrolla en el apartado de evolución, perteneciente a la sección modelo. Esta pantalla se muestra en la figura 7.1.2.5.

En este caso, se realiza la programación en una página de código, por lo que se desarrolla en lenguaje Java.

Se configura esta página para que se ejecute cíclicamente y con un periodo de un segundo. Para realizar esta configuración se debe de introducir un 1 en imágenes por segundo (IPS) y en pasos por visualización (PPV). Se desmarca la opción de arranque para que la evolución no se ejecute al abrir la aplicación, si no que comience mediante un comando.

Con el fin de optimizar la potencia de cálculo de matlab se utilizan matrices fijas de una dimensión de 350 elementos. Estos elementos se guardan en un fichero con extensión *.csv* cada segundo. Para graficar se hace uso del comando *line* de Matlab. Este comando utiliza menos recursos que comandos como el *plot*.

Para enviar las órdenes del regulador al ordenador local se hace uso del comando *matlab.eval()*. Con el fin de optimizar la comunicación con el ordenador local, las órdenes de los reguladores y la representación gráfica se envían en un solo comando *matlab.eval()*. Estas órdenes se deben de separar con punto y coma. Realizando esta acción, se reduce el tiempo de comunicación, ya que únicamente se envía una línea de texto.

Se debe de tener en cuenta que la aplicación de control está diseñada para su uso en el entorno de docencia, por lo que se realizan gráficas tanto en el ordenador local como en el ordenador remoto y a su vez se guardan los datos de las simulaciones en ambos equipos.

La aplicación de control ofrece la posibilidad de regular mediante reguladores sin el parámetro N y con reguladores con el parámetro N. También es posible la realización del método de *Relay - Feedback* para la obtención de los parámetros característicos del regulador.

8.3.1. Código de la implementación y representación de los reguladores

Inicialmente se incrementan los contadores de tiempo de Matlab y de EJS, se inicializa la cuenta del periodo de muestre con el comando *tic*, se guarda el tiempo de la simulación en la primera fila y el valor del nivel en la segunda fila de la variable *lectura* y se calculan los errores en el instante inicial.

Código 8.1: Inicialización de los reguladores

```
cont=cont+1;
limpiar_grafica=false;
matlab.eval("cont_aux=cont_aux+1;");
```

```
matlab.eval("tic;");
matlab.eval("lectura(1, cont_aux)=cont_aux;");
matlab.eval("lectura(2, cont_aux)=DAQ_Read();")matlab.eval("nivel_matlab=DAQ_Read;");
matlab.eval("error(1, cont_aux)=sp-lectura(2, cont_aux);");
matlab.eval("error_matlab=error(1, cont_aux);");
```

8.3.1.1. Código del instante inicial de los reguladores sin corrección

Para la implantación de los reguladores son necesarios datos en el instante anterior al instante inicial. Este dato se obtiene en la primera ejecución del programa. Tras calcular estos valores, se procede a su representación haciendo uso del comando *line*.

Código 8.2: Primera iteración de los reguladores sin corrección

```
if(reguladorSinN==true){
    if(cont==1){
        matlab.eval("u(1, cont_aux)=0;");
        matlab.eval("senal_control_matlab=u(1, cont_aux);");
        matlab.eval("integral(1, cont_aux)=error(1, cont_aux)/2;");
        matlab.eval("DAQ_Write(u(1, cont_aux), 0)");
        //Representación
        matlab.eval("figure(1)");
        matlab.eval("line([0 lectura(1, cont_aux)], [lectura(0) lectura(2, cont_aux)])");
        matlab.eval("hold on");
        matlab.eval("line([lectura(0) lectura(1, cont_aux)], [sp sp])");
        matlab.eval("xlim([0 350])");
        matlab.eval("ylim([0 100])");
        matlab.eval("pause(1-toc);");
        matlab.eval("toc");};
```

8.3.1.2. Código del regulador P sin corrección

Basándose en la ecuación 7.2.2.10, se implementa el regulador P sin corrección.

Código 8.3: Regulador P sin corrección

```
if(cont>1){
    Regulador P
    if(reguladorP==1){
        matlab.eval("u(1, cont_aux)=k*error(1, cont_aux);");
        matlab.eval("senal_control_matlab=u(1, cont_aux);");
        matlab.eval("DAQ_Write(u(1, cont_aux), 0)");
        //Representación
        matlab.eval("figure(1)");
```

```
matlab.eval("line([lectura(1,cont_aux-1) lectura(1,cont_aux)],  
[lectura(2,cont_aux-1) lectura(2,cont_aux)]");  
matlab.eval("hold on");  
matlab.eval("line([lectura(1,cont_aux-1) lectura(1,cont_aux)], [sp sp])");  
matlab.eval("xlim([0 350])");  
matlab.eval("ylim([0 100])");  
matlab.eval("pause(1-toc);");  
matlab.eval("toc");
```

8.3.1.3. Código del regulador PI sin corrección

El regulador PI sin corrección rige su funcionamiento por la ecuación 7.2.2.11.

Código 8.4: Regulador PI sin corrección

```
//Regulador PI  
if(reguladorPI==1){  
    matlab.eval("tic");  
    matlab.eval("integral(1,cont_aux)=integral(1,cont_aux-1)+(error(1,cont_aux-1)+  
error(1,cont_aux))/2;");  
    matlab.eval("u(1,cont_aux)=k*error(1,cont_aux)+k*(1/Ti)*integral(1,cont_aux)  
;");  
    matlab.eval("senal_control_matlab=u(1,cont_aux);");  
    matlab.eval("DAQ_Write(u(1,cont_aux),0)");  
    //Representación  
    matlab.eval("figure(1)");  
    matlab.eval("line([lectura(1,cont_aux-1) lectura(1,cont_aux)],  
[lectura(2,cont_aux-1) lectura(2,cont_aux)]);");  
    matlab.eval("hold on");  
    matlab.eval("line([lectura(1,cont_aux-1) lectura(1,cont_aux)], [sp sp])");  
    matlab.eval("ylim([0 100])");  
    matlab.eval("xlim([0 350])");  
    matlab.eval("pause(1-toc)");  
    matlab.eval("toc");
```

8.3.1.4. Código del regulador PD sin corrección

Haciendo uso de la ecuación 7.2.2.13, se implementa el regulador PD sin corrección.

Código 8.5: Regulador PD sin corrección

```
//Regulador PD  
if(reguladorPD==1){  
    matlab.eval("u(1,cont_aux)=k*error(1,cont_aux)+k*(Td/1)*(error(1,cont_aux)-
```

```
error(1, cont_aux-1));");
matlab.eval("senal_control_matlab=u(1, cont_aux);");
matlab.eval("DAQ_Write(u(1, cont_aux), 0)");
//Representación
matlab.eval("figure(1)");
matlab.eval("plot(lectura(1,:), lectura(2,:), '-r')");
matlab.eval("hold on");
matlab.eval("line([lectura(1, cont_aux-1) lectura(1, cont_aux)],
[lectura(2, cont_aux-1) lectura(2, cont_aux)]);");
matlab.eval("hold on");
matlab.eval("line([lectura(1, cont_aux-1) lectura(1, cont_aux)], [sp sp]);");
matlab.eval("ylim([0 100])");
matlab.eval("xlim([0 350])");
matlab.eval("pause(1-toc)");
matlab.eval("toc");
```

8.3.1.5. Código del regulador PID sin corrección

El funcionamiento del regulador PID sin corrección está descrito por la ecuación 7.2.2.2.

Código 8.6: Regulador PID sin corrección

```
//Regulador PID
if(reguladorPID==1){
    matlab.eval("tic");
    matlab.eval("integral(1, cont_aux)=integral(1, cont_aux-1)+(error(1, cont_aux-1)+
error(1, cont_aux))/2;");
    matlab.eval("u(1, cont_aux)=k*error(1, cont_aux)+k*(Td/1)*(error(1, cont_aux)-
error(1, cont_aux-1))+k*(1/Ti)*integral(1, cont_aux);");
    matlab.eval("senal_control_matlab=u(1, cont_aux);");
    matlab.eval("DAQ_Write(u(1, cont_aux), 0)");
    //Representación
    matlab.eval("figure(1)");
    matlab.eval("line([lectura(1, cont_aux-1) lectura(1, cont_aux)],
[lectura(2, cont_aux-1) lectura(2, cont_aux)]);");
    matlab.eval("hold on");
    matlab.eval("line([lectura(1, cont_aux-1) lectura(1, cont_aux)], [sp sp]);");
    matlab.eval("ylim([0 100])");
    matlab.eval("xlim([0 350])");
    matlab.eval("pause(1-toc)");
    matlab.eval("toc");
```

8.3.1.6. Código del instante inicial de los reguladores con corrección

Para la implantación de los reguladores son necesarios datos en el instante anterior al instante inicial. Este dato se obtiene en la primera ejecución del programa. Tras calcular estos

valores, se procede a su representación haciendo uso del comando *line*.

Código 8.7: Primera iteración reguladores con corrección

```
if (cont==1){
matlab.eval("u(1,cont_aux)=0;");
matlab.eval("senal_control_matlab=u(1,cont_aux);");
matlab.eval("integral(1,cont_aux)=error(1,cont_aux)*C1;");
matlab.eval("derivada(1,cont_aux)=error(1,cont_aux)*C2;");
matlab.eval("DAQ_Write(u(1,cont_aux),0)");
//Representación
matlab.eval("figure(1)");
matlab.eval("line([lectura(1,cont_aux-1) lectura(1,cont_aux)],
[lectura(2,cont_aux-1) lectura(2,cont_aux)]);");
matlab.eval("hold on");
matlab.eval("line([lectura(1,cont_aux-1) lectura(1,cont_aux)], [sp sp])");
matlab.eval("ylim([0 100])");
matlab.eval("xlim([0 350])");
matlab.eval("pause(1-toc)");
matlab.eval("toc");
```

8.3.1.7. Código del regulador P con corrección

La ecuación que rige el funcionamiento del regulador P con corrección es idéntica a la del regulador P sin corrección, por lo tanto la implementación es común para ambos casos.

8.3.1.8. Código del regulador PI con corrección

El funcionamiento del regulador PI con corrección está definido por la ecuación [7.2.2.12](#).

Código 8.8: Regulador PI con corrección

```
matlab.eval("integral(1,cont_aux)=C1*(error(1,cont_aux)+error(1,cont_aux-1))+
integral(1,cont_aux-1);");
matlab.eval("u(1,cont_aux)=k*(error(1,cont_aux)+integral(1,cont_aux));");
matlab.eval("senal_control_matlab=u(1,cont_aux);");
matlab.eval("DAQ_Write(u(1,cont_aux),0)");
//Representación
matlab.eval("figure(1)");
matlab.eval("line([lectura(1,cont_aux-1) lectura(1,cont_aux)],
[lectura(2,cont_aux-1) lectura(2,cont_aux)]);");
matlab.eval("hold on");
matlab.eval("line([lectura(1,cont_aux-1) lectura(1,cont_aux)], [sp sp])");
matlab.eval("ylim([0 100])");
matlab.eval("xlim([0 350])");
```

```
matlab.eval("pause(1-toc)");  
matlab.eval("toc");
```

8.3.1.9. Código del regulador PD con corrección

La implementación del regulador PD con corrección se realiza a partir de la ecuación 7.2.2.14.

Código 8.9: Regulador PD con corrección

```
matlab.eval("derivada(1,cont_aux)=C2*(error(1,cont_aux)+error(1,cont_aux-1))+  
C3*derivada(1,cont_aux-1);");  
matlab.eval("u(1,cont_aux)=k*(error(1,cont_aux)+derivada(1,cont_aux));");  
matlab.eval("senal_control_matlab=u(1,cont_aux);");  
matlab.eval("DAQ_Write(u(1,cont_aux),0)");  
//Representación  
matlab.eval("figure(1)");  
matlab.eval("line([lectura(1,cont_aux-1) lectura(1,cont_aux)],  
[lectura(2,cont_aux-1) lectura(2,cont_aux)]);");  
matlab.eval("hold on");  
matlab.eval("line([lectura(1,cont_aux-1) lectura(1,cont_aux)], [sp sp]);");  
matlab.eval("ylim([0 100])");  
matlab.eval("xlim([0 350])");  
matlab.eval("pause(1-toc)");  
matlab.eval("toc");
```

8.3.1.10. Código del regulador PID con corrección

La ecuación 7.2.2.6 rige el comportamiento del regulador PID con corrección.

Código 8.10: Regulador PID con corrección

```
if (reguladorPIDN==1){  
matlab.eval("integral(1,cont_aux)=C1*(error(1,cont_aux)+error(1,cont_aux-1))+  
integral(1,cont_aux-1);");  
matlab.eval("derivada(1,cont_aux)=C2*(error(1,cont_aux)+error(1,cont_aux-1))+  
C3*derivada(1,cont_aux-1);");  
matlab.eval("u(1,cont_aux)=k*(error(1,cont_aux)+  
integral(1,cont_aux)+derivada(1,cont_aux));");  
matlab.eval("senal_control_matlab=u(1,cont_aux);");  
matlab.eval("DAQ_Write(u(1,cont_aux),0)");  
//Representación  
matlab.eval("figure(1)");  
matlab.eval("line([lectura(1,cont_aux-1) lectura(1,cont_aux)],
```

```
[lectura(2,cont_aux-1) lectura(2,cont_aux)]);");  
matlab.eval("hold on");  
matlab.eval("line([lectura(1,cont_aux-1) lectura(1,cont_aux)], [sp sp])");  
matlab.eval("ylim([0 100])");  
matlab.eval("xlim([0 350])");  
matlab.eval("pause(1-toc)");  
matlab.eval("toc");
```

8.3.2. Código de la implementación del método de Relay - Feedback

Para realizar el método del Relay - Feedback es necesario someter a la planta al efecto de un relé. Esto se muestra en la figura 7.2.3.1. El código que permite emular el efecto del relé se muestra a continuación:

Código 8.11: Método Relay - Feedback

```
if(relay_feedback==true){  
    if(nivel_ejs < (sp-ancho_ventana)){  
        matlab.eval("u(1,cont_aux)=100;");  
        matlab.eval("senal_control_matlab=u(1,cont_aux);");  
        matlab.eval("DAQ_Write(u(1,cont_aux),0)");  
        //Representación  
        matlab.eval("figure(1)");  
        matlab.eval("line([lectura(1,cont_aux-1) lectura(1,cont_aux)],  
            [lectura(2,cont_aux-1) lectura(2,cont_aux)]);");  
        matlab.eval("pause(1-toc)");  
        matlab.eval("toc");  
  
    else if(nivel_ejs > (sp+ancho_ventana)){  
        matlab.eval("u(1,cont_aux)=0;");  
        matlab.eval("senal_control_matlab=u(1,cont_aux);");  
        matlab.eval("DAQ_Write(u(1,cont_aux),0)");  
        //Representación  
        matlab.eval("figure(1)");  
        matlab.eval("line([lectura(1,cont_aux-1) lectura(1,cont_aux)],  
            [lectura(2,cont_aux-1) lectura(2,cont_aux)]);");  
        matlab.eval("pause(1-toc)");  
        matlab.eval("toc");  
  
    else{  
        matlab.eval("figure(1);");  
        matlab.eval("line([lectura(1,cont_aux-1) lectura(1,cont_aux)],  
            [lectura(2,cont_aux-1) lectura(2,cont_aux)]);");  
        matlab.eval("pause(1-toc)");  
        matlab.eval("toc");  
    }  
}
```


8.3.3. Adquisición de variables de Matlab

Es necesario adquirir el valor de las variables *nivel*, *error* y *señal de control* para graficar su valor en el Easy Java Simulations. Estos valores también se almacenan en un archivo .csv. La instrucción de la que se hace uso es *matlab.get()*.

8.3.3.1. Código adquisición de la variable *nivel*

Código 8.12: Adquisición variable nivel

```
String[] varsToGet = new String[]{"nivel.matlab"};
Object[] result = matlab.get(varsToGet);
Double[] y_array = (Double[])result[0];
nivel_ejs = y_array[0].doubleValue();
```

8.3.3.2. Código adquisición de la variable *error*

Código 8.13: Adquisición variable error

```
varsToGet = new String[]{"error.matlab"};
result = matlab.get(varsToGet);
y_array = (Double[])result[0];
error_ejs = y_array[0].doubleValue();
```

8.3.3.3. Código adquisición de la variable *señal de control*

Código 8.14: Adquisición variable señal de control

```
varsToGet = new String[]{"senal.control.matlab"};
result = matlab.get(varsToGet);
y_array = (Double[])result[0];
senal_control_ejs = y_array[0].doubleValue();
```

8.3.4. Almacenamiento de datos

Se crea una base de datos en el ordenador local y una base de datos en el ordenador remoto. Las variables que se almacenan son el tiempo, el nivel del depósito, el error y la señal de control. El formato de estas bases de datos es .csv.

8.3.4.1. Código de la base de datos del ordenador remoto

Código 8.15: Base de datos en el ordenador remoto

```
//Guardar datos en fichero csv ordenador remoto
if(cont==1){
    _saveText("base_datos.csv", "Tiempo;Set Point;Nivel;Error;Senal de control\n"+cont+";
    "+sp+"; "+nivel_ejs+"; "+error_ejs+"; "+senal_control_ejs);
} else{
    memoria=_readText("base_datos.csv");
    _saveText("base_datos.csv", memoria+cont+"; "+sp+"; "+nivel_ejs+"; "+error_ejs+";
    "+senal_control_ejs+"\n");
}
```

8.3.4.2. Código de la base de datos del ordenador local

Para realizar la base de datos en el ordenador local, se crea una función en Matlab en el propio ordenador.

Código 8.16: Base de datos en el ordenador local

```
function registrar(fileID, cont_aux, sp, nivel_matlab, error_matlab,
senal_control_matlab)
fprintf(fileID, '\n%f %f %f %f %f', [cont_aux; sp; nivel_matlab;
error_matlab; senal_control_matlab;]);
end
```

Esta función es llamada con un periodo de 1 segundo y se le aportan los datos a almacenar.

Código 8.17: Función de matlab de almacenamiento de datos

```
//Guardar datos en fichero csv en ordenador local
if(cont==1){
    //matlab.eval("fileID=fopen(ruta, 'w')");
    //matlab.eval("fprintf(fileID, '%s %s %s %s %s', ['Tiempo;' 'Set Point;' 'Nivel;'
    'Error;' 'Senal de Control;']);");
    //matlab.eval("registrar(fileID, cont_aux, sp, nivel_matlab, error_matlab,
    senal_control_matlab);");
} else{
    matlab.eval("registrar(fileID, cont_aux, sp, nivel_matlab, error_matlab,
    senal_control_matlab);");
}
```

8.3.5. Código completo de la página Evolución

Código 8.18: Desarrollo completo de la página Evolución

```
cont=cont+1;
limpiar_grafica=false;
matlab.eval("cont_aux=cont_aux+1;tic;lectura(1,cont_aux)=cont_aux;
lectura(2,cont_aux)=DAQ_Read();nivel_matlab=DAQ_Read;
error(1,cont_aux)=sp-lectura(2,cont_aux);error_matlab=error(1,cont_aux);");

if(reguladorSinN==true){
if(cont==1){
matlab.eval("u(1,cont_aux)=0;senal_control_matlab=u(1,cont_aux);
integral(1,cont_aux)=error(1,cont_aux)/2;DAQ_Write(u(1,cont_aux),0);figure(1);
line([0 lectura(1,cont_aux)],[0 lectura(2,cont_aux)]);xlim([0 350]);ylim([0 100]);
pause(1-toc);toc;");
}

if(cont>1){
if(reguladorP==1){
matlab.eval("u(1,cont_aux)=k*error(1,cont_aux);senal_control_matlab=u(1,cont_aux);
DAQ_Write(u(1,cont_aux),0);figure(1);
line([lectura(1,cont_aux-1) lectura(1,cont_aux)],
[lectura(2,cont_aux-1) lectura(2,cont_aux)]);hold on;
line([lectura(1,cont_aux-1) lectura(1,cont_aux)],[sp sp]);xlim([0 350]);
ylim([0 100]);
pause(1-toc);toc;");
}
//Regulador PD
if(reguladorPD==1){
matlab.eval("u(1,cont_aux)=k*error(1,cont_aux)+k*(Td/1)*(error(1,cont_aux)-
error(1,cont_aux-1));senal_control_matlab=u(1,cont_aux);DAQ_Write(u(1,cont_aux),0);
figure(1);line([lectura(1,cont_aux-1) lectura(1,cont_aux)],
[lectura(2,cont_aux-1) lectura(2,cont_aux)]);hold on;
line([lectura(1,cont_aux-1) lectura(1,cont_aux)],
[sp sp]);xlim([0 350]);ylim([0 100]);pause(1-toc);toc;");
}

//Regulador PI
if(reguladorPI==1){
matlab.eval("integral(1,cont_aux)=integral(1,cont_aux-1)+(error(1,cont_aux-1)+
error(1,cont_aux))/2;
u(1,cont_aux)=k*error(1,cont_aux)+k*(1/Ti)*integral(1,cont_aux);
senal_control_matlab=u(1,cont_aux);
DAQ_Write(u(1,cont_aux),0);figure(1);
line([lectura(1,cont_aux-1) lectura(1,cont_aux)],
[lectura(2,cont_aux-1) lectura(2,cont_aux)]);hold on;
```

```
line([lectura(1,cont_aux-1) lectura(1,cont_aux)], [sp sp]);xlim([0 350]);
ylim([0 100]);
pause(1-toc);toc;");
}
//Regulador PID
if(reguladorPID==1){
matlab.eval("integral(1,cont_aux)=integral(1,cont_aux-1)+
(error(1,cont_aux-1)+error(1,cont_aux))/2;u(1,cont_aux)=
k*error(1,cont_aux)+k*(Td/1)*(error(1,cont_aux)-
error(1,cont_aux-1))+k*(1/Ti)*integral(1,cont_aux);
senal_control_matlab=u(1,cont_aux);
DAQ_Write(u(1,cont_aux),0);figure(1);
line([lectura(1,cont_aux-1) lectura(1,cont_aux)],
[lectura(2,cont_aux-1) lectura(2,cont_aux)]);hold on;
line([lectura(1,cont_aux-1) lectura(1,cont_aux)], [sp sp]);
xlim([0 350]);ylim([0 100]);
pause(1-toc);toc;");
}
}
}

if (reguladorConN==true){
if (cont==1){
matlab.eval("u(1,cont_aux)=0;senal_control_matlab=u(1,cont_aux);
integral(1,cont_aux)=error(1,cont_aux)*C1;
derivada(1,cont_aux)=error(1,cont_aux)*C2;DAQ_Write(u(1,cont_aux),0);
figure(1);line([lectura(1,cont_aux-1) lectura(1,cont_aux)],
[lectura(2,cont_aux-1) lectura(2,cont_aux)]);hold on;
line([lectura(1,cont_aux-1) lectura(1,cont_aux)], [sp sp]);
xlim([0 350]);ylim([0 100]);
pause(1-toc);toc;");
}

if (cont>1){
if (reguladorPN==1){
matlab.eval("u(1,cont_aux)=k*(error(1,cont_aux));senal_control_matlab=
u(1,cont_aux);
DAQ_Write(u(1,cont_aux),0);figure(1);
line([lectura(1,cont_aux-1) lectura(1,cont_aux)],
[lectura(2,cont_aux-1) lectura(2,cont_aux)]);hold on;
line([lectura(1,cont_aux-1) lectura(1,cont_aux)], [sp sp]);xlim([0 350]);
ylim([0 100]);pause(1-toc);toc;");
}

if (reguladorPDN==1){
matlab.eval("derivada(1,cont_aux)=C2*(error(1,cont_aux)+error(1,cont_aux-1))+
C3*derivada(1,cont_aux-1);u(1,cont_aux)=k*(error(1,cont_aux)+derivada(1,cont_aux));
senal_control_matlab=u(1,cont_aux);DAQ_Write(u(1,cont_aux),0);figure(1);
line([lectura(1,cont_aux-1) lectura(1,cont_aux)],
[lectura(2,cont_aux-1) lectura(2,cont_aux)]);hold on;
line([lectura(1,cont_aux-1) lectura(1,cont_aux)], [sp sp]);xlim([0 350]);
```

```

ylim([0 100]);
pause(1-toc);toc;");
}
if (reguladorPIN==1){
matlab.eval("integral(1,cont_aux)=C1*(error(1,cont_aux)+error(1,cont_aux-1))+
integral(1,cont_aux-1);u(1,cont_aux)=k*(error(1,cont_aux)+integral(1,cont_aux));
senal_control_matlab=u(1,cont_aux);DAQ_Write(u(1,cont_aux),0);figure(1);
line([lectura(1,cont_aux-1) lectura(1,cont_aux)],
[lectura(2,cont_aux-1) lectura(2,cont_aux)]);hold on;
line([lectura(1,cont_aux-1) lectura(1,cont_aux)], [sp sp]);xlim([0 350]);
ylim([0 100]);
pause(1-toc);toc;");
}
if (reguladorPIDN==1){
matlab.eval("integral(1,cont_aux)=C1*(error(1,cont_aux)+error(1,cont_aux-1))+
integral(1,cont_aux-1);derivada(1,cont_aux)=C2*(error(1,cont_aux)+
error(1,cont_aux-1))+C3*derivada(1,cont_aux-1);u(1,cont_aux)=k*(error(1,cont_aux)+
integral(1,cont_aux)+derivada(1,cont_aux));senal_control_matlab=u(1,cont_aux);
DAQ_Write(u(1,cont_aux),0);figure(1);
line([lectura(1,cont_aux-1) lectura(1,cont_aux)],
[lectura(2,cont_aux-1) lectura(2,cont_aux)]);hold on;
line([lectura(1,cont_aux-1) lectura(1,cont_aux)], [sp sp]);xlim([0 350]);
ylim([0 100]);
pause(1-toc);toc;");
}
}
}

if(relay_feedback==true){
if(nivel_ejs < (sp-ancho_ventana)){
matlab.eval("u(1,cont_aux)=100;senal_control_matlab=u(1,cont_aux);
DAQ_Write(u(1,cont_aux),0);
figure(1);line([lectura(1,cont_aux-1) lectura(1,cont_aux)],
[lectura(2,cont_aux-1) lectura(2,cont_aux)]);xlim([0 350]);ylim([0 100]);
pause(1-toc);toc;");
}

else if(nivel_ejs > (sp+ancho_ventana)){
matlab.eval("u(1,cont_aux)=0;senal_control_matlab=u(1,cont_aux);
DAQ_Write(u(1,cont_aux),0);figure(1);
line([lectura(1,cont_aux-1) lectura(1,cont_aux)],
[lectura(2,cont_aux-1) lectura(2,cont_aux)]);xlim([0 350]);
ylim([0 100]);pause(1-toc);toc;");
}

else{matlab.eval("figure(1);line([lectura(1,cont_aux-1) lectura(1,cont_aux)],
[lectura(2,cont_aux-1) lectura(2,cont_aux)]);xlim([0 350]);ylim([0 100]);
pause(1-toc);toc;");}
}

//Recogida de datos
String[] varsToGet = new String[]{"nivel_matlab"};

```

```
Object[] result = matlab.get(varsToGet);
Double[] y_array = (Double[])result[0];
nivel_ejs = y_array[0].doubleValue();

varsToGet = new String[]{"error_matlab"};
result = matlab.get(varsToGet);
y_array = (Double[])result[0];
error_ejs = y_array[0].doubleValue();

varsToGet = new String[]{"senal_control_matlab"};
result = matlab.get(varsToGet);
y_array = (Double[])result[0];
senal_control_ejs = y_array[0].doubleValue();

//Guardar datos en fichero csv ordenador remoto
if(cont==1){
    _saveText("base_datos.csv", "Tiempo;Set Point;Nivel;Error;
    Senal de control\n"+cont+";"+sp+";"+nivel_ejs+";
    "+error_ejs+";"+senal_control_ejs);
} else {
    memoria=_readText("base_datos.csv");
    _saveText("base_datos.csv",memoria+cont+";"+sp+";"+nivel_ejs+";"+error_ejs+";"+
    senal_control_ejs+"\n");
}

//Guardar datos en fichero csv en ordenador local
if(cont==1){
    matlab.eval("fileID=fopen(ruta, 'w');fprintf(fileID, '%s %s %s %s %s', ['Tiempo;'
    'Set Point;'
    'Nivel;' 'Error;' 'Senal deControl;']);registrar(fileID, cont_aux, sp, nivel_matlab,
    error_matlab, senal_control_matlab);");
} else {
    matlab.eval("registrar(fileID, cont_aux, sp, nivel_matlab,
    error_matlab, senal_control_matlab);");
}
```

8.4. Interface de la aplicación

La *interface* de la aplicación de control se compone por cinco pantallas: pantalla principal, pantalla de inserción de los parámetros propios del regulador, pantalla de inserción de la consigna y del parámetro corrector N, pantalla de inserción de los parámetros para el método del Relay - Feedback y la pantalla de gráficos.

8.4.1. Pantalla principal

La pantalla principal se muestra en la siguiente imagen:

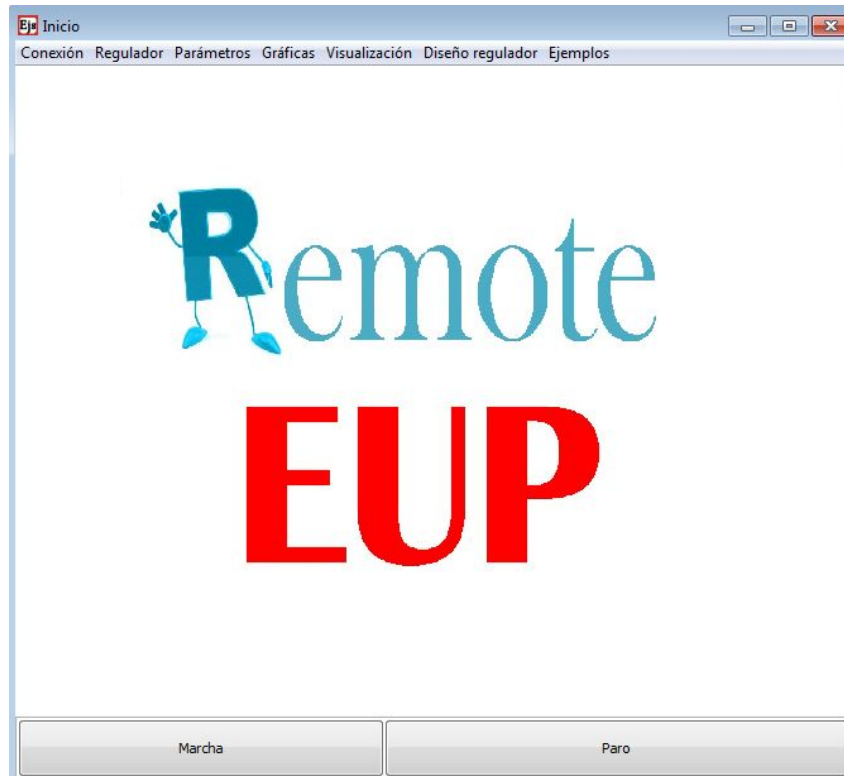


Figura 8.4.1.1 – Pantalla principal de la aplicación de control.

La pantalla principal la compone un menú de navegación (Conexión, Regulador, Parámetros, Gráficas, Visualización, Diseño regulador y Ejemplos), el logo de la aplicación de control y los botones de marcha y paro del regulador.

8.4.1.1. Menu: Conexión

El menú conexión es desplegable y permite el inicio y el cierre de una sesión de Matlab en el ordenador local.



Figura 8.4.1.2 – Sub-menú Conexión.

En el **Botón Conectar** se programa la conexión con Matlab, se declaran e inicializan las variables y se inicia la comunicación con la tarjeta de adquisición de datos.

Código 8.19: Botón Conectar

```
//Conexión con Matlab  
matlab.connect();
```

```
//Declaracion en Matlab
matlab.eval("lectura=zeros([2,350]);");
matlab.eval("error=zeros([1,350]);");
matlab.eval("u=zeros([1,350]);");
matlab.eval("integral=zeros([1,350]);");
matlab.eval("derivada=zeros([1,350]);");

matlab.eval("nombre='prueba';");

//Inicialización de variables
matlab.set(cont_aux,0);

//Iniciación de la tarjeta DAQ
matlab.eval("DAQ_Start");
```

En el **Botón Desconectar**, se escribe una señal de control nula sobre el sistema, se detiene la comunicación con la tarjeta de adquisición de datos y se cierra la sesión activa de Matlab.

Código 8.20: Botón desconectar

```
//Desconexión
matlab.eval("DAQ_Write(0,0)");
matlab.eval("DAQ_Stop");
matlab.disconnect();
```

8.4.1.2. Menú: Regulador

En el menú Regulador se elige el regulador a implementar. Las opciones que se ofrecen son el regulador PID sin corrección y sus simplificaciones y el regulador PID con corrección y sus simplificaciones.

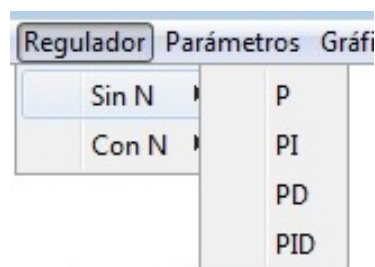


Figura 8.4.1.3 – Sub-menú Regulador.

La programación de los botones de elección de los reguladores es similar para todos los casos. Se indica si se ha elegido un regulador con corrección o sin corrección y el tipo de

regulador que se ha escogido.

El código del **Botón del regulador P sin N** es el siguiente:

Código 8.21: Botón regulador P sin N

```
reguladorP=1;
reguladorPI=0;
reguladorPD=0;
reguladorPID=0;

reguladorSinN=true;
reguladorConN=false;
relay_feedback=false;
```

El código del **Botón del regulador PI sin N** se muestra a continuación:

Código 8.22: Botón regulador PI sin N

```
reguladorP=0;
reguladorPI=1;
reguladorPD=0;
reguladorPID=0;

reguladorSinN=true;
reguladorConN=false;
relay_feedback=false;
```

El **Botón del regulador PD sin N** contiene el siguiente código:

Código 8.23: Botón regulador PD sin N

```
reguladorP=0;
reguladorPI=0;
reguladorPD=1;
reguladorPID=0;

reguladorSinN=true;
reguladorConN=false;
relay_feedback=false;
```

El código del **Botón del regulador PID sin N** es el siguiente:

Código 8.24: Botón regulador PID sin N

```
reguladorP=0;
reguladorPI=0;
reguladorPD=0;
reguladorPID=1;

reguladorSinN=true;
reguladorConN=false;
relay_feedback=false;
```

El código del **Botón del regulador P con N** es el siguiente:

Código 8.25: Botón regulador P con N

```
reguladorPN=1;
reguladorPIN=0;
reguladorPDN=0;
reguladorPIDN=0;

reguladorSinN=false;
reguladorConN=true;
relay_feedback=false;
```

El código del **Botón del regulador PI con N** se muestra a continuación:

Código 8.26: Botón regulador PI con N

```
reguladorPN=0;
reguladorPIN=1;
reguladorPDN=0;
reguladorPIDN=0;

reguladorSinN=false;
reguladorConN=true;
relay_feedback=false;
```

El **Botón del regulador PD con N** contiene el siguiente código:

Código 8.27: Botón regulador PD con N

```
reguladorPN=0;
reguladorPIN=0;
```

```
reguladorPDN=1;  
reguladorPIDN=0;  
  
reguladorSinN=false;  
reguladorConN=true;  
relay_feedback=false;
```

El código del **Botón del regulador PID con N** es el siguiente:

Código 8.28: Botón regulador PID con N

```
reguladorPN=0;  
reguladorPIN=0;  
reguladorPDN=0;  
reguladorPIDN=1;  
  
reguladorSinN=false;  
reguladorConN=true;  
relay_feedback=false;
```

8.4.1.3. Menú: Parámetros

El menú de Parámetros contiene un sub-menú que permite abrir las ventanas de inserción de parámetros para el regulador seleccionado o para el método del Relay - Feedback.

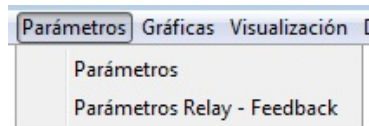


Figura 8.4.1.4 – Sub-menú Parámetros.

En el **Botón Parámetros** se activa una variable para abrir la ventana de inserción de parámetros del regulador.

Código 8.29: Botón parámetros

```
parametros_visible=true;  
parametros_RF_visible=false;
```

En el **Botón Parámetros Relay - Feedback** se activa una variable que rige la apertura y el cierre de la ventana de inserción de parámetros del método de Relay - Feedback.

Código 8.30: Botón parámetros Relay - Feedback

```
parametros_RF_visible=true;  
parametros.visible=false;
```

8.4.1.4. Menú: Gráficas

Desde el menú de gráficas se permite la apertura de la ventana de gráficas.

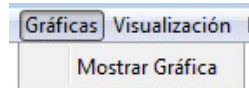


Figura 8.4.1.5 – Sub-menú Gráfica.

En el **Botón de Mostrar Gráfica** se activa una variable para permitir la apertura de la ventana de gráficas.

Código 8.31: Botón mostrar gráfica

```
graficas.visible=true;
```

8.4.1.5. Menú: Visualización

En el menú de Visualización se permite ver en directo el estado de la planta. Esta visualización se realiza a través del explorador de internet predeterminado del usuario.

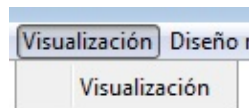


Figura 8.4.1.6 – Sub-menú Visualización.

En el **Botón de Visualización** se programa mediante código Java la apertura del explorador predeterminado en la URL de transmisión de la WebCam.

Código 8.32: Botón Visualización

```
try {  
Desktop.getDesktop().browse(new URI("http://193.147.32.125:85/"));  
} catch (Exception ex) {  
JOptionPane.showMessageDialog(null, "No se ha podido cargar la página");  
}
```

8.4.1.6. Menú: Diseño regulador

En el menú de Diseño de regulador se permite seleccionar el método del Relay - Feedback para la obtención de los parámetros propios del regulador.

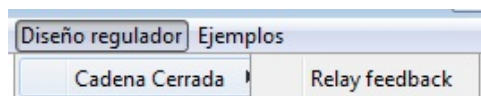


Figura 8.4.1.7 – Sub-menú Diseño.

En el **Botón Relay - feedback** se activa una variable que indica la selección del método.

Código 8.33: Botón Relay - Feedback

```
relay_feedback=true;  
reguladorSinN=false;  
reguladorConN=false;
```

8.4.1.7. Menú: Ejemplos

El menú de ejemplos contiene un sub-menú que permite elegir las ecuaciones utilizadas para la obtención de los parámetros propios del regulador. Se puede elegir entre: Ziegler - Nichols, Ziegler - Nichols No Overshoot, Ziegler - Nichols Some Overshoot y Tyreus - Luyben. Los reguladores implementados en los ejemplos son PID sin corrección.



Figura 8.4.1.8 – Sub-menú Ejemplos.

El código del **Botón Ziegler - Nichols** es el siguiente:

Código 8.34: Botón Ziegler - Nichols

```
reguladorSinN=true;  
reguladorPID=1;  
  
sp=50;  
k=1.25;
```

```
Ti=15;  
Td=3.75;  
matlab.set(k_string,k);  
matlab.set(Ti_string,Ti);  
matlab.set(Td_string,Td);  
matlab.set(sp_string,sp);
```

El **Botón Z&N No Overshoot** contiene el siguiente código:

Código 8.35: Botón Z&N No Overshoot

```
reguladorSinN=true;  
reguladorPID=1;  
  
sp=50;  
k=0.42;  
Ti=30;  
Td=10;  
matlab.set(k_string,k);  
matlab.set(Ti_string,Ti);  
matlab.set(Td_string,Td);  
matlab.set(sp_string,sp);
```

El código del **Botón Z&N Some Overshoot** se muestra a continuación:

Código 8.36: Botón Z&N Some Overshoot

```
reguladorSinN=true;  
reguladorPID=1;  
  
sp=50;  
k=0.69;  
Ti=15;  
Td=10;  
matlab.set(k_string,k);  
matlab.set(Ti_string,Ti);  
matlab.set(Td_string,Td);  
matlab.set(sp_string,sp);
```

El **Botón Tyreus - Luyben** contiene el siguiente código:

Código 8.37: Botón Tyreus - Luyben

```
reguladorSinN=true;
```

```
reguladorPID=1;  
  
sp=50;  
k=0.943;  
Ti=66;  
Td=4.762;  
matlab.set(k_string,k);  
matlab.set(Ti_string,Ti);  
matlab.set(Td_string,Td);  
matlab.set(sp_string,sp);
```

8.4.1.8. Panel de Mando: Marcha

En el botón de marcha se limpia la gráfica, se inicializan los ejes de la misma y se pone en marcha la simulación.

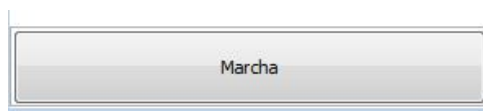


Figura 8.4.1.9 – Panel de Mando: Marcha.

El código que contiene el botón de marcha se muestra a continuación:

Código 8.38: Botón marcha

```
//Limpiar gráficas  
min=0;  
max=350;  
limpiar_grafica=true;  
matlab.eval("cla reset");  
matlab.eval("archivo.ruta");  
_play()
```

8.4.1.9. Panel de Mando: Paro

En el botón de paro se inicializan todas las variables del proceso y se para la simulación.

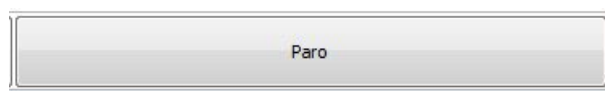


Figura 8.4.1.10 – Panel de Mando: Paro.

El botón de paro contiene el siguiente código:

Código 8.39: Botón Paro

```
matlab.eval("DAQ_Write(0,0)");
matlab.eval("sp=0;");
matlab.eval("k=0;");
matlab.eval("Ti=0;");
matlab.eval("Td=0;");
matlab.eval("C1=0;");
matlab.eval("C2=0;");
matlab.eval("C3=0;");
matlab.eval("N=0;");
matlab.eval("ancho_ventana=0;");
matlab.eval("lectura=zeros([2,350]);");
matlab.eval("error=zeros([1,350]);");
matlab.eval("u=zeros([1,350]);");
matlab.eval("integral=zeros([1,350]);");
matlab.eval("derivada=zeros([1,350]);");
matlab.eval("nivel_ejs=0;");
matlab.eval("error_ejs=0;");
matlab.eval("senal_control_ejs=0;");
matlab.set(cont_aux,0);
cont=0;
reguladorP=0;
reguladorPI=0;
reguladorPD=0;
reguladorPID=0;
reguladorPN=0;
reguladorPIN=0;
reguladorPDN=0;
reguladorPIDN=0;
relay_feedback=false;
reguladorSinN=false;
reguladorConN=false;
matlab.eval("fclose(fileID);");
_pause()
```

8.4.2. Ventana inserción parámetros del Regulador

La pantalla de inserción de los parámetros del regulador se abre al realizar click sobre el botón *Parámetros*, mostrado en la figura 8.4.1.4.

El aspecto de esta pantalla se muestra a continuación:

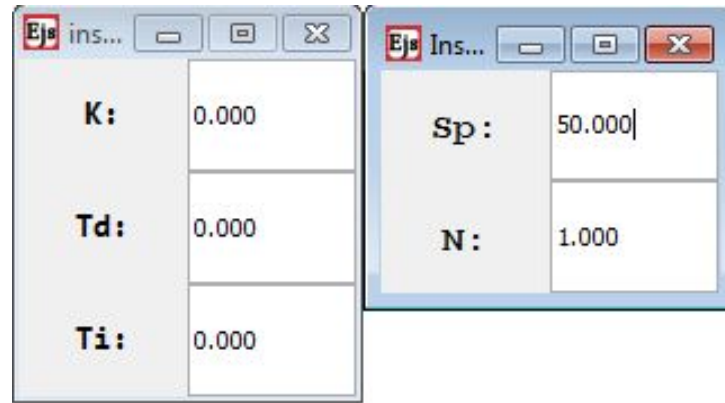


Figura 8.4.2.1 – Ventana de inserción de parámetros del Regulador.

Esta ventana se muestra cuando se cumple la condición *variables_visible=true*. Está formada por 5 campos de inserción de valor: k, Td, Ti, Sp y N.

Las propiedades que muestra un campo numérico son las siguientes:

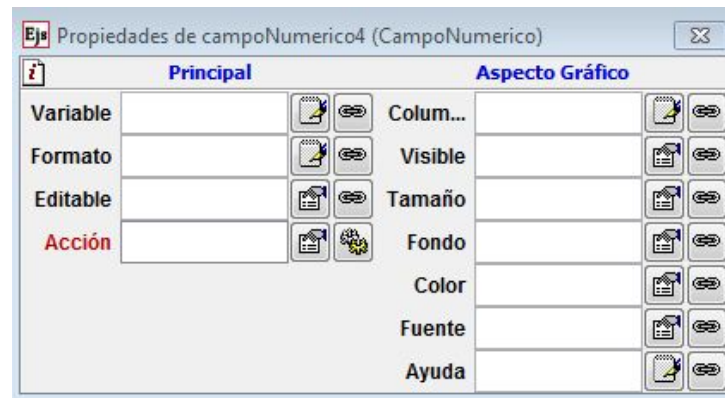


Figura 8.4.2.2 – Ventana configuración campo numérico.

8.4.2.1. Campo de inserción parámetro K

En el campo de inserción del parámetro K se configuran los elementos *variable* y *Acción*. En el apartado *variable* se inserta la variable k y en el apartado *Acción* se introduce el siguiente código:

Código 8.40: Campo de inserción del parámetro K

```
matlab.set(k_string,k);
```

8.4.2.2. Campo de inserción parámetro Td

En el campo de inserción del parámetro Td se configura el elemento *Variable* con la variable Td y en el elemento *Acción* se inicializa el valor Td y se calcula el valor de la variable C2 y C3 si el parámetro N es distinto de 0.

Código 8.41: Campo de inserción del parámetro Td

```
matlab.set(Td_string,Td);

if(N!=0){
C2=(2*Td)/(2*(Td/N)+1);
C3=((2*Td/N)-1)/((2*Td/N)+1);
matlab.set(C2_string,C2);
matlab.set(C3_string,C3);
}
```

8.4.2.3. Campo de inserción parámetro Ti

En el campo de inserción del parámetro Ti se configura el elemento *Variable* con la variable Ti y en el elemento *Acción* se introduce el siguiente código:

Código 8.42: Campo de inserción del parámetro Ti

```
matlab.set(Ti_string,Ti);

if(Ti!=0){
C1=1/(2*Ti);
matlab.set(C1_string,C1);
}
```

8.4.2.4. Campo de inserción Consigna

En el campo de inserción de la consigna se asocia la variable sp al elemento *Variable* y en el elemento *acción* se inicializa esta variable en Matlab.

Código 8.43: Campo de inserción de la consigna

```
matlab.set(sp_string,sp);
```

8.4.2.5. Campo de inserción parámetro N

En el campo de inserción del parámetro N se asocia la variable N con el elemento *Variable* y en el elemento *Acción* se inicializa esta variable y las variables C1 y C2 en Matlab.

Código 8.44: Campo de inserción del parámetro N

```
matlab.set(N_string,N);

if (C2!=0) {
C2=(2*Td)/(2*(Td/N)+1);
matlab.set(C2_string,C2);
}
if (C3!=0) {
C3=((2*Td/N)-1)/((2*Td/N)+1);
matlab.set(C3_string,C3);
}
```

8.4.3. Ventana de inserción de parámetros de Relay - Feedback

La ventana de inserción de los parámetros de Relay - Feedback se muestra cuando la variable *parametros_RF_visible=true*. En esta ventana se insertan el valor de las variables necesarias para la realización del método de Relay - Feedback.

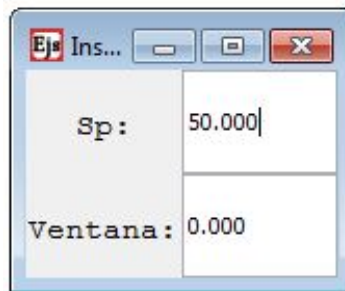


Figura 8.4.3.1 – Ventana inserción parámetros Relay - Feedback.

Esta ventana se compone por dos campos numéricos de inserción, uno está destinado a la consigna y el otro al ancho de ventana.

8.4.3.1. Campo de inserción de la consigna

La configuración del campo de inserción de la consigna es similar al explicado con anterioridad en la ventana de inserción de parámetros del regulador.

8.4.3.2. Campo de inserción del ancho de ventana

En el campo de inserción del ancho de ventana se vincula la propiedad *Variable* a la variable *ancho_ventana*. La propiedad de *Acción* se configura con el siguiente código:

Código 8.45: Campo de inserción del ancho de ventana

```
matlab.set(ancho_ventana_string,ancho_ventana);
```

8.4.4. Pantalla de gráficos

La pantalla de gráficos está destinada a mostrar la evolución de las señales nivel, consigna, error y señal de control. El aspecto de esta ventana se muestra en la siguiente imagen:

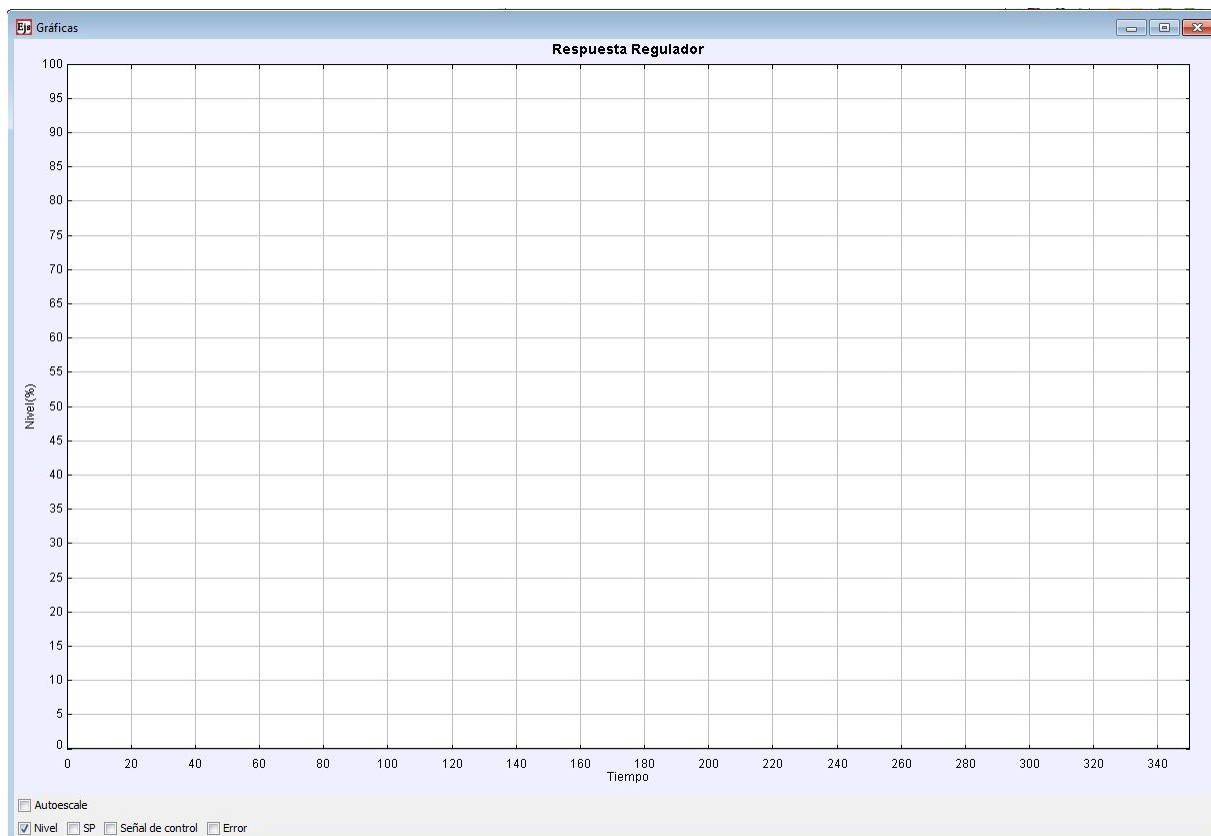


Figura 8.4.4.1 – Ventana de Gráficos.

Esta ventana está compuesta por un panel con ejes, de 4 trazas (una por señal) y un menú situado en la parte inferior que permite seleccionar las variables que se deben de mostrar y permite accionar la propiedad Autoescale. La variable que rige la apertura de esta ventana es *graficos_visible=true*.

8.4.4.1. Panel con ejes

El panel con ejes permite la configuración de las siguientes propiedades:

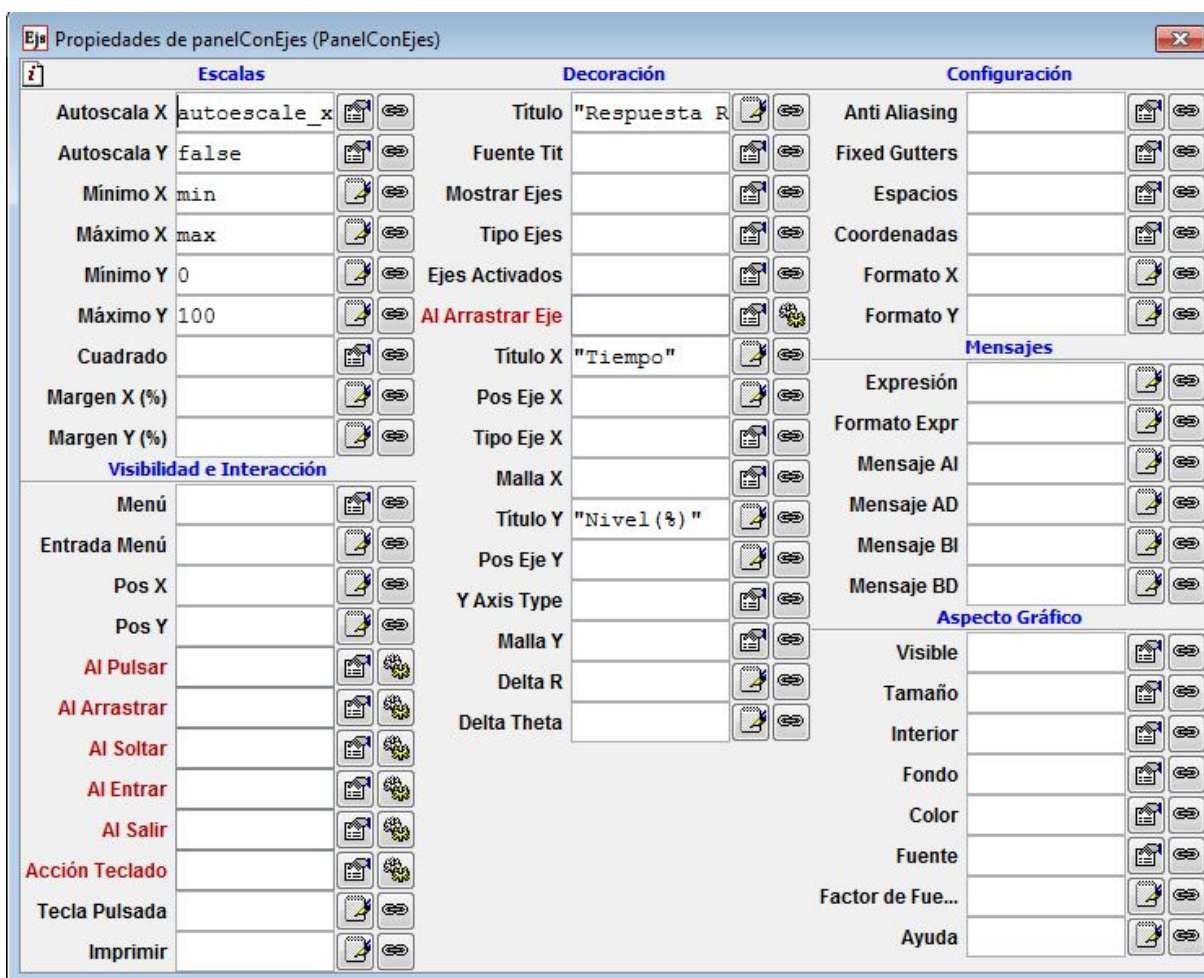


Figura 8.4.4.2 – Ventana de propiedades de panel con ejes.

En este caso se configura:

- **Autoscala X:** autoescale_x
- **Autoscala Y:** false
- **Mínimo X:** min
- **Máximo X:** max
- **Mínimo Y:** 0
- **Máximo Y:** 100
- **Título:** Respuesta Regulador
- **Título X:** Tiempo
- **Título Y:** Nivel(%)

8.4.4.2. Trazas

Se introducen cuatro trazas en el elemento panel con ejes para representar la respuesta de las variables nivel, error, set point y señal de control.

Las propiedades que se pueden configurar en el elemento traza se muestran en la imagen siguiente:

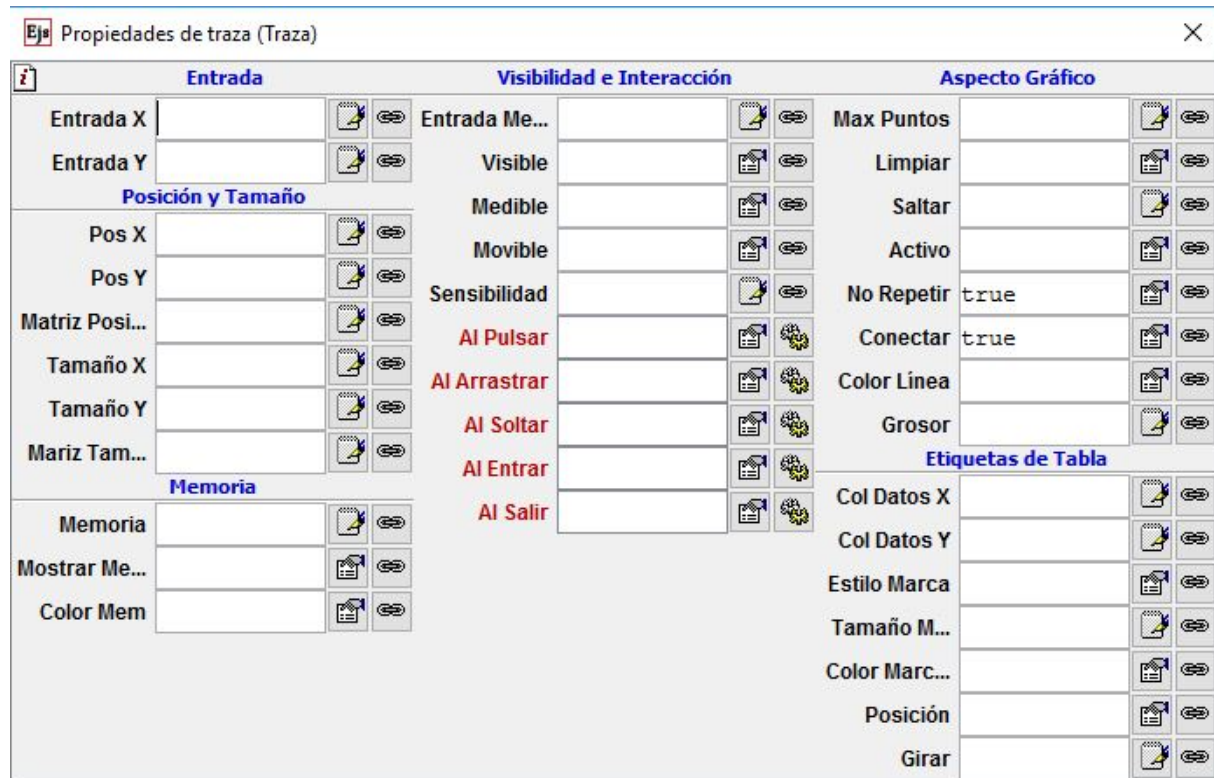


Figura 8.4.4.3 – Ventana de propiedades del elemento traza.

La configuración para la traza de la variable nivel es la siguiente:

- **Entrada X:** cont
- **Entrada Y:** nivel_ejs
- **Visible:** nivel_visible
- **Limpiar:** limpiar_gráfica
- **Color Línea:** Red

La traza de la variable set point es la siguiente:

- **Entrada X:** cont
- **Entrada Y:** sp
- **Visible:** SP_visible
- **Limpiar:** limpiar_gráfica

- **Color Línea:** Blue

Los parámetros configurados en la traza de la variable error es la siguiente:

- **Entrada X:** cont
- **Entrada Y:** error_ejs
- **Visible:** error_visible
- **Limpiar:** limpiar_gráfica
- **Color Línea:** Magenta

La traza de la variable señal de control muestra la siguiente configuración:

- **Entrada X:** cont
- **Entrada Y:** senal_control_ejs
- **Visible:** senal_control_visible
- **Limpiar:** limpiar_gráfica
- **Color Línea:** Green

8.4.4.3. Casillas de Selección de trazas

En la parte inferior de la ventana de gráficos se encuentra cuatro casillas de verificación que rigen la visibilidad de las trazas.

La pantalla de configuración de las casillas de verificación se muestra a continuación:



Figura 8.4.4.4 – Ventana de propiedades de la casilla de verificación.

La configuración que se realiza para la casilla de verificación de la variable nivel es la siguiente:

- **Variable:** nivel_visible
- **Selección:** true

- **Texto:** Nivel
- **Acción Si:** nivel_visible=true
- **Acción No:** nivel_visible=false

La casilla de verificación de la variable set point presenta la siguiente configuración:

- **Variable:** sp_visible
- **Selección:** false
- **Texto:** SP
- **Acción Si:** sp_visible=true
- **Acción No:** sp_visible=false

La configuración de la casilla de verificación de la variable señal de control es la siguiente:

- **Variable:** senal_control_visible
- **Selección:** false
- **Texto:** Señal de Control
- **Acción Si:** senal_control_visible=true
- **Acción No:** senal_control_visible=false

La casilla de verificación de la variable error se muestra a continuación:

- **Variable:** error_visible
- **Selección:** false
- **Texto:** Error
- **Acción Si:** error_visible=true
- **Acción No:** error_visible=false

8.4.4.4. Casilla de Selección de Autoscale

En la parte inferior se encuentra una casilla de selección de Autoscale. Con la opción Autoscale seleccionada, el Eje X del gráfico será variable, mientras que si no se selecciona este eje será fijo.

La pantalla de configuración de la casilla de verificación se muestra en la imagen 8.4.4.4.

La configuración de la casilla de selección Autoscale es la siguiente:

- **Variable:** autoescale_x
- **Selección:** false

- **Texto:** Autoscale
- **Acción Si:** autoescale_x=true
- **Acción No:** autoescale_x=false

La gestión de esta función se realiza en el apartado de relaciones fijas. Esta gestión consiste en ubicar los límites del eje X cuando se de-selecciona la opción Autoscale.

El código de esta función es el siguiente:

```
//Ajuste del autoscale
if(cont==max && autoescale_x==false){,caption=Autoescale
min=min+350;
max=max+350;
}
```

8.5. Funcionamiento de Remote EUP

Al abrir Remote EUP se muestra la pantalla principal mostrada en la figura 8.4.1.1. En primer lugar se inicia una sesión de Matlab, para ello accedemos a Conexión – Conectar.

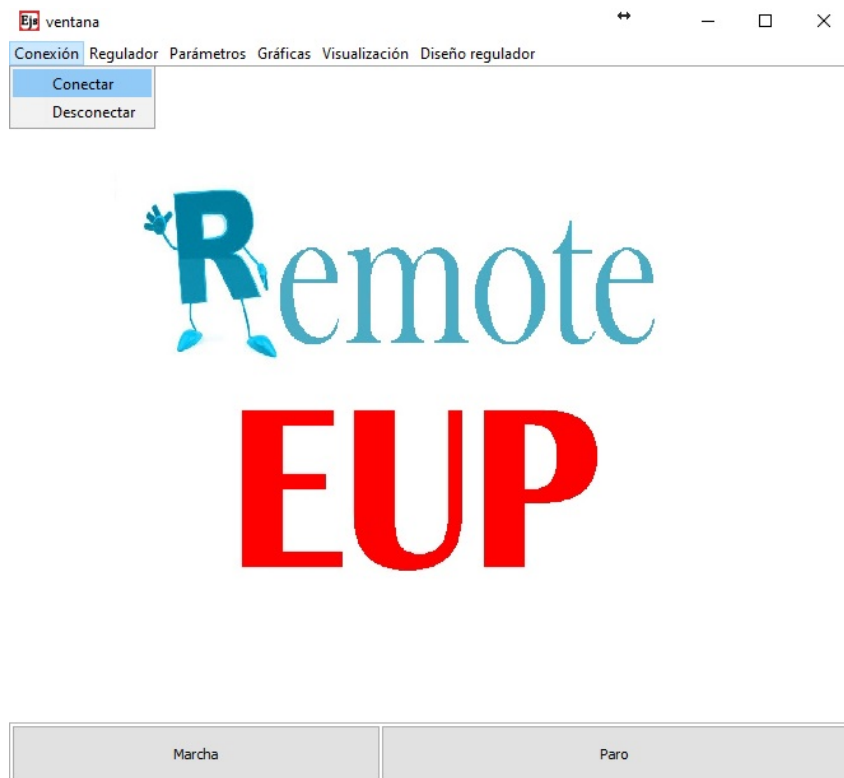


Figura 8.5.0.1 – Inicio de sesión de Matlab.

Tras el inicio de sesión en Matlab, se obtienen los parámetros del regulador por el método de Relay Feedback. Se accede a Diseño Regulador – Cadena Cerrada – Relay - Feedback.

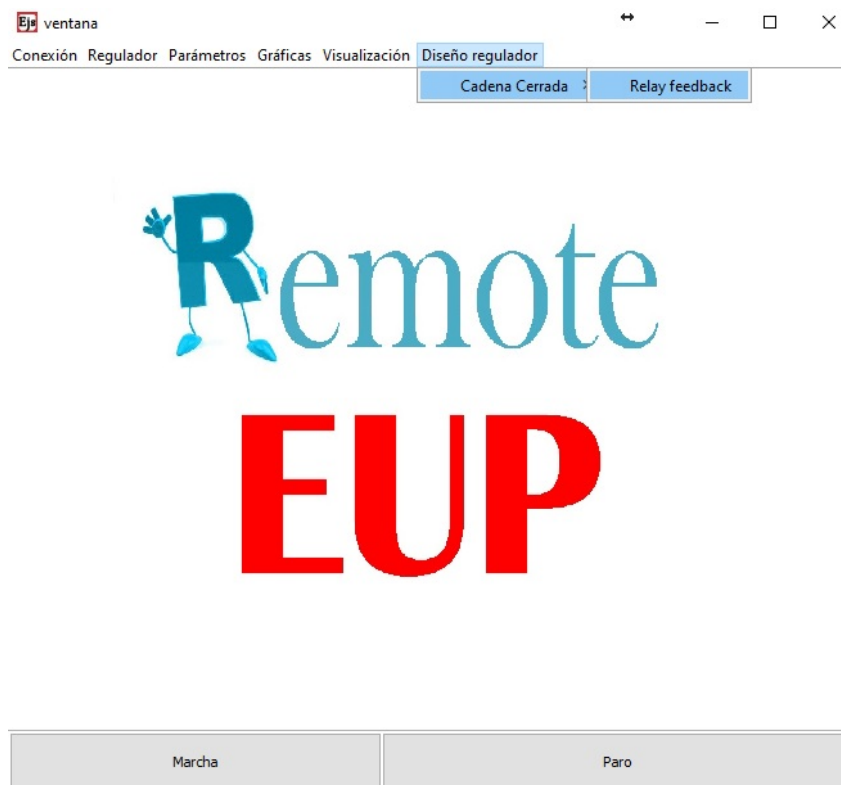


Figura 8.5.0.2 – Selección del método de Relay - Feedback.

A continuación se insertan los parámetros para la realización de este método. Para ello se accede a Parámetros – Parámetros Relay - Feedback.

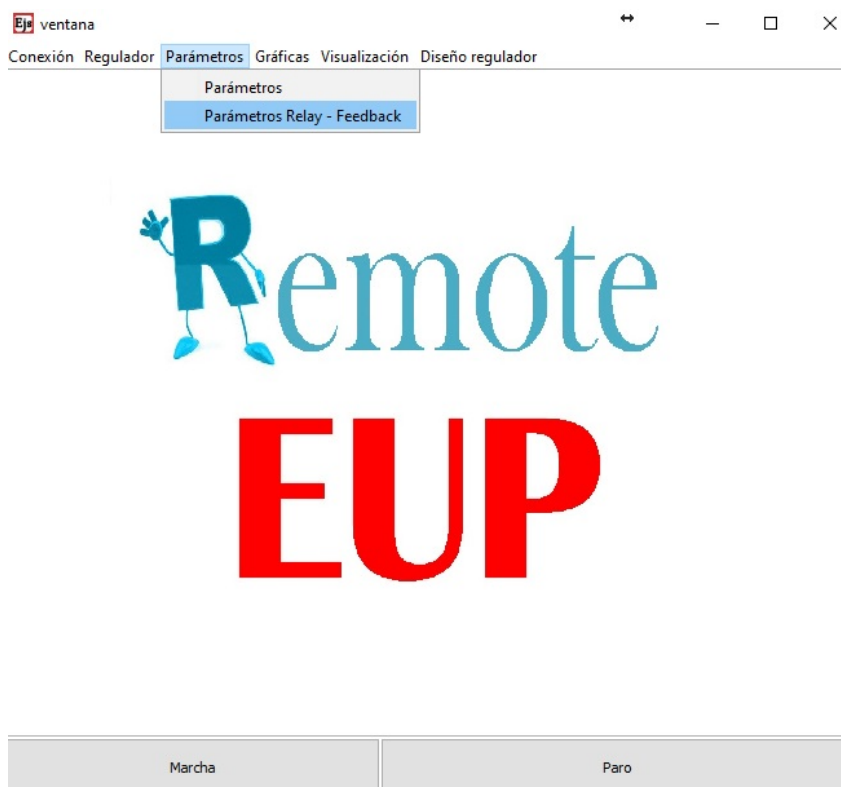


Figura 8.5.0.3 – Selección de los parámetros del Método Relay - Feedback.

Se muestra la ventana de inserción de los parámetros de Relay - Feedback y se introducen unos valores de 50 para punto de trabajo y de 10 para el ancho de ventana.

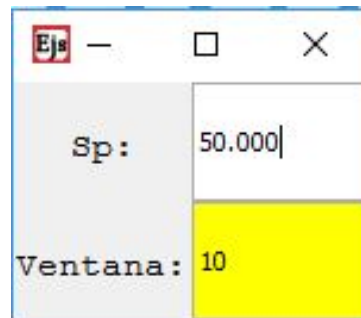


Figura 8.5.0.4 – Parámetros del método de Relay - Feedback.

Una vez configurado el método de Relay - Feedback se pone en funcionamiento el sistema pulsando el botón de MARCHA en la ventana principal. En este momento comienza la ejecución del método de Relay - Feedback. Para parar la simulación se debe de pulsar el botón de PARO en la ventana principal.

La respuesta que se obtiene en el ordenador local es la siguiente:

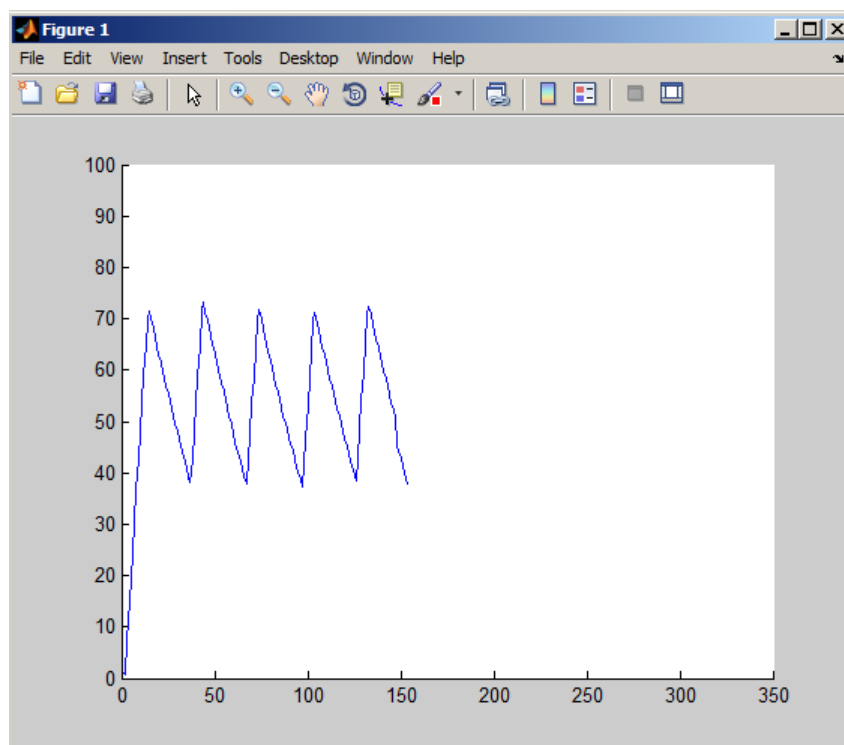


Figura 8.5.0.5 – Respuesta del método de Relay - Feedback en Matlab.

La respuesta que se obtiene en el ordenador remoto se muestra en la siguiente imagen. Remote EUP permite obtener las coordenadas de un punto de la gráfica situando el cursor encima y realizando click. Se acotan los puntos de interés para la obtención de los parámetros T_c y a .

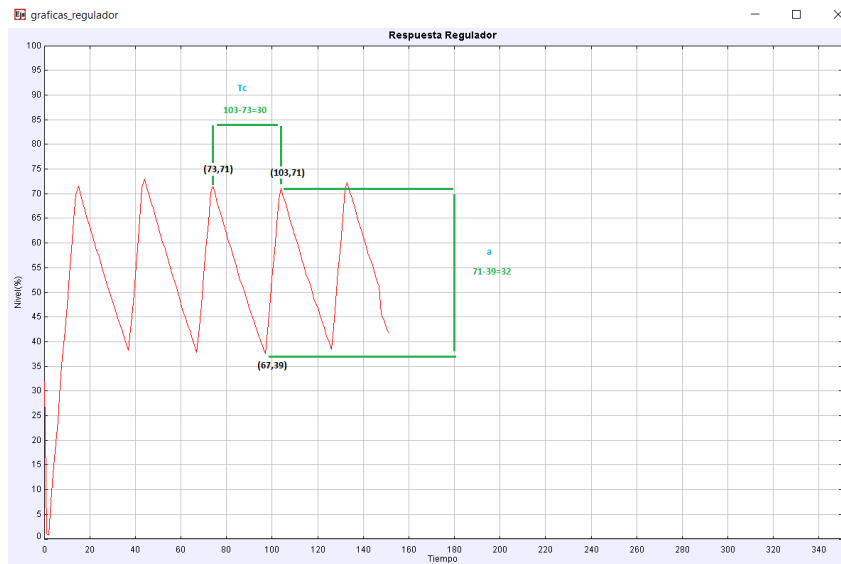


Figura 8.5.0.6 – Respuesta del método de Relay - Feedback en Remote EUP.

Tras estudiar la respuesta del método de Relay - Feedback se obtienen los siguientes parámetros:

Parámetro	Valor
T_c	30
a	32

Tabla 8.5.0.1 – Parámetros obtenidos con el método de Relay - Feedback

Haciendo uso de la ecuación 7.2.3.1, se halla el parámetro K_c .

$$K_c = \frac{4 * 50}{\pi * \sqrt{32^2 - 10^2}} = 2,094$$

Mediante el uso de la ecuación 7.2.4.1, se obtienen los parámetros del regulador correspondientes a la aproximación de Ziegler - Nichols.

Parámetro	Valor
k	1,25
T_i	15
T_d	3,75

Tabla 8.5.0.2 – Valor de los parámetros del regulador mediante Ziegler - Nichols

Los valores de los parámetros de la aproximación de Ziegler - Nichols No Overshoot se obtienen a partir de la ecuación 7.2.4.3.

Parámetro	Valor
k	0,42
T_i	30
T_d	10

Tabla 8.5.0.3 – Valor de los parámetros del regulador mediante Ziegler - Nichols No Overshoot

Haciendo uso de la ecuación 7.2.4.2 se obtienen los parámetros mediante Ziegler - Nichols Some Overshoot.

Parámetro	Valor
k	0,69
T_i	15
T_d	10

Tabla 8.5.0.4 – Valor de los parámetros del regulador mediante Ziegler - Nichols Some Overshoot

Los parámetros correspondientes a la aproximación de Tyreus - Luyben se calculan a partir de la ecuación 7.2.4.4.

Parámetro	Valor
k	0,94
T_i	66
T_d	4,76

Tabla 8.5.0.5 – Valor de los parámetros del regulador mediante Tyreus - Luyben

Una vez obtenidos los parámetros propios del regulador, se procede a su implantación. Para ello se debe de acceder a Regulador y elegir el regulador a implementar.

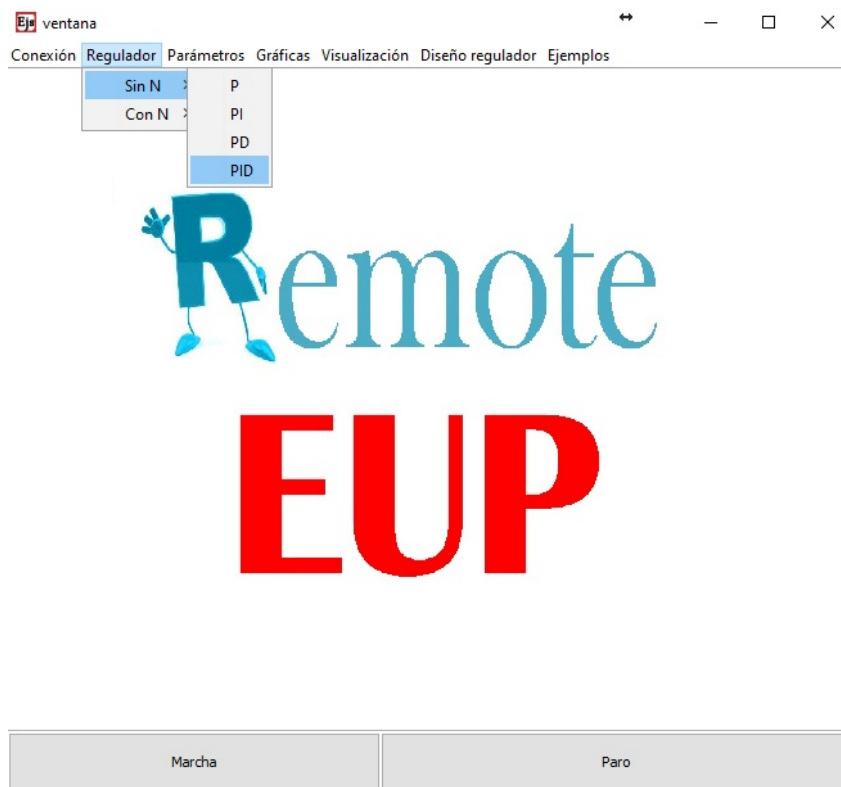


Figura 8.5.0.7 – Selección de regulador a implementar.

A continuación se accede a Parámetros – Parámetros y se introducen los valores de los parámetros del regulador. En este caso se introducen los parámetros correspondiente a Ziegler - Nichols.

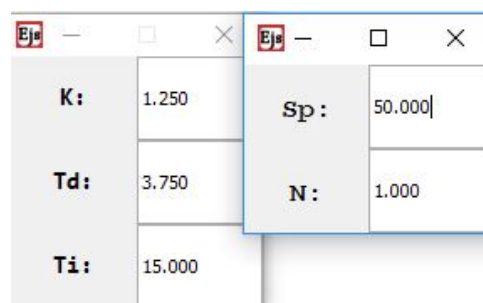


Figura 8.5.0.8 – Introducción de parámetros del regulador.

Tras introducir los parámetros, el regulador está listo para su puesta en funcionamiento. Se pulsa el botón de MARCHA ubicado en la pantalla de inicio y se implementa el regulador.

Durante el funcionamiento del regulador se puede ver el estado físico de la planta en tiempo real accediendo a Visualización – Visualización. Se abre una página en el navegador de internet predeterminado del usuario y se muestra la imagen de la web cam.

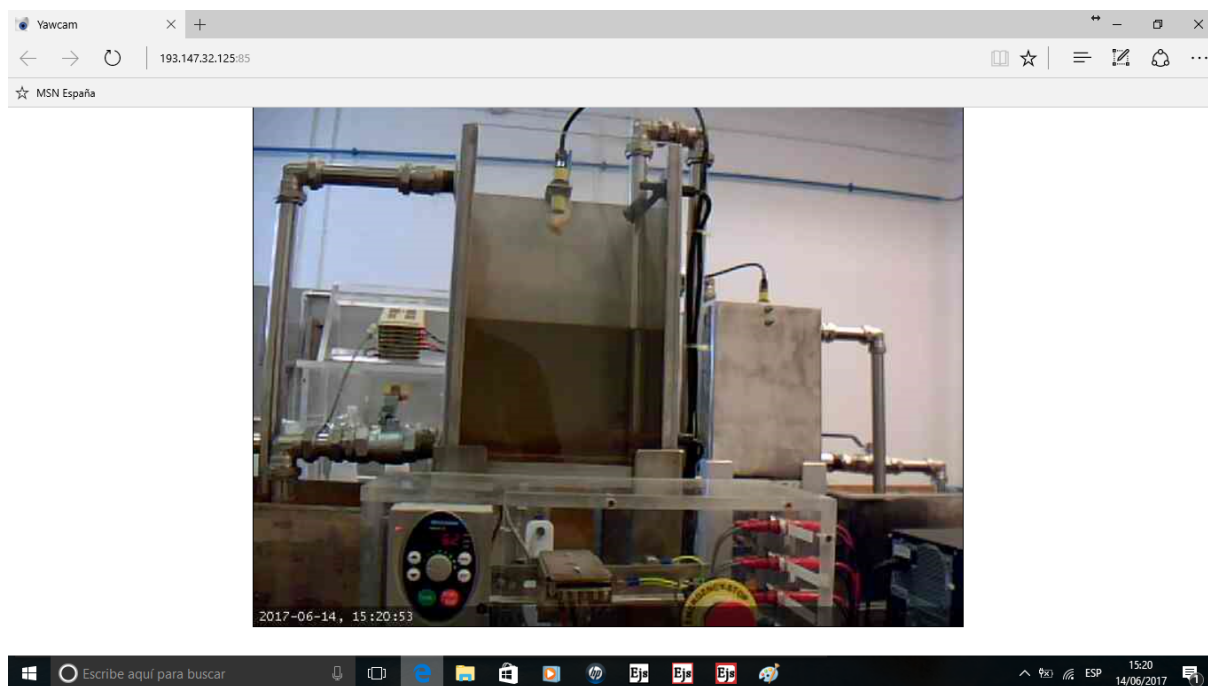


Figura 8.5.0.9 – Imagen de la planta en tiempo real.

Para ver gráficamente la respuesta del regulador se debe de acceder a Gráficas – Mostrar Gráfica.

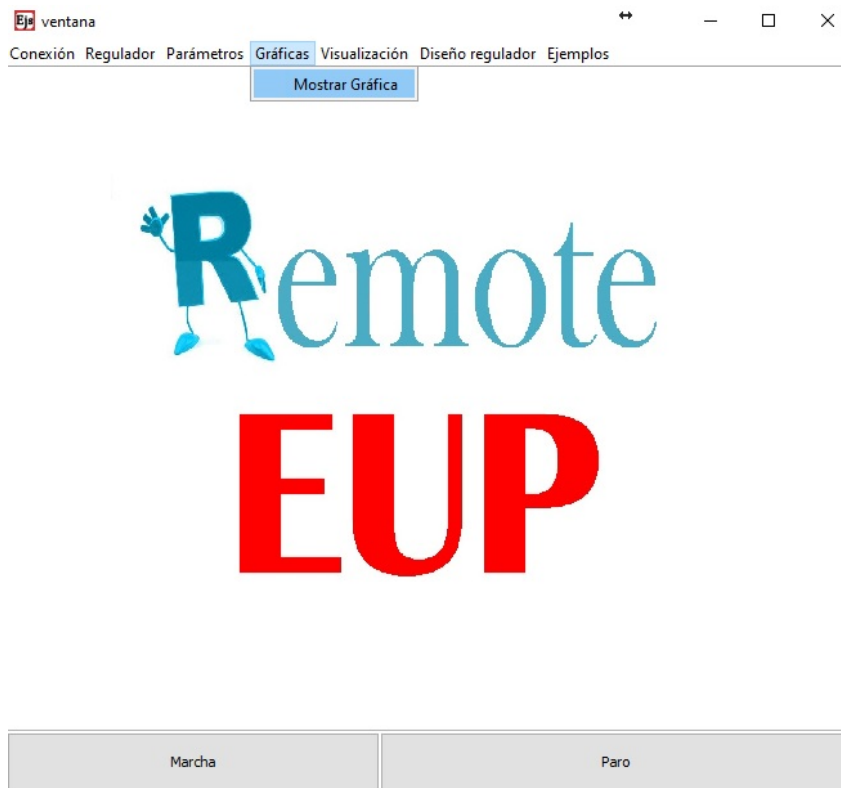


Figura 8.5.0.10 – Abrir gráfica.

Si se desea parar el regulador implementado se debe de pulsar sobre el botón de PARO que está ubicado en la ventana principal. Cuando se para Remote EUP, se inicializan las variables y está preparado para la implementación de otro regulador. La gráfica del regulador se mantiene hasta que se pulse MARCHA para implantar otro nuevo controlador.

8.5.1. Respuesta de los Reguladores sin corrección

La respuesta que se ha obtenido haciendo uso de la **aproximación de Ziegler - Nichols** es la siguiente:

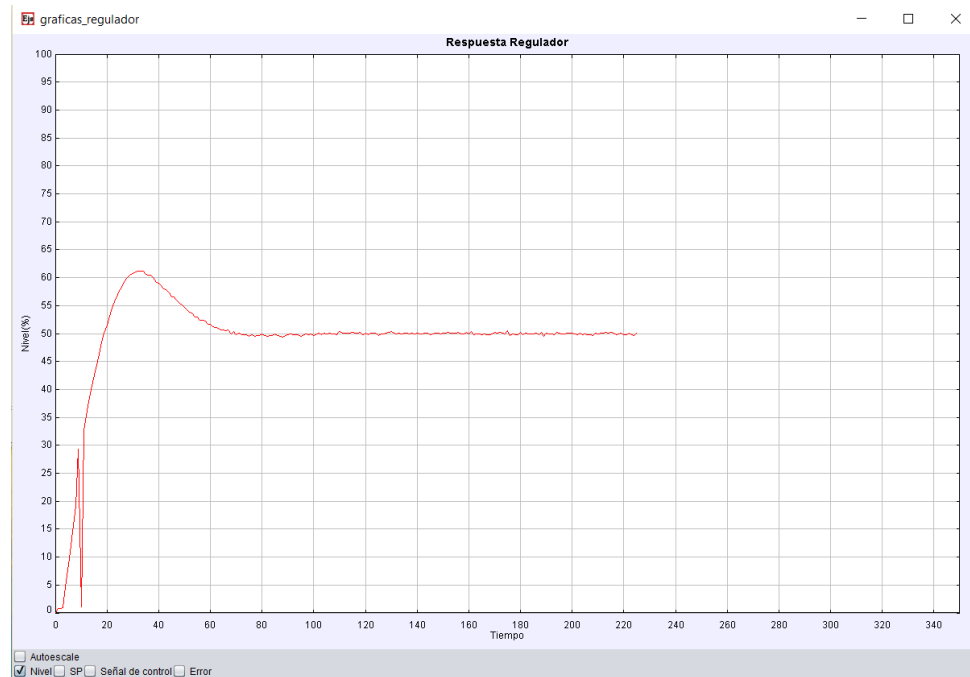


Figura 8.5.1.1 – Respuesta regulador Ziegler - Nichols en Remote EUP.

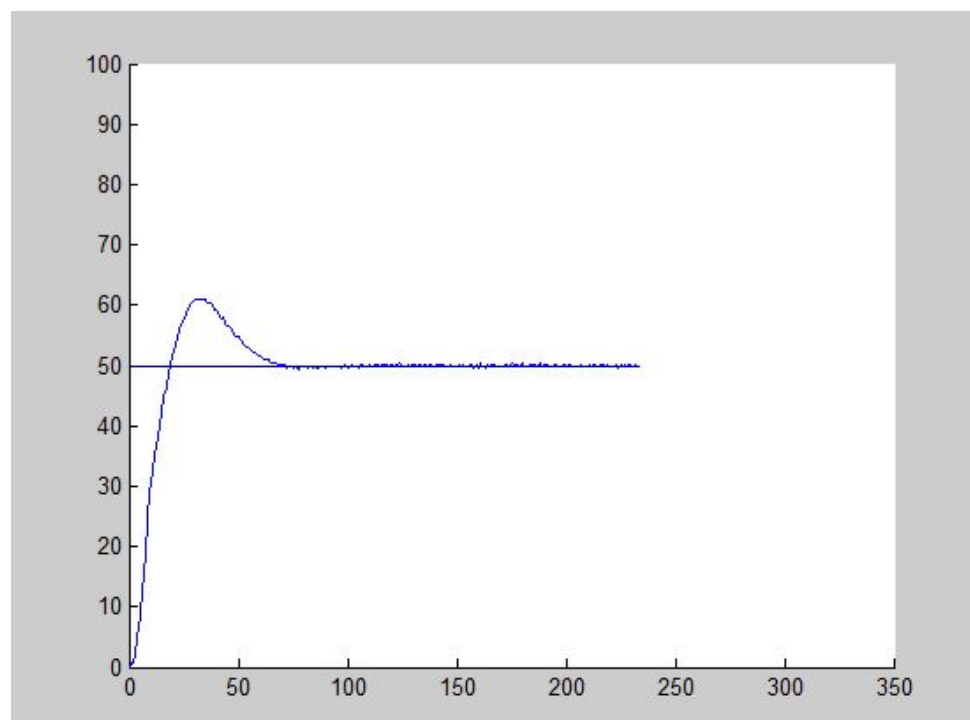


Figura 8.5.1.2 – Respuesta regulador Ziegler - Nichols en Matlab.

La respuesta que se ha obtenido haciendo uso de la **aproximación de Ziegler - Nichols No Overshoot** es la siguiente:

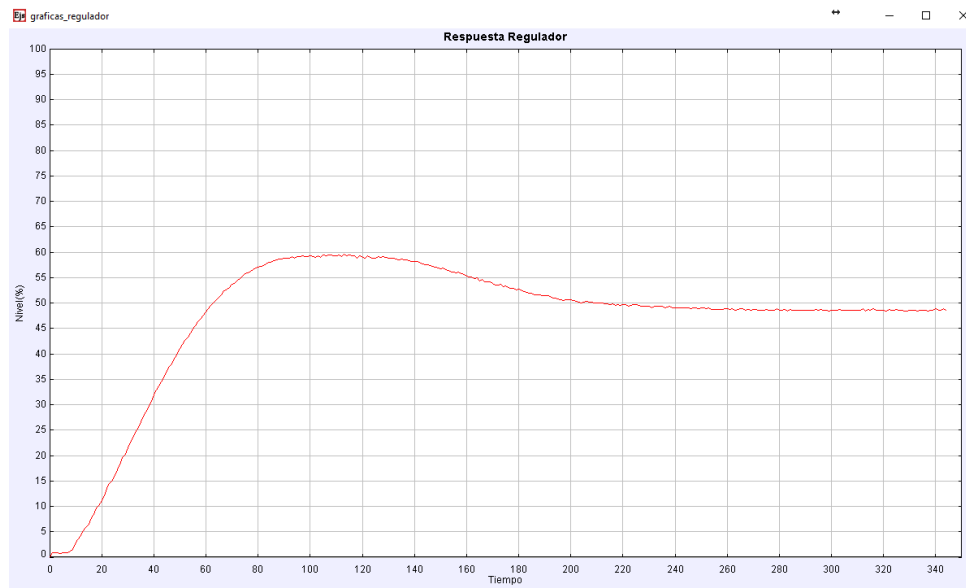


Figura 8.5.1.3 – Respuesta regulador Ziegler - Nichols No Overshoot en Remote EUP.

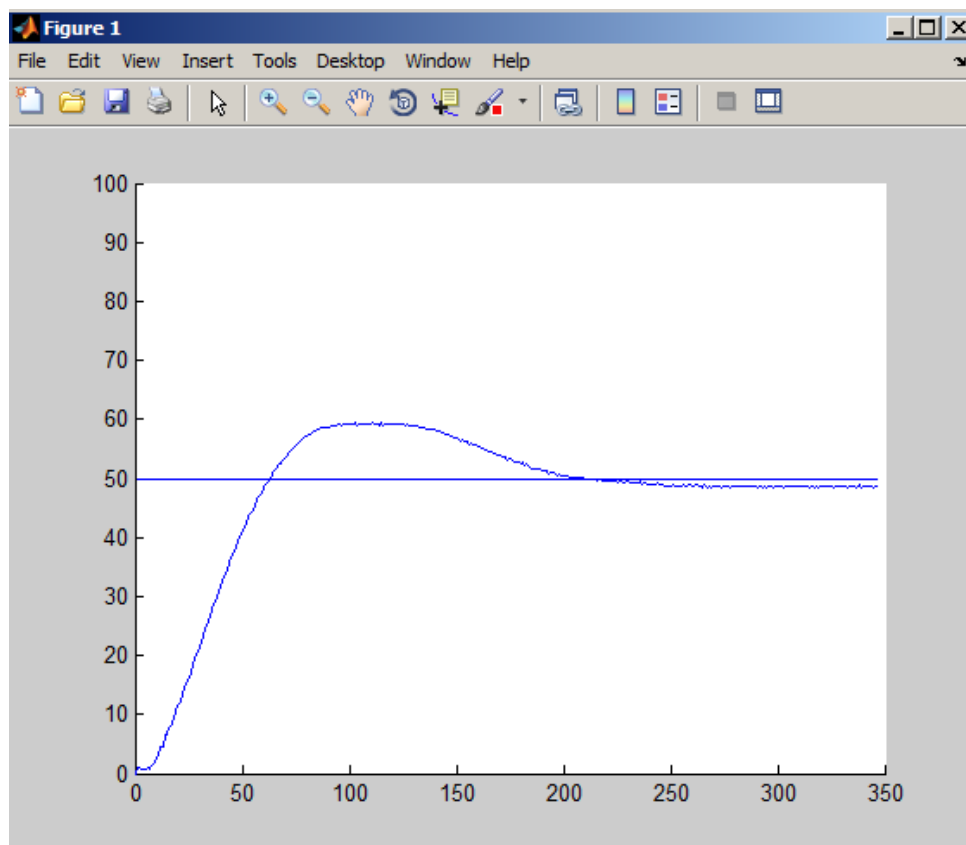


Figura 8.5.1.4 – Respuesta regulador Ziegler - Nichols No Overshoot en Matlab.

La respuesta que se ha obtenido haciendo uso de la **aproximación de Ziegler - Nichols** **Some Overshoot** es la siguiente:

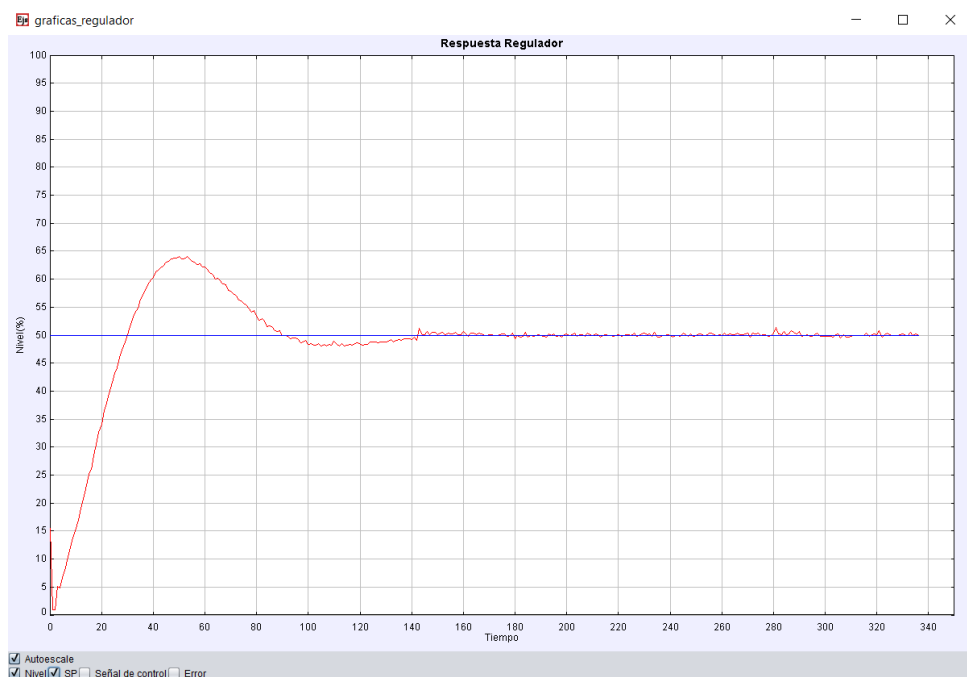


Figura 8.5.1.5 – Respuesta regulador Ziegler - Nichols Some Overshoot en Remote EUP.

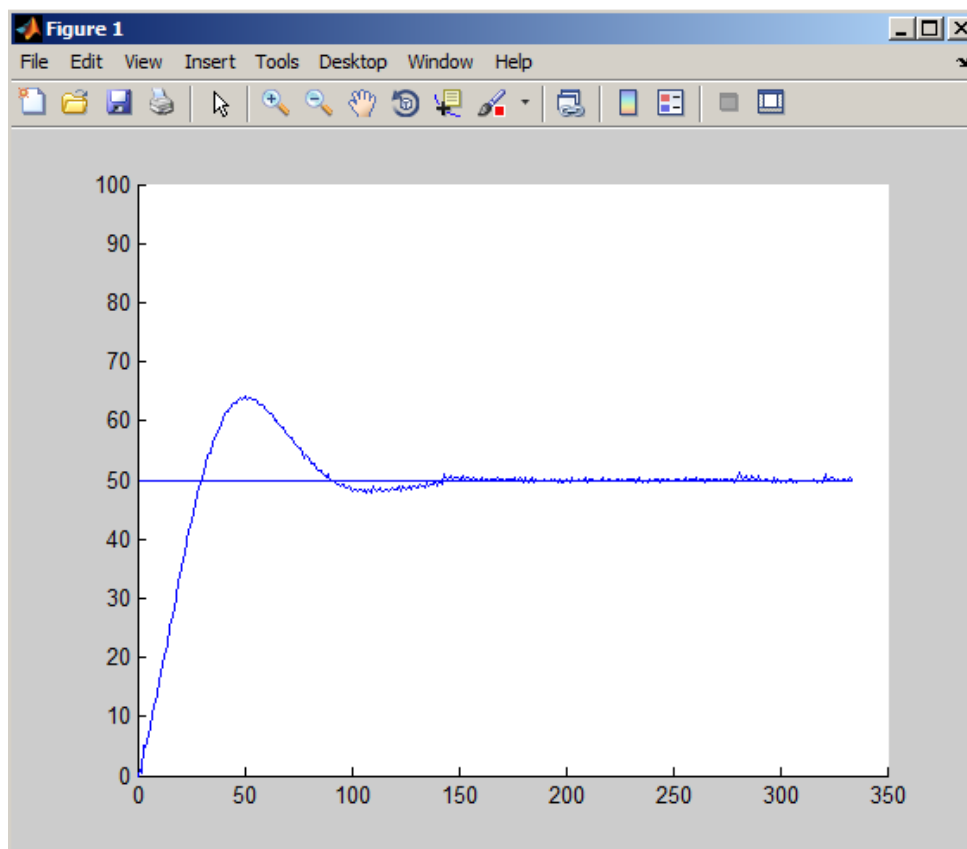


Figura 8.5.1.6 – Respuesta regulador Ziegler - Nichols Some Overshoot en Matlab.

La respuesta que se ha obtenido haciendo uso de la **aproximación de Tydeus - Luyben** es la siguiente:

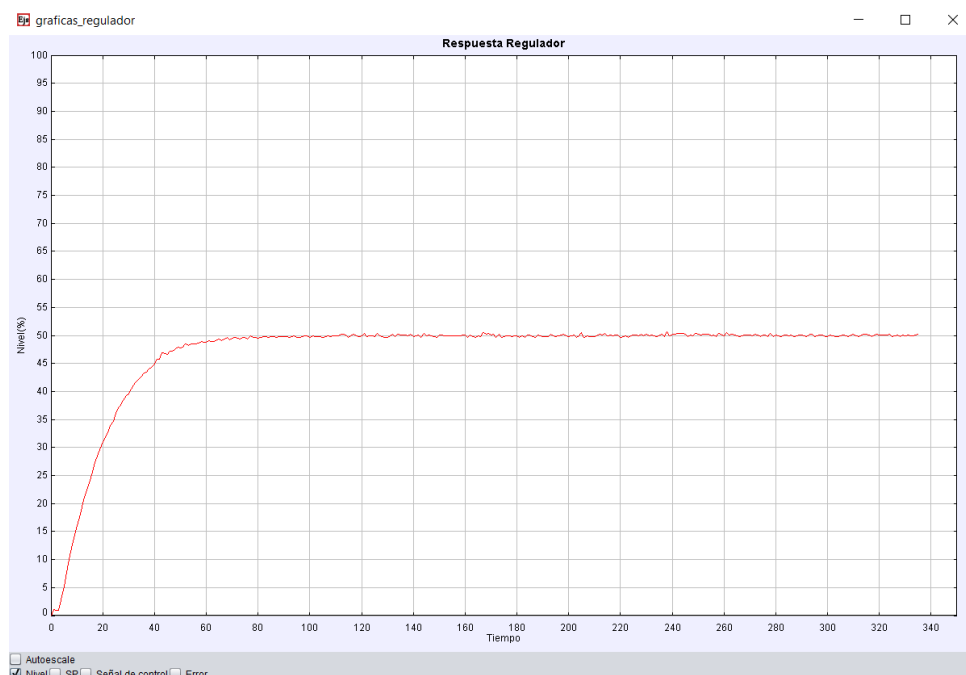


Figura 8.5.1.7 – Respuesta regulador Tydeus - Luyben en Remote EUP.

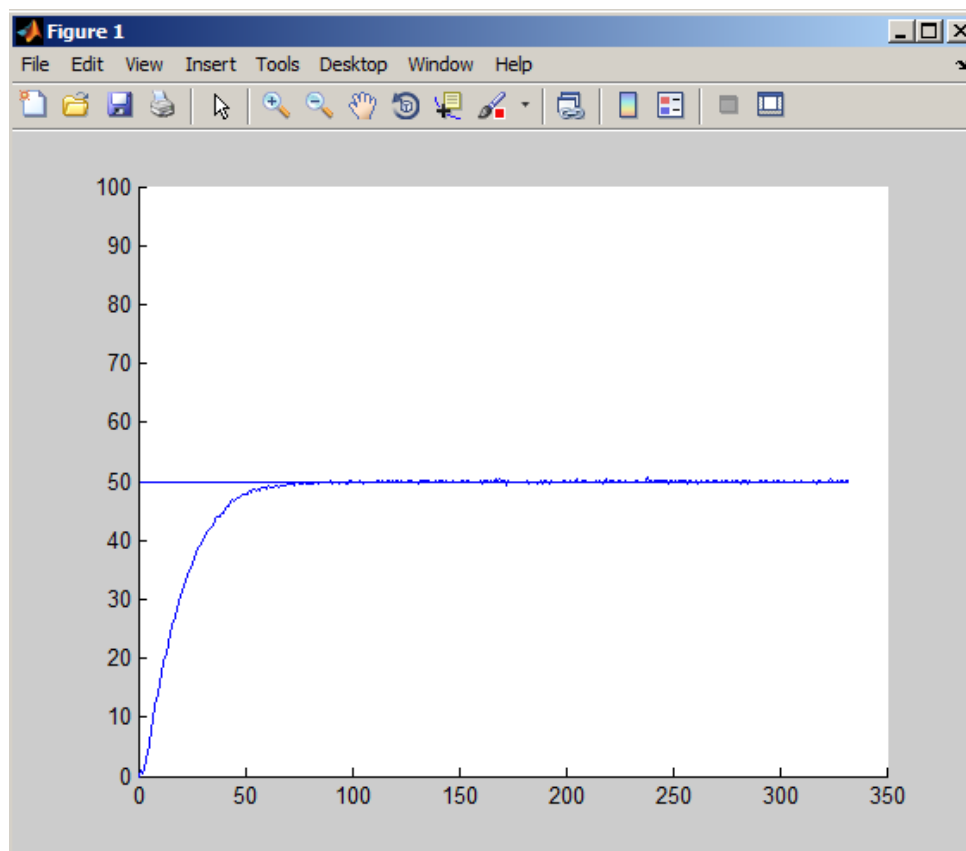


Figura 8.5.1.8 – Respuesta regulador Tydeus - Luyben en Matlab.

8.5.2. Respuesta de los reguladores con corrección

Para los reguladores con corrección se ha utilizado una N de 0.01, con un valor tan bajo reducimos la acción derivativa y se consigue una respuesta buena sobre el sistema.

La respuesta que se ha obtenido haciendo uso de la **aproximación de Ziegler - Nichols** es la siguiente:

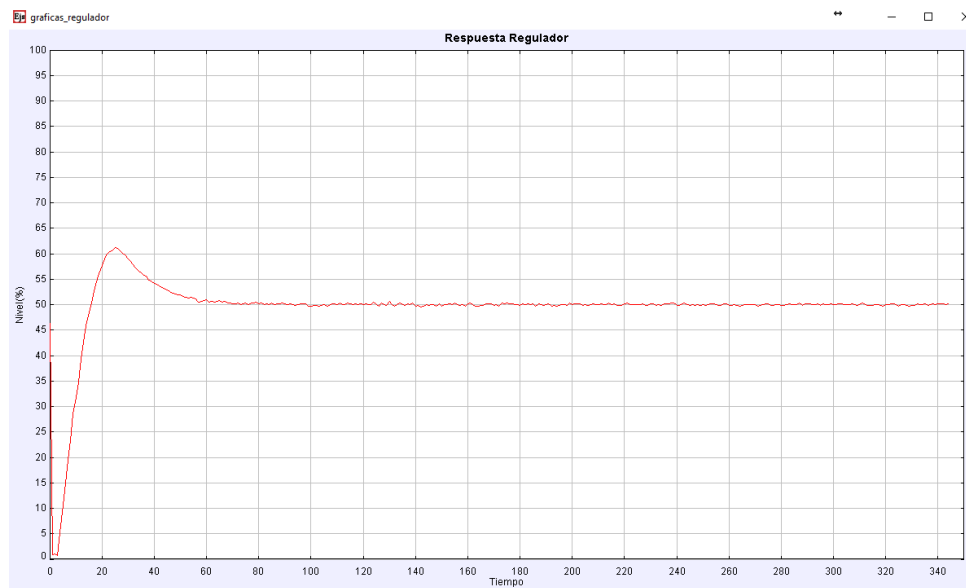


Figura 8.5.2.1 – Respuesta regulador Ziegler - Nichols con corrección en Remote EUP.

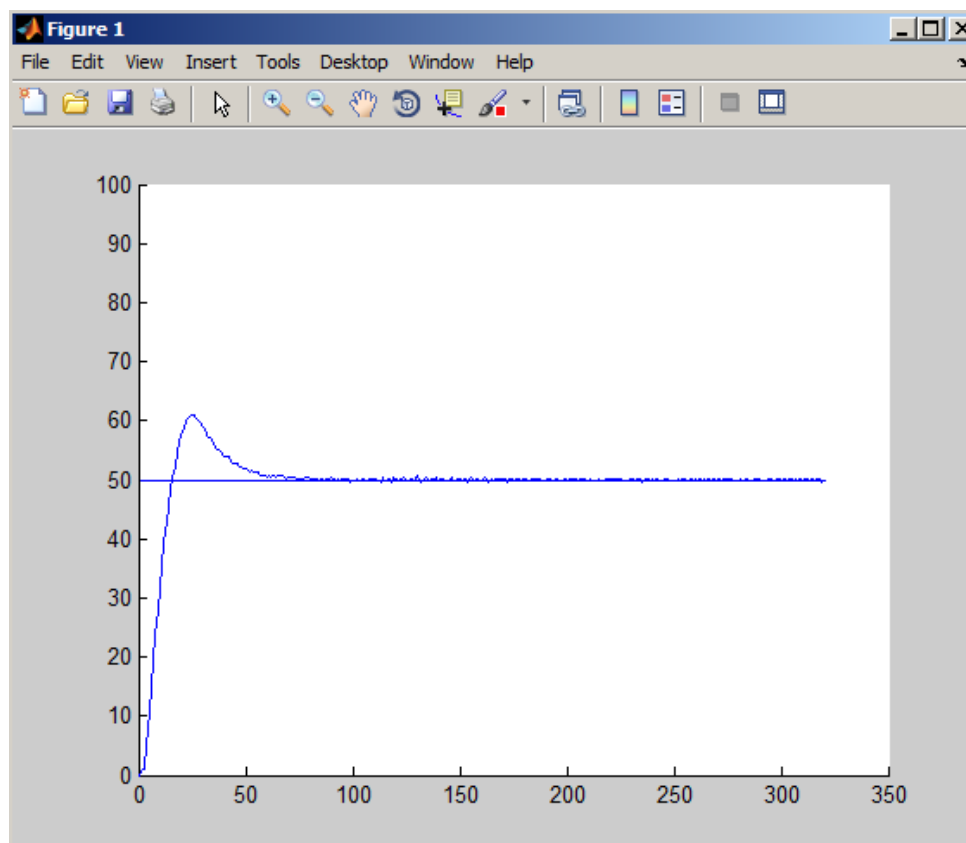


Figura 8.5.2.2 – Respuesta regulador Ziegler - Nichols con corrección en Matlab.

La respuesta que se ha obtenido haciendo uso de la **aproximación de Ziegler - Nichols No Overshoot** es la siguiente:

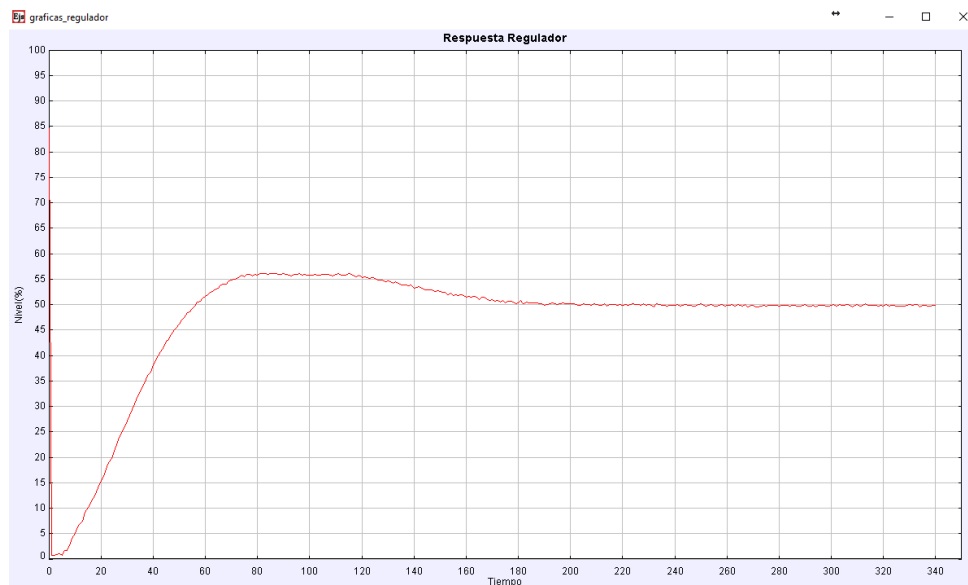


Figura 8.5.2.3 – Respuesta regulador Ziegler - Nichols No Overshoot con corrección en Remote EUP.

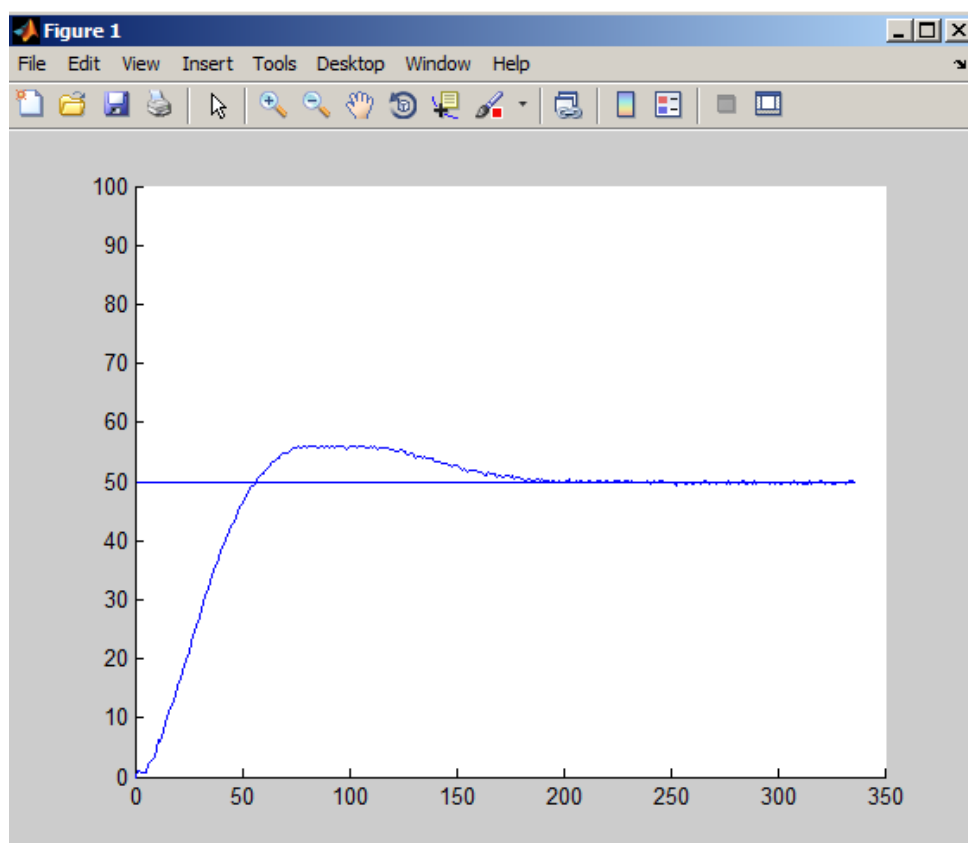


Figura 8.5.2.4 – Respuesta regulador Ziegler - Nichols No Overshoot con corrección en Matlab.

La respuesta que se ha obtenido haciendo uso de la **aproximación de Ziegler - Nichols** **Some Overshoot** es la siguiente:

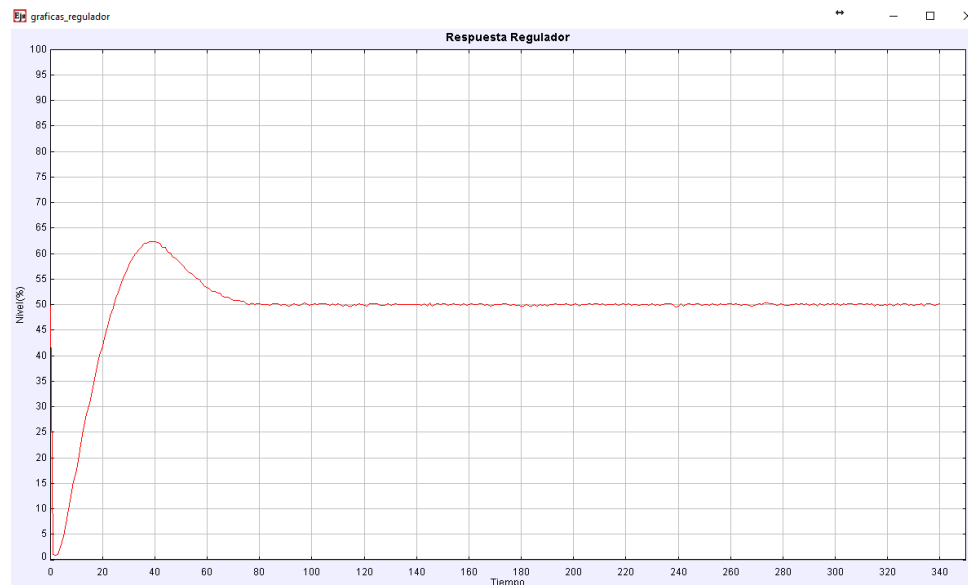


Figura 8.5.2.5 – Respuesta regulador Ziegler - Nichols Some Overshoot con corrección en Remote EUP.

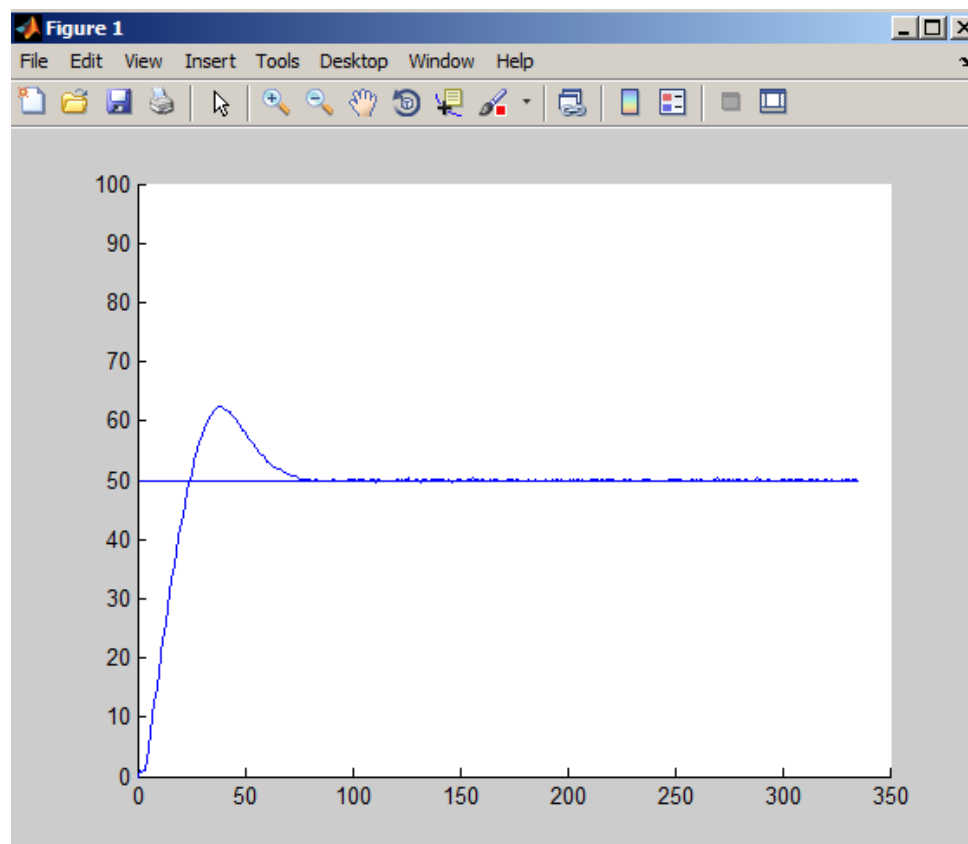


Figura 8.5.2.6 – Respuesta regulador Ziegler - Nichols Some Overshoot con corrección en Matlab.

La respuesta que se ha obtenido haciendo uso de la **aproximación de Tydeus - Luyben** es la siguiente:

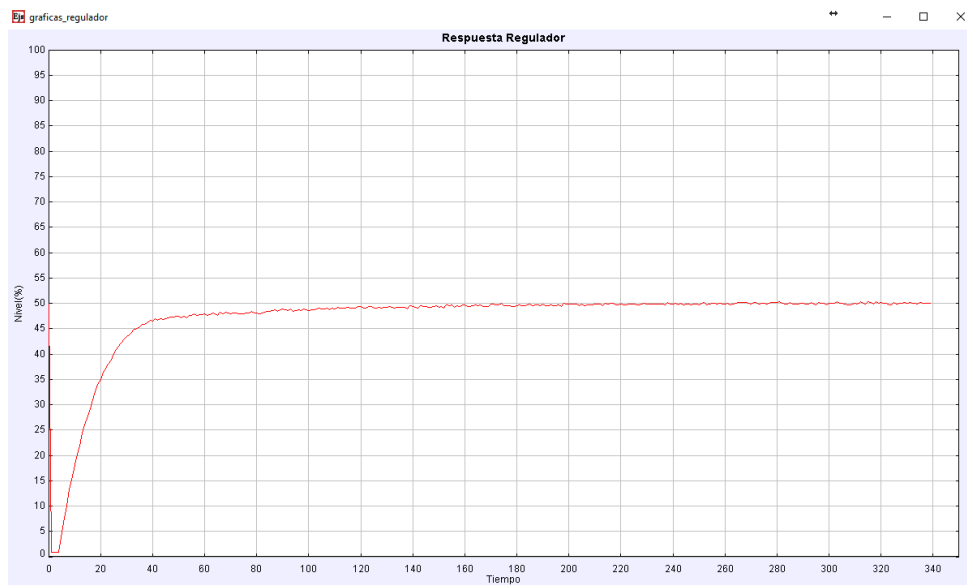


Figura 8.5.2.7 – Respuesta regulador Tydeus - Luyben con corrección en Remote EUP.

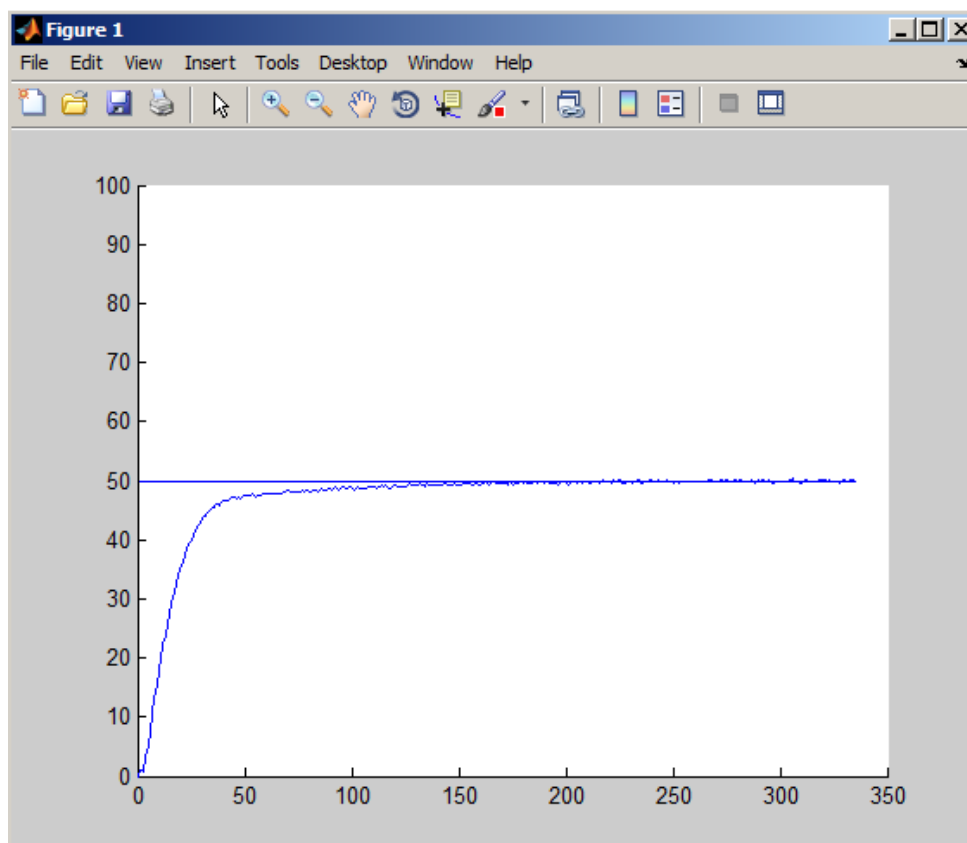


Figura 8.5.2.8 – Respuesta regulador Tydeus - Luyben con corrección en Matlab.

8.6. Base de datos

En el desarrollo de Remote EUP se ha decidido hacer uso de matrices fijas en Matlab por motivos de eficiencia, por lo que solo se guardan los últimos 350 puntos de la simulación. Para no perder todos los datos del proceso, se almacena una base de datos en el ordenador local y una base de datos en el ordenador remoto. Esta base de datos presenta un formato .csv, por lo que se puede abrir con cualquier editor de texto. Una vez finalizada una simulación se puede acceder a esta base de datos y manejar los datos de la simulación. A continuación se muestra como ejemplo la representación en el programa Microsoft Excel de la respuesta del regulador obtenido mediante la aproximación de Ziegler - Nichols.



Figura 8.6.0.1 – Respuesta regulador Ziegler - Nichols en Excel.

8.7. Tiempo de muestreo

El primer principio para dar un regulador como válido es que el tiempo de muestreo para su implantación debe de ser constante. En este caso se ha seleccionado el tiempo de muestreo de un segundo. Este tiempo de muestreo es suficiente para realizar la regulación sobre la planta de nivel y es lo suficientemente grande como para no saturar la red. Se imprime en la pantalla de Matlab el tiempo de muestreo en cada iteración mediante la orden *tic* y *toc*.

```
Elapsed time is 1.013444 seconds.  
Elapsed time is 1.003801 seconds.  
Elapsed time is 1.002291 seconds.  
Elapsed time is 1.003555 seconds.  
Elapsed time is 1.006745 seconds.  
Elapsed time is 1.008295 seconds.  
Elapsed time is 0.995804 seconds.  
Elapsed time is 1.006607 seconds.  
Elapsed time is 1.003813 seconds.  
Elapsed time is 1.000191 seconds.  
Elapsed time is 0.994585 seconds.  
Elapsed time is 0.997539 seconds.  
Elapsed time is 1.005689 seconds.  
Elapsed time is 1.003272 seconds.  
Elapsed time is 1.012208 seconds.  
Elapsed time is 0.996327 seconds.  
Elapsed time is 1.000336 seconds.  
Elapsed time is 0.998283 seconds.  
Elapsed time is 0.997534 seconds.  
Elapsed time is 1.005171 seconds.  
Elapsed time is 1.007279 seconds.  
Elapsed time is 1.009117 seconds.  
Elapsed time is 1.014054 seconds.  
Elapsed time is 1.004140 seconds.
```

Figura 8.7.0.1 – Tiempo de muestreo de 1 segundo.

Como se puede observar, el tiempo de muestreo es constante y de aproximadamente 1 segundo.

8.8. Gestión de Usuarios en Remote EUP

El control de la planta de nivel del laboratorio de optimización y control puede ser realizado por un único usuario a través de Remote EUP. Esta aplicación de control permite el inicio de varias sesiones de Matlab a la vez, pero no se puede gestionar una misma planta desde varias sesiones de Matlab. Si el ordenador local estuviese dotado de otra tarjeta de adquisición de datos y de otra planta de nivel, se podría realizar el control de las dos plantas simultáneamente haciendo uso de Remote EUP.

TÍTULO:

**CONTROL REMOTO SOBRE LA PLANTA PEQUEÑA
DE CONTROL DE NIVEL DEL LABORATORIO**

ANEXOS

PETICIONARIO: **ESCUELA UNIVERSITARIA POLITÉCNICA**

AVDA. 19 DE FEBREIRO, S/N

15405 - FERROL

FECHA: **JUNIO DE 2017**

AUTOR: **EL ALUMNO**

Fdo.: **DANIEL MÉNDEZ BUSTO**

Índice del documento ANEXOS

9 Documentación de partida	125
10 Cálculos	129
11 Otros Anexos	131
11.1 DAQ_Start [5]	131
11.2 DAQ_Write [5]	131
11.3 DAQ_Read [5]	132
11.4 DAQ_Stop [5]	132

9 Documentación de partida

Se presenta la adjudicación del Trabajo Fin de Grado.



ESCUELA UNIVERSITARIA POLITÉCNICA

ASIGNACIÓN DE TRABAJO FIN DE GRADO

En virtud de la solicitud efectuada por:

En virtud da solicitude efectuada por:

APELLIDOS, NOMBRE: Méndez Busto, Daniel

APELIDOS E NOME:

DNI: [REDACTED] **Fecha de Solicitud:** Feb2017

DNI: [REDACTED] *Fecha de Solicitud:*

Alumno de esta escuela en la titulación de Grado en Ingeniería en Electrónica Industrial y Automática, se le comunica que la Comisión de Proyectos ha decidido asignarle el siguiente Trabajo Fin de Grado:

O alumno de esta escola na titulación de Grado en Enxeñería en Electrónica Industrial e Automática, comunícaselle que a Comisión de Proxectos ha decidido asignarlle o seguinte Traballo Fin de Grado:

Título T.F.G: Control remoto sobre la planta pequeña de control de nivel del laboratorio

Número TFG: 770G01A123

TUTOR: (Titor) Calvo Rolle, Jose Luis

COTUTOR/CODIRECTOR: Oscar Fontenla Romero

La descripción y objetivos del Trabajo son los que figuran en el reverso de este documento:

A descrición e obxectivos do proxecto son os que figuran no reverso deste documento.

Ferrol a Domingo, 11 de Junio del 2017

Retirei o meu Traballo Fin de Grado o día _____ de _____ do ano _____

Fdo: Méndez Busto, Daniel

DESCRIPCIÓN Y OBJETIVO:OBJETO:

El objetivo principal del presente trabajo es llevar a cabo el control remoto de la planta de nivel del laboratorio haciendo uso del entorno EASY JAVA SIMULATIONS y MATLAB. Se podrá comandar el sistema de forma remota desde cualquier lugar con un simple acceso a internet.

ALCANCE:

Los pasos que se siguen para la realización de este proyecto son los siguientes:

- Estudio y comprensión del entorno de programación EASY JAVA SIMULATIONS.
- Estudio específico para el caso de estudio de la programación en Matlab.
- Realizar la conexión entre EASY JAVA SIMULATIONS y MATLAB.
- Programar la interface en EASY JAVA SIMULATIONS.
- Pruebas y validación de la propuesta sobre la planta de laboratorio.
- Estudio comparativo de diferentes alternativas y propuestas de ampliación.
- Análisis de resultados y extracción de conclusiones.

10 Cálculos

Tras estudiar la respuesta del método de Relay - Feedback de la figura 8.5.0.6 se obtienen los siguientes parámetros:

Parámetro	Valor
T_c	30
a	32

Tabla 10.0.0.1 – Parámetros obtenidos con el método de Relay - Feedback

Haciendo uso de la ecuación 7.2.3.1, se halla el parámetro K_c .

$$K_c = \frac{4 * 50}{\pi * \sqrt{32^2 - 10^2}} = 2,094$$

Mediante el uso de la ecuación 7.2.4.1, se obtienen los parámetros del regulador correspondientes a la aproximación de Ziegler - Nichols.

Parámetro	Valor
k	1,25
Ti	15
Td	3,75

Tabla 10.0.0.2 – Valor de los parámetros del regulador mediante Ziegler - Nichols

Los valores de los parámetros de la aproximación de Ziegler - Nichols No Overshoot se obtienen a partir de la ecuación 7.2.4.3.

Parámetro	Valor
k	0,42
T_i	30
T_d	10

Tabla 10.0.0.3 – Valor de los parámetros del regulador mediante Ziegler - Nichols No Overshoot

Haciendo uso de la ecuación 7.2.4.2 se obtienen los parámetros mediante Ziegler - Nichols Some Overshoot.

Parámetro	Valor
k	0,69
T_i	15
T_d	10

Tabla 10.0.0.4 – Valor de los parámetros del regulador mediante Ziegler - Nichols Some Overshoot

Los parámetros correspondientes a la aproximación de Tyreus - Luyben se calculan a partir de la ecuación 7.2.4.4.

Parámetro	Valor
k	0,94
T_i	66
T_d	4,76

Tabla 10.0.0.5 – Valor de los parámetros del regulador mediante Tyreus - Luyben

11 Otros Anexos

Se muestran los *scripts* de comunicación de la tarjeta de adquisición de datos NI USB-6008.

11.1. DAQ_Start [5]

Código 11.1: DAQ_Start

```
function []=DAQ_Start()  
% This function configures the DAQ input and output  
global AI  
global AO  
  
Device=daqhwinfo('nidaq'); % Find the desired device  
ID=Device.InstalledBoardIds{1}; % Select the correct device from a list  
  
AI=analoginput('nidaq',ID); % Inicialized of the input channel  
AO=analogoutput('nidaq',ID); % Inicialized of the output channel  
  
Input_channel=addchannel(AI,0); % Configure input channel (AI-0)  
Input_channel.InputRange=[-10 10]; % Voltage input range  
Input_channel.UnitsRange=[-100 100]; % Internal input range  
Input_channel.Units='%'; % Internal units for input  
  
Output_channel=addchannel(AO,[0 1]); % Configure output channel [AO-0 AO-1]  
Output_channel.OutputRange=[0 5]; % Voltage output range  
Output_channel.UnitsRange=[0 100]; % Internal output range  
Output_channel.Units='%'; % Internal units for output  
  
end
```

11.2. DAQ_Write [5]

Código 11.2: DAQ_Write

```
function []=DAQ_Write(Output_data_0,Output_data_1)
% This function write de desired value in the configured DAQ output

global AO

% Ensure that the value is inside the operation range
if Output_data_0>100
Output_data_0=100;
elseif Output_data_0<0
Output_data_0=0;
end

if Output_data_1>100
Output_data_1=100;
elseif Output_data_1<0
Output_data_1=0;
end

putsample(AO,[Output_data_0 Output_data_1]);

end
```

11.3. DAQ_Read [5]**Código 11.3: DAQ_Read**

```
function [Input_data]=DAQ_Read()
% This function read the value in the configured input in the DAQ

global AI

Input_data=getsample(AI);

end
```

11.4. DAQ_Stop [5]**Código 11.4: DAQ_Stop**


```
function [] = DAQ_Stop()
% This function is used to finaliced the uses of the DAQ

global AI
global AO

% Clear the input channel
stop(AI);
delete(AI);

% Clear the output channel
putsample(AO,[0 0]); % Ensure the output channel is resetted
stop(AO);
delete(AO);

end
```


TÍTULO:

CONTROL REMOTO SOBRE LA PLANTA PEQUEÑA

DE CONTROL DE NIVEL DEL LABORATORIO

PLANOS

PETICIONARIO: **ESCUELA UNIVERSITARIA POLITÉCNICA**

AVDA. 19 DE FEBREIRO, S/N

15405 - FERROL

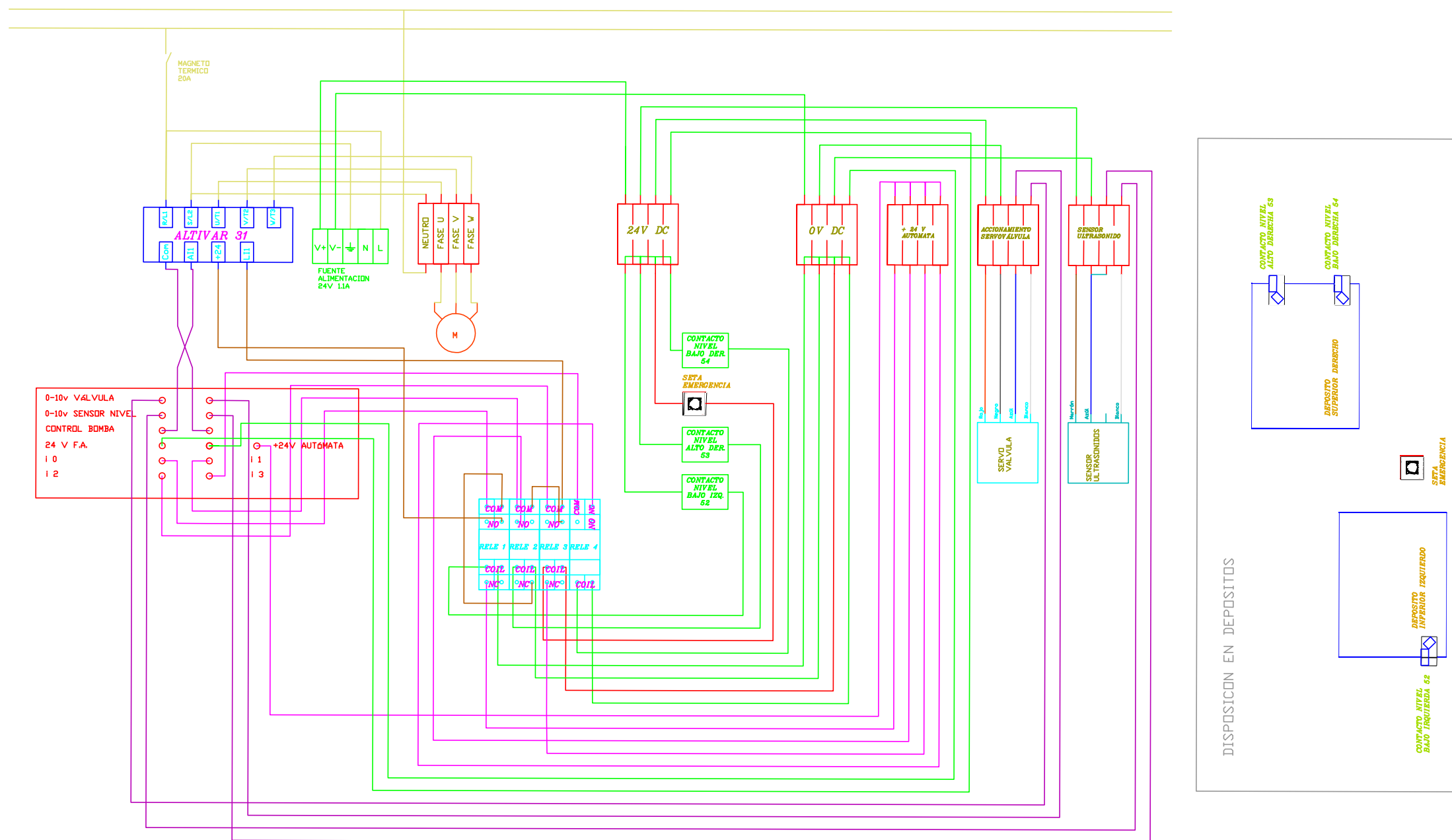
FECHA: **JUNIO DE 2017**

AUTOR: **EL ALUMNO**

Fdo.: **DANIEL MÉNDEZ BUSTO**

Índice de planos

1 Esquema eléctrico de la planta de nivel [3]	139
---	-----



Nota: la posición relativa de las fichas de conexionado (en color rojo) se corresponde con la disposición final de ejecución.

 UNIVERSIDADE DA CORUÑA		ESCUELA UNIVERSITARIA POLITÉCNICA	TFG Nº: 770G01A108
GRADO EN INGENIERÍA ELECTRÓNICA INDUSTRIAL Y AUTOMÁTICA			
TÍTULO DEL TFG:			
ESTUDIO DE MÉTODOS DE DETECCIÓN DE FALLOS PARA SISTEMAS SISO			
TÍTULO DEL PLANO:			FECHA: FEBRERO-2017
ESQUEMA ELÉCTRICO PLANTA			ESCALA: N/A
AUTOR:	FIRMA:		PLANO Nº: 01
FRANCISCO GARCÍA NOVO			

TÍTULO:

**CONTROL REMOTO SOBRE LA PLANTA PEQUEÑA
DE CONTROL DE NIVEL DEL LABORATORIO**

PLIEGO DE CONDICIONES

PETICIONARIO: **ESCUELA UNIVERSITARIA POLITÉCNICA**

AVDA. 19 DE FEBREIRO, S/N

15405 - FERROL

FECHA: **JUNIO DE 2017**

AUTOR: **EL ALUMNO**

Fdo.: **DANIEL MÉNDEZ BUSTO**

Índice del documento PLIEGO DE CONDICIONES

12 Condiciones de Trabajo

145

12 Condiciones de Trabajo

Todas las pruebas del presente Trabajo Fin de Grado se han realizado en el laboratorio de optimización y control de la Escuela Universitaria Politécnica de Serantes.

Se han realizado en un entorno limpio y seco, a una temperatura ambiente de 22°C.

El depósito inferior que surte de líquido al superior, siempre se ha encontrado al máximo de su capacidad para no dañar la integridad del sistema durante el periodo de pruebas. La planta de nivel se encuentra sobre una superficie nivelada y rugosa para evitar caída de líquido.

Toda prueba realizada que no cumpla estas condiciones de trabajo no será válida.

TÍTULO:

**CONTROL REMOTO SOBRE LA PLANTA PEQUEÑA
DE CONTROL DE NIVEL DEL LABORATORIO**

ESTADO DE MEDICIONES

PETICIONARIO: **ESCUELA UNIVERSITARIA POLITÉCNICA**

AVDA. 19 DE FEBREIRO, S/N

15405 - FERROL

FECHA: **JUNIO DE 2017**

AUTOR: **EL ALUMNO**

Fdo.: **DANIEL MÉNDEZ BUSTO**

Índice del documento ESTADO DE MEDICIONES

13 Mano de Obra	151
------------------------	------------

13 Mano de Obra

El tiempo empleado para el desarrollo de la aplicación Remote Control se muestra en la siguiente tabla:

Tarea	Tiempo (h)
Comunicación entre EJS y Matlab	16
Programación del script en EJS	60
Programación de la <i>interface</i> en EJS	60
Pruebas finales	60
Total	196

Tabla 13.0.0.1 – Horas de programación para el desarrollo de Remote EUP

TÍTULO:

CONTROL REMOTO SOBRE LA PLANTA PEQUEÑA

DE CONTROL DE NIVEL DEL LABORATORIO

PRESUPUESTO

PETICIONARIO: **ESCUELA UNIVERSITARIA POLITÉCNICA**

AVDA. 19 DE FEBREIRO, S/N

15405 - FERROL

FECHA: **JUNIO DE 2017**

AUTOR: **EL ALUMNO**

Fdo.: **DANIEL MÉNDEZ BUSTO**

Índice del documento PRESUPUESTO

14 Mano de Obra	157
15 Licencias software	159
16 Presupuesto	161

14 Mano de Obra

Se calcula el precio de la mano de obra valorando la hora de trabajo de un licenciado en Grado en Ingeniería Electrónica Industrial y Automática en 30 *euros/h.*

Tarea	Tiempo (h)	Coste hora (euros)	Total (euros)
Ejecución de Remote EUP	196	30	5880

Tabla 14.0.0.1 – Coste de Mano de Obra.

15 Licencias software

Las licencias software necesarias para la realización de Remote EUP son las siguientes:

Licencia	Coste (euros)
Matlab R2014b	500
Toolbox DAQ	250
Toolbox Control System	250
Easy Java Simulations	0
Total	1000

Tabla 15.0.0.1 – Coste de Licencias Software.

16 Presupuesto

El coste total de la aplicación Remote EUP es:

Producto	Coste (euros)
Mano de Obra	5880
Licencias Software	1000
Base Imponible	6880
IVA 21 %	1444.8
Total	8324.8

Tabla 16.0.0.1 – Coste de Remote EUP.

TÍTULO:

CONTROL REMOTO SOBRE LA PLANTA PEQUEÑA

DE CONTROL DE NIVEL DEL LABORATORIO

ESTUDIOS CON ENTIDAD PROPIA

PETICIONARIO: **ESCUELA UNIVERSITARIA POLITÉCNICA**

AVDA. 19 DE FEBREIRO, S/N

15405 - FERROL

FECHA: **JUNIO DE 2017**

AUTOR: **EL ALUMNO**

Fdo.: **DANIEL MÉNDEZ BUSTO**

Índice del documento ESTUDIOS CON ENTIDAD PROPIA

En este Trabajo Fin de Grado no se adjuntan estudios con entidad propia.

